第16表　田鎖車堂前遺跡掲載石器（K）一覧

［残存値］・その他最大値

掲載No.K	図版	写真図版	種別	出土遺構・位置・層位	寸法（cm）			重さ（g）	備考
					長さ	幅	厚さ		
1	358	314	磨製石斧	SI482・埋土	[4.0]	1.8	3.5	4.7	
2	358	314	磨製石斧	SD402・C区・Ⅶa層	3.5	1.8	0.6	7.4	
3	358	314	石斧類	SI906・Q3・埋土上位	[2.0]	1.7	0.4	2.5	藍閃石片岩　北海道 新世代古第三紀
4	358	314	磨製石斧	SI425・床面	[4.3]	2.4	0.9	16.2	
5	358	314	磨製石斧	SI492・埋土	3.5	1.9	0.4	4.5	藍閃石片岩　北海道 新世代古第三紀
6	358	314	石斧類	SI902・焼土２・埋土	5.6	2.7	1.1	28.5	蛇紋岩　古生代オルドビス紀 早池峰山周辺
7	358	314	石斧類	ⅡZ5d・Ⅴ層	[5.3]	3.5	1.2	39.6	蛇紋岩　古生代オルドビス紀 早池峰山周辺
8	358	314	石斧類	ⅡZ6i・Ⅶ層	[3.4]	3.9	1.2	23.8	頁岩　中生代　北上山地
9	358	314	石斧類	SK904	[7.1]	4.5	1.7	82.5	細粒花崗閃緑岩　中生代白亜紀 北上山地
10	358	314	石斧類	SI801・Q1・床直	10.5	4.3	3.2	268.6	
11	358	314	石斧類	SI910	[7.9]	6.0	2.0	164.6	藍閃石片岩　北海道 新世代古第三紀
12	358	314	石斧類	SI906・Q3・埋土上位	[11.2]	5.2	3.0	243.6	ホルンフェルス 中生代白亜紀　北上山地
13	359	314	石斧類	SI902・Q4・埋土下位	[7.2]	5.1	2.5	132.6	細粒花崗閃緑岩 中生代白亜紀　北上山地
14	359	315	石斧類	SI461・埋土	10.8	3.9	2.5	189.5	
15	359	315	石斧類	SD402・B区・西端畦・埋土上～下部	[11.6]	4.4	3.6	282.0	
16	359	315	石斧類	SK814・東半・埋土上位	[4.8]	4.2	2.6	83.2	
17	359	315	石斧類	SI753・東西ベルト	[7.1]	4.3	1.1	57.5	
18	359	315	石斧類	SI403・埋土	[8.2]	4.8	2.6	170.4	
19	359	315	石斧類	SI811・一括	[5.6]	4.1	3.5	109.6	細粒花崗閃緑岩 中生代白亜紀　北上山地
20	360	315	石斧類	ⅡZ9h・Ⅶ層下位	9.6	4.2	2.2	154.5	藍閃石片岩　北海道 新世代古第三紀
21	360	315	石斧類	SI753・東端・埋土上層	[7.5]	6.1	2.9	129.1	
22	360	316	磨製石斧	SK805・南半・埋土上位	9.1	5.0	2.7	122.2	
23	360	316	石斧類	SI753・南東側・埋土下層	[8.3]	4.5	2.8	127.4	
24	360	316	石斧類	北端・検出	[9.2]	4.5	2.5	153.0	
25	360	316	石斧類	SI910・埋土中	[9.7]	5.8	3.0	262.1	藍閃石片岩　北海道 新世代古第三紀

田鎖車堂前遺跡掲載石器（K）一覧

［残存値］・その他最大値

掲載No.K	図版	写真図版	種別	出土遺構・位置・層位	寸法（cm）			重さ（g）	備考
					長さ	幅	厚さ		
26	361	316	石斧類	SI916・Q4・埋土下位	［6.8］	5.3	3.1	178.8	藍閃石片岩　北海道 新世代古第三紀
27	361	316	石斧類	ⅡZ2f・Ⅴ～Ⅶ層	［5.3］	［6.2］	1.6	77.2	デイサイト 中生代白亜紀　原地山層
28	361	316	石斧類	SK827	［9.6］	5.3	3.0	236.5	蛇紋岩　古生代オルドビス紀 早池峰山周辺
29	361	317	石斧類	ⅡA5e	［7.5］	6.4	3.6	264.3	
30	361	317	磨製石斧	SD301近く・表土、 ⅡY4h～6i・検出面	［3.5］	3.0	0.7	10.1	
31	361	317	石斧類	ⅡZ4i・Ⅶ層	［6.3］	4.7	0.8	44.5	頁岩　中生代　北上山地
32	361	317	石斧類	SK803・西半・埋土上位	［5.5］	5.0	2.6	77.6	
33	361	317	石斧類	SI753・南東・埋土上層	7.8	3.6	1.3	50.0	
34	362	317	片面加工	SI419・埋土下層	13.1	8.1	3.25	456.4	
35	362	317	片面加工	ⅡZ1g・Ⅶb層相当	8.4	5.2	1.8	99.5	
36	362	317	片面加工	ⅡY5h・Ⅶ層上	［9.3］	［5.4］	3.1	150.0	細粒花崗閃緑岩 中生代白亜紀　北上山地
37	362	318	片面加工	ⅡZ1e・黒褐色シルト	9.1	5.1	1.9	122.3	
38	362	318	片面加工	ⅡZ3a・Ⅶ層	9.4	5.5	2.1	144.0	
39	363	318	片面加工	ⅡZ7a・Ⅶ層	9.3	5.6	1.8	123.3	細粒花崗閃緑岩 中生代白亜紀　北上山地
40	363	318	片面加工	SP4368	9.5	5.0	2.5	168.7	
41	363	318	片面加工	SI429の南らへん・検出	8.2	4.6	1.9	94.0	
42	363	318	片面加工	SI801・Q・埋土下部	8.2	5.2	2.2	142.0	
43	363	318	片面加工	SI470,SI474	11.3	7.7	2.7	290.3	
44	364	318	片面加工	ⅡY5i・Ⅶ層	9.4	6.3	2.1	161.1	頁岩　中生代　北上山地
45	364	319	片面加工	ⅡZ9h・Ⅶ層下位	8.4	4.4	2.0	88.8	凝灰岩　中生代　北上山地
46	364	319	片面加工	SK855・埋土	9.9	6.5	2.5	244.5	細粒花崗閃緑岩 中生代白亜紀　北上山地
47	364	319	片面加工	出土地点不明	10.6	6.0	2.4	178.8	ホルンフェルス 中生代白亜紀　北上山地
48	365	319	片面加工	ⅡZ8c・Ⅶ層	10.4	6.7	3.3	309.8	細粒花崗閃緑岩 中生代白亜紀　北上山地
49	365	319	片面加工	SI903・埋土	10.4	6.2	2.9	218.6	ヒン岩 中生代白亜紀　北上山地
50	365	319	片面加工	SI470、SI474・埋土	9.1	6.6	1.7	154.4	

田鎖車堂前遺跡掲載石器（K）一覧

［残存値］・その他最大値

掲載No.K	図版	写真図版	種別	出土遺構・位置・層位	寸法（cm）			重さ（g）	備考
					長さ	幅	厚さ		
51	365	319	片面加工	ⅡZ6i・Ⅶ層	7.0	3.6	1.1	34.4	デイサイト 中生代白亜紀　原地山層
52	366	319	片面加工	SI744・SK01・埋土中位	11.1	6.2	3.0	264.8	細粒はんれい岩 中生代白亜紀　北上山地
53	366	320	片面加工	SD301・埋土	5.6	3.6	1.25	33.9	
54	366	320	片面加工	SI486・トレンチ	6.5	4.1	1.8	49.3	
55	366	320	片面加工	ⅡZ6i・Ⅶ層（地山直上層）	15.3	8.7	2.9	545.4	細粒花崗閃緑岩 中生代白亜紀　北上山地
56	367	320	片面加工	ⅡA6c・Ⅶ層	9.1	6.5	3.3	253.2	細粒花崗閃緑岩 中生代白亜紀　北上山地
57	367	320	片面加工	ⅡY5i・Ⅶ層上層	[4.6]	5.9	1.7	54.2	細粒花崗閃緑岩 中生代白亜紀　北上山地
58	367	320	片面加工	ⅡZ10h・Ⅶ層下位	[5.5]	6.1	1.4	75.7	デイサイト 中生代白亜紀　原地山層
59	367	321	片面加工	ⅡZ7b・Ⅶ層	[9.4]	8.5	2.0	246.8	頁岩　中生代　北上山地
60	368	321	片面加工	ⅡZ3f・Ⅶ層	[6.2]	6.4	2.2	121.7	はんれい岩 中生代白亜紀　北上山地
61	368	321	片面加工	ⅡZ6g・Ⅶ層	6.1	4.2	1.7	50.9	細粒花崗閃緑岩 中生代白亜紀　北上山地
62	368	321	片面加工	ⅡZ10h・Ⅶ層	8.4	4.5	1.8	85.0	細粒花崗閃緑岩 中生代白亜紀　北上山地
63	368	321	片面加工	ⅡZ1g・検出	9.5	5.1	2.6	169.9	
64	368	321	片面加工	2Z5h・Ⅶ層	11.0	7.1	2.9	326.2	花崗閃緑岩 中生代白亜紀　北上山地
65	369	321	片面加工	SK829・一括	6.1	5.0	2.0	112.7	細粒花崗閃緑岩 中生代白亜紀　北上山地
66	369	322	片面加工	ⅡZ10g・Ⅶ層下位	9.2	6.9	2.1	176.7	細粒花崗閃緑岩 中生代白亜紀　北上山地
67	369	322	片面加工	SI489・北東・埋土	7.2	4.4	1.7	60.9	砂岩　中生代　北上山地
68	369	322	片面加工	SK827・埋土	7.5	4.6	2.1	83.5	デイサイト 中生代白亜紀　原地山層
69	369	322	片面加工	ⅡZ3a・Ⅶ層	6.2	3.1	1.2	34.9	
70	369	322	片面加工	ⅡZ6a～6b・包含層	10.7	6.0	3.0	235.7	
71	369	322	片面加工	SI429・埋土	11.8	6.4	3.6	301.1	
72	370	322	浮子	SI912・Q3・埋土中	8.85	6.1	1.95	16.5	軽石
73	370	322	浮子	SI744・南側・埋土	4.75	[4.8]	2.45	6.5	軽石
74	370	323	敲磨器類	ⅡZ6b・Ⅶ層上面	[11.7]	7.45	4.45	595.3	
75	370	323	敲磨器類	SI828・埋土	12.3	8.6	5.55	884.2	

田鎖車堂前遺跡掲載石器（K）一覧

［残存値］・その他最大値

掲載No.K	図版	写真図版	種別	出土遺構・位置・層位	寸法（cm）			重さ（g）	備考
					長さ	幅	厚さ		
76	370	323	特殊磨石	ⅡZ6j・Ⅶ層（地山直上層）	15.2	9.0	4.1	902.5	花崗閃緑岩 中生代白亜紀　北上山地
77	370	323	敲磨器類	SI820・埋土一括	11.6	6.0	5.15	504.4	
78	370	323	敲磨器類	SI914・東西cベルト内・埋土	[7.1]	6.7	4.0	230.9	
79	370	323	敲磨器類	SI818・床面	15.15	[7.55]	5.05	694.2	
80	370	323	特殊磨石	SI801・Q1・埋土下部	15.8	5.4	4.8	606.3	
81	370	323	特殊磨石	ⅡZ1f・検出	[6.8]	6.7	5.8	312.0	
82	370	323	特殊磨石	ⅡY4h・Ⅶ層	[6.1]	5.9	4.4	174.2	細粒花崗閃緑岩 中生代白亜紀　北上山地
83	371	323	特殊磨石	SI493・埋土	14.1	8.6	5.6	1073.0	花崗岩 中生代白亜紀　北上山地
84	371	323	特殊磨石	SI905・炉石	14.8	7.7	5.1	900.5	花崗岩 中生代白亜紀　北上山地
85	371	324	特殊磨石	ⅡZ8i・Ⅶ層	15.1	6.1	4.8	785.2	花崗閃緑岩 中生代白亜紀　北上山地
86	371	324	特殊磨石	ⅡZ2ｆ・Ⅴ～Ⅶ層	[9.1]	6.5	6.4	512.0	細粒花崗閃緑岩 中生代白亜紀　北上山地
87	371	324	特殊磨石	SI753・北東・埋土下位	[10.3]	6.4	6.1	690.4	細粒花崗閃緑岩 中生代白亜紀　北上山地
88	371	324	特殊磨石	SI493・埋土	13.3	7.2	5.3	819.0	細粒はんれい岩 中生代白亜紀　北上山地
89	371	324	特殊磨石	SI916・2ブロック・埋土上位	13.4	5.2	3.6	421.5	砂岩　中生代　北上山地
90	371	324	敲磨器類	ⅡY4i・Ⅶ層	12.0	7.15	4.75	590.4	砂岩　中生代　北上山地
91	371	324	敲磨器類	SI740・Pit4・埋土中	[9.8]	6.0	6.9	562.8	
92	372	324	敲磨器類	SI490北側・埋土	[5.4]	5.35	3.1	107.9	
93	372	324	敲磨器類	SI493・埋土	13.2	3.4	3.9	260.0	
94	372	324	凹石	SI753・埋土下層	15.35	6.0	4.7	700.1	砂岩　中生代　北上山地
95	372	324	凹石	SI753・東西ベルト	[13.75]	6.6	6.6	818.5	
96	372	324	凹石	ⅡA5b・Ⅶ層	[8.3]	8.8	3.8	515.9	花崗閃緑岩 中生代白亜紀　北上山地
97	372	324	凹石	ⅡZ10g・ⅦC層	[6.65]	10.0	3.6	355.6	花崗岩 中生代白亜紀　北上山地
98	372	325	凹石	SD402E・北半・埋土中位	10.7	[9.5]	3.85	523.0	
99	372	325	凹石	SI403・東側	12.7	8.5	6.7	1019.3	
100	372	325	凹石	SI817・ベルト一括	14.1	[7.75]	[4.5]	639.2	デイサイト 新生代古第三紀　浄土ヶ浜？

田鎖車堂前遺跡掲載石器（K）一覧

［残存値］・その他最大値

掲載No.K	図版	写真図版	種別	出土遺構・位置・層位	寸法（cm）			重さ（g）	備考
					長さ	幅	厚さ		
101	372	325	凹石	SD402F・清掃中	12.8	9.85	4.7	874.0	
102	373	325	台石・石皿（不定形）	SI493・炉・炉石	[18.4]	14.9	8.1	3626.6	
103	373	325	敲磨器類	ⅡZ7g・Ⅶ層	11.4	4.4	3.15	220.3	
104	373	325	凹石	SP4485・埋土	12.2	8.45	6.4	1033.6	
105	373	325	凹石	SX406・西半・埋土	13.0	6.0	2.7	262.0	
106	373	325	凹石	SX915・構成石	12.2	7.9	4.0	599.4	花崗閃緑岩 中生代白亜紀　北上山地
107	373	325	敲磨器	SI493・埋土	[13.3]	[8.35]	[4.4]	715.3	細粒花崗閃緑岩 中生代白亜紀　北上山地
108	373	325	凹石	SI756・埋土	10.2	8.9	4.4	529.2	デイサイト　新生代古第三紀
109	373	325	敲磨器類	ⅡZ6e・Ⅴ～Ⅶ層	[10.4]	[4.9]	5.6	280.9	
110	373	325	敲石	SI432・埋土	[12.5]	5.1	4.05	344.0	
111	373	325	石斧類	SI816・床直	14.4	3.9	4.6	430.2	
112	373	325	凹石	SI744・南側・埋土	[6.75]	6.1	3.2	184.0	デイサイト 中生代白亜紀　原地山層
113	373	325	凹石	SI753・南東・埋土上層	[7.1]	[6.9]	2.0	106.3	凝灰質砂岩　宮古層群 中生代白亜紀　北上山地
114	374	326	砥石	SI740・Q3・埋土上位	[9.2]	7.8	5.9	599.9	砂岩　中生代白亜紀　宮古層群
115	374	326	敲石	SI488・埋土	[15.3]	11.1	7.9	1976.0	砂岩　中生代白亜紀　宮古層群
116	374	326	台石・石皿	SK802・東半・埋土6層、褐色土層	[14.9]	13.0	9.8	1853.8	
117	374	326	台石・石皿（不定形）	SI912・炉2・炉石	[17.4]	10.9	9.3	2303.9	
118	374	326	台石・石皿（不定形）	SI493・炉・炉石	[23.9]	[13.8]	[3.6]	1344.5	
119	375	326	台石・石皿（不定形）	SI488・床直	[25.6]	18.3	7.9	4970.8	
120	375	326	台石・石皿（不定形）	SI817・床面、SI825	[15.3]	[11.6]	[5.0]	515.5	
121	375	326	石皿（定形）	SI482・埋土	[8.7]	[11.8]	5.7	295.5	凝灰質砂岩　宮古層群 中生代白亜紀　北上山地
122	375	326	石皿（定形）	SK906・埋土中	[16.7]	[9.9]	4.9	522.0	凝灰質砂岩　宮古層群 中生代白亜紀　北上山地
123	375	327	石皿（定形）	SI906・Q1・埋土上位	[4.3]	[4.9]	1.75	28.2	凝灰質砂岩　宮古層群 中生代白亜紀　北上山地
124	375	327	石皿（定形）	ⅡA10b・トレンチ・Ⅶ層	[9.1]	[4.5]	4.1	127.8	凝灰質砂岩　宮古層群 中生代白亜紀　北上山地
125	375	327	石皿（定形）	ⅡY6g・包含層	[10.9]	[8.1]	[10.1]	428.6	

田鎖車堂前遺跡掲載石器（K）一覧

［残存値］・その他最大値

掲載No.K	図版	写真図版	種別	出土遺構・位置・層位	寸法（cm）			重さ（g）	備考
					長さ	幅	厚さ		
126	375	327	石皿（定形）	SI754・埋土	[8.5]	[6.0]	4.4	138.1	
127	376	327	石皿（定形）	NSトレンチ・Ⅶ層	[6.85]	[8.25]	3.2	105.4	凝灰質砂岩　宮古層群 中生代白亜紀　北上山地
128	376	327	凹石・石皿	ⅡY6i～7j・検出	[8.7]	[5.6]	[3.5]	140.7	
129	376	327	石皿（定形）	SX910・構成石	[11.35]	[9.25]	4.5	351.2	凝灰質砂岩　宮古層群 中生代白亜紀　北上山地
130	376	327	石皿（定形）	SI450・埋土上位	[7.8]	[7.5]	4.7	166.1	凝灰質砂岩　宮古層群 中生代白亜紀　北上山地
131	376	327	台石・石皿（不定形）	SI910・炉B・炉石	[12.5]	[11.3]	5.2	462.0	
132	376	327	台石・石皿（不定形）	SI916・Q4・埋土下位	[8.7]	[9.0]	[3.8]	284.0	
133	376	327	台石・石皿（不定形）	SX905・構成石	19.6	[15.8]	6.0	2149.8	
134	376	327	石皿	SI914・Q3・埋土下層	[10.8]	[6.45]	8.5	372.2	
135	376	327	敲石	SI740・Pit4・埋土	[11.55]	[10.05]	6.0	869.5	凝灰質礫岩 宮古層群　中生代白亜紀
136	376	328	台石・石皿（不定形）	SI902・Q3・埋土上位	[13.9]	[7.4]	[2.5]	183.8	
137	376	328		SI753・南東側・埋土下位	[10.65]	[12.2]	[4.6]	694.3	
138	376	328	不明石器	SK438・埋土	[6.0]	[3.6]	[2.3]	19.6	
139	376	328	台石・石皿	SK814・ベルトB-B'・4,5層	[22.95]	[18.6]	[4.85]	2407.1	
140	377	328	石皿（定形）	SP7032・埋土	[7.6]	[13.1]	[3.0]	300.7	凝灰質砂岩　宮古層群 中生代白亜紀　北上山地
141	377	328	凹石	ⅠZ8i～IA10b・Ⅶ層上面	[10.1]	[7.7]	2.9	244.4	
142	377	328	石皿	SI906・Q1・埋土下位	[8.7]	[7.7]	2.4	89.8	
143	377	328	石皿	ⅡY5ｊ・Ⅶ層	[9.3]	[9.6]	4.0	160.2	
144	377	328	石皿？	SK438・埋土	[8.3]	[8.4]	4.2	194.3	
145	377	328	石皿	SI916・3,4ブロック・埋土上位	[7.8]	[7.65]	1.3	61.0	
146	377	328	台石・石皿（不定形）	ⅡZ3f・Ⅶ層	[12.9]	17.4	4.1	1468.2	
147	377	328	石皿	SK816・南半・埋土下位	[19.4]	[11.6]	[6.5]	1944.4	
148	377	329	台石・石皿（不定形）	SI914・Q2・埋土	[19.5]	[16.7]	[3.5]	1322.1	
149	377	329	台石・石皿（不定形）	SI915・Q2・埋土上位	28.9	26.8	5.8	8400.0	
150	378	329	台石・石皿（不定形）	SI413・埋土中位	[57.6]	[34.45]	[17.0]	30.5	

田鎖車堂前遺跡掲載石器（K）一覧

［残存値］・その他最大値

掲載No.K	図版	写真図版	種別	出土遺構・位置・層位	寸法（cm）			重さ（g）	備考
					長さ	幅	厚さ		
151	379	330	石鏃	SI403・煙道	1.75	1.5	0.5	0.7	頁岩
152	379	330	石鏃	SI430・埋土	[1.8]	1.3	0.3	0.3	頁岩
153	379	330	石鏃	SI480・埋土	[1.2]	1.15	0.2	0.2	頁岩
154	379	330	石鏃	SI803・東西ベルト・埋土最下部	[1.9]	1.45	0.3	0.4	頁岩
155	379	330	石鏃	SI485・埋土	[1.7]	[1.4]	0.25	0.5	頁岩
156	379	330	石鏃	SI485・埋土	[1.8]	[1.4]	0.3	0.5	頁岩
157	379	330	石鏃	ⅡZ2 l ・検出	1.85	1.4	0.35	0.5	頁岩
158	379	330	石鏃	SI755・検出面	[2.0]	[1.2]	0.3	0.5	頁岩
159	379	330	石鏃	SI753・東端・埋土下層	1.9	1.3	0.4	0.8	頁岩
160	379	330	石鏃	SI752・床直	[1.9]	[1.5]	0.4	0.9	頁岩
161	379	330	石鏃	SI755・床直	1.8	1.2	0.3	0.5	頁岩
162	379	330	石鏃	SK727・埋土	[1.95]	[1.35]	0.3	0.6	頁岩
163	379	330	石鏃	ⅡA7a・Ⅶ層	2.9	1.55	0.5	1.9	頁岩
164	379	330	石鏃	ⅡZ7h・Ⅶ層	2.1	1.2	0.4	1.0	頁岩
165	379	330	石鏃	ⅠZ10f・検出	1.8	1.3	0.25	0.4	頁岩
166	379	330	石鏃	ⅠZ10f・検出	[1.8]	1.4	0.4	0.6	頁岩
167	379	330	石鏃	ⅡZ1e・検出	[1.8]	1.8	0.4	0.9	頁岩
168	379	330	石鏃	ⅡZ3e・検出	1.7	1.5	0.3	0.5	頁岩
169	379	330	石鏃	SI401・掘り方	[2.4]	1.35	0.35	0.7	頁岩
170	379	330	石鏃	SI488・埋土	2.2	1.6	0.3	0.7	頁岩
171	379	330	石鏃	SI752・床直	[2.5]	[1.4]	0.4	0.8	頁岩
172	379	330	石鏃	SI753・南東・埋土上層	[2.5]	1.3	0.4	1.0	頁岩
173	379	330	石鏃	SK82・埋土	2.1	1.5	0.3	0.5	頁岩
174	379	330	石鏃	SI814・P6	[2.3]	1.7	0.3	0.8	頁岩
175	379	330	石鏃	SI915・Q5・埋土下位	1.7	1.2	0.35	0.5	頁岩

田鎖車堂前遺跡掲載石器（K）一覧

［残存値］・その他最大値

掲載No.K	図版	写真図版	種別	出土遺構・位置・層位	寸法（cm）			重さ（g）	備考
					長さ	幅	厚さ		
176	379	330	石鏃	SK904	[2.35]	[1.3]	0.3	0.5	頁岩
177	379	330	石鏃	SK907・石検出面	[2.3]	1.45	0.4	1.2	頁岩
178	379	330	石鏃	SI742・埋土上層	3.6	1.6	0.4	1.6	頁岩
179	379	330	石鏃	SX902・石下土坑内	2.4	1.5	0.6	1.2	頁岩
180	379	330	石鏃	SK828・埋土中	[2.3]	[1.2]	0.6	0.9	頁岩
181	379	330	石鏃	SX902・石下土坑内	2.4	1.3	0.5	1.0	頁岩
182	379	330	石鏃	SX902・石下土坑内	2.2	1.1	0.3	0.4	頁岩
183	379	330	石鏃	ⅡZ3d・検出	2.1	1.75	0.65	1.6	頁岩
184	379	330	石鏃	SI482・埋土	2.05	1.2	0.35	0.9	頁岩
185	379	330	石鏃	SI753・東端・埋土下層	[2.6]	[1.7]	0.4	0.9	頁岩
186	379	330	石鏃	ⅡA7a・Ⅶ層	[3.3]	1.55	0.4	1.7	頁岩
187	379	330	石鏃	SI425・埋土下層	2.8	1.25	0.35	0.8	頁岩
188	379	330	石鏃	SD402・C区・埋土下部	2.5	1.5	0.5	1.1	頁岩
189	379	330	石鏃	ⅡZ10h・Ⅶ層	2.9	1.6	0.35	1.3	頁岩
190	379	330	石鏃	ⅡA8c・Ⅶb～Ⅷ層（トレンチ内）	2.5	1.5	0.3	1.3	頁岩
191	379	330	石鏃	ⅡA7a・Ⅶ層	3.2	1.4	0.5	1.4	頁岩
192	379	330	石鏃	SX900・石検出面	[2.5]	1.35	0.6	1.1	頁岩
193	379	330	石鏃	SI752・埋土下部	3.25	1.5	0.6	2.2	頁岩
194	379	330	石鏃	SI744・埋土最下層	3.5	1.95	0.8	3.8	頁岩
195	379	330	石鏃	SI401・南側	2.9	1.65	0.4	1.0	頁岩
196	379	330	石鏃	ⅡY5i・Ⅶ層	3.0	2.0	0.6	3.4	頁岩
197	379	330	石鏃	SI494・埋土	2.55	1.9	0.6	2.6	頁岩
198	379	330	石鏃	SK848・埋土	2.4	1.5	0.5	1.7	頁岩
199	379	331	石鏃	SI448・埋土	[3.0]	2.0	0.7	2.4	頁岩
200	380	331	石鏃	SI478・埋土	2.8	1.8	0.9	3.4	頁岩

田鎖車堂前遺跡掲載石器（K）一覧

［残存値］・その他最大値

掲載No.K	図版	写真図版	種別	出土遺構・位置・層位	寸法（cm）			重さ（g）	備考
					長さ	幅	厚さ		
201	380	331	石鏃	SI482・下（南）縄文住居・埋土	2.6	1.8	0.5	3.2	頁岩
202	380	331	石鏃	SX907	[3.1]	[1.8]	0.4	1.5	頁岩
203	380	331	石鏃	SI402・埋土	3.4	2.35	0.75	4.2	頁岩
204	380	331	石鏃	SI752	[3.3]	1.9	0.75	3.2	頁岩
205	380	331	石鏃	SI404	[2.9]	1.5	0.95	2.5	頁岩
206	380	331	石鏃	SI71・埋土	2.7	2.0	0.7	2.4	頁岩
207	380	331	石鏃	SI482・埋土	1.8	1.6	0.5	1.0	頁岩
208	380	331	石鏃	SI814・埋土	3.2	1.4	0.6	2.3	頁岩
209	380	331	石鏃	SI904・埋土	3.1	1.2	0.5	1.8	頁岩
210	380	331	石鏃	SI813・埋土一括	3.9	1.9	0.8	5.1	頁岩
211	380	331	石鏃	SK904・埋土	3.25	2.5	1.5	3.6	頁岩
212	380	331	石鏃	SX907・石掘り込み内	[2.2]	0.8	0.4	0.6	頁岩
213	380	331	石鏃	ⅡZ7d・Ⅶ層	3.4	2.1	0.8	4.6	頁岩
214	380	331	石鏃	SI439・埋土	2.9	0.9	0.4	0.7	頁岩
215	380	331	石鏃	５区西側　ⅢB	4.0	1.7	1.0	5.4	頁岩
216	380	331	石鏃	ⅡZ3i・Ⅶ層	[3.3]	2.2	0.9	6.3	頁岩
217	380	331	石鏃	SI801・Q2・埋土下部	2.3	1.8	0.5	1.7	頁岩
218	380	331	石鏃	SI902・焼土１・埋土	3.0	2.0	0.6	2.9	頁岩
219	380	331	石鏃	SP7026・埋土	[2.2]	1.1	0.35	0.9	頁岩
220	380	331	石鏃	SI744・埋土	2.1	1.6	0.6	1.5	頁岩
221	380	331	石鏃	ⅡZ7h・Ⅶ層	[2.1]	1.1	0.4	1.1	頁岩
222	380	331	石鏃	SI482・埋土	[2.25]	1.25	0.35	1.0	頁岩
223	380	331	石鏃	SI486・埋土	[2.1]	1.5	0.4	1.3	頁岩
224	380	331	石鏃	SI459・埋土	[2.5]	1.8	0.6	2.2	頁岩
225	380	331	石鏃	SI910・SK02・埋土下層	2.65	1.6	0.5	1.9	頁岩

田鎖車堂前遺跡掲載石器（K）一覧

［残存値］・その他最大値

掲載No.K	図版	写真図版	種別	出土遺構・位置・層位	寸法（cm）			重さ（g）	備考
					長さ	幅	厚さ		
226	380	331	石鏃	SI805・埋土一括	2.3	1.5	0.3	0.8	頁岩
227	380	331	石鏃	ⅡA6c・Ⅶc層	[2.9]	1.0	0.3	1.1	頁岩
228	380	331	石鏃	ⅡZ3f・検出	[4.7]	1.1	0.4	1.9	頁岩
229	380	331	石鏃	SI474・貼床	3.0	1.5	0.9	3.3	頁岩
230	380	331	石鏃	ⅡZ2d・検出	3.0	1.3	0.5	1.5	頁岩
231	380	331	石鏃	SI436の南あたり・検出	2.9	1.9	0.6	2.8	頁岩
232	380	331	石鏃	ⅡA7a・Ⅶ層	2.9	1.6	0.4	1.3	頁岩
233	380	331	石鏃	ⅡZ8i・Ⅶ層	[2.5]	1.3	0.3	1.1	頁岩
234	380	332	石鏃	SI755・検出面	3.2	1.5	0.85	3.6	頁岩
235	380	332	石鏃	SX900・石範囲、ⅡA8a	[3.1]	2.15	0.7	4.0	頁岩
236	380	332	石鏃	SI752	2.65	1.7	0.5	2.1	頁岩
237	380	332	石鏃	SI907・床面直上	2.45	1.35	0.3	0.8	頁岩
238	380	332	石鏃	ⅡZ1i・検出	2.1	0.9	0.4	0.6	頁岩
239	381	332	石鏃	SI906・Q２・埋土上位	1.9	2.1	0.4	0.9	頁岩
240	381	332	石鏃	SI445・床直	[3.2]	[2.35]	0.7	4.3	頁岩
241	381	332	石鏃	SI819・床面	2.1	1.4	0.45	1.1	頁岩
242	381	332	石鏃	SI487・埋土	3.3	1.2	0.4	1.7	頁岩
243	381	332	石鏃	SI819・床面	1.8	1.6	0.4	0.9	頁岩
244	381	332	石鏃	SX902・石下土坑内	2.8	1.6	0.65	2.8	頁岩
245	381	332	石鏃	SI740・炉内	3.3	1.45	0.6	2.7	頁岩
246	381	332	石鏃	検出面・直上層	3.55	1.2	0.4	1.6	頁岩
247	381	332	石鏃	SK423・埋土	3.6	1.1	0.5	1.9	頁岩
248	381	332	石鏃	SI826　埋土	4.7	2.35	1.0	8.9	頁岩
249	381	332	石鏃	SI489・南半	3.15	1.3	0.6	2.3	頁岩
250	381	332	石鏃	SI406・床直	[2.9]	1.1	0.6	1.4	頁岩

田鎖車堂前遺跡掲載石器（K）一覧

［残存値］・その他最大値

掲載No.K	図版	写真図版	種別	出土遺構・位置・層位	寸法（cm）			重さ（g）	備考
					長さ	幅	厚さ		
251	381	332	石鏃	SI461・床直	2.8	1.6	0.75	2.8	頁岩
252	381	332	石鏃	SI816・炉方	4.05	1.3	4.0	1.8	頁岩
253	381	332	石鏃	SI444・埋土上層	[2.25]	1.0	0.3	0.6	頁岩
254	381	332	石鏃	SI468・埋土	2.1	[1.3]	0.4	0.6	頁岩
255	381	332	石鏃	SI42・埋土	[2.8]	1.4	0.55	1.2	頁岩
256	381	332	石鏃	SD402B・埋土上層	3.6	1.5	0.6	2.4	頁岩
257	381	332	石鏃	ⅡZ6e・検出面	2.6	1.2	0.6	1.5	頁岩
258	381	332	石鏃	ⅡZ5c・Ⅴ～Ⅶ層	4.4	1.65	0.65	3.4	頁岩
259	381	332	石鏃	SI460・埋土	[2.8]	1.2	0.35	0.7	頁岩
260	381	332	石鏃	SI803・Q1・埋土	[1.7]	1.25	0.4	0.6	頁岩
261	381	332	石鏃	SI473・埋土	[2.35]	1.1	0.4	0.7	頁岩
262	381	332	石鏃	SI809・一括	[1.95]	1.2	0.3	0.6	頁岩
263	381	332	石鏃	SI805・埋土一括	[2.2]	1.2	0.3	0.5	頁岩
264	381	332	石鏃	SI739・埋土	[2.9]	1.3	0.4	0.9	頁岩
265	381	332	石鏃	SI461・埋土	[2.9]	1.25	0.45	1.0	頁岩
266	381	332	石鏃	SI809・一括	[2.9]	1.2	0.4	1.0	頁岩
267	381	332	石鏃	検出面	[2.7]	1.2	0.4	0.9	頁岩
268	381	332	石鏃	SI461の南あたり・検出	[1.95]	1.0	0.25	0.4	頁岩
269	381	332	石鏃	SI459の南東・検出	2.35	1.4	0.6	1.3	頁岩
270	381	332	石鏃	ⅡZ2f・検出面	2.5	0.9	0.4	0.6	頁岩
271	381	332	石鏃	SI430・埋土上部	[2.2]	1.0	0.3	0.5	頁岩
272	381	333	石錐	ⅢZ6d・検出面	2.8	0.7	0.5	0.7	頁岩
273	381	333	石錐	SI468・埋土	3.2	0.8	0.6	1.4	頁岩
274	381	333	石錐	ⅡZ6a・Ⅴ～Ⅶ層	3.5	0.9	0.4	0.8	頁岩
275	381	333	石錐	SI744・埋土	[3.2]	1.1	0.4	0.3	頁岩

田鎖車堂前遺跡掲載石器（K）一覧

［残存値］・その他最大値

掲載No.K	図版	写真図版	種別	出土遺構・位置・層位	寸法（cm）			重さ（g）	備考
					長さ	幅	厚さ		
276	381	333	石錐	SI482・埋土	3.5	1.3	0.8	1.7	頁岩
277	381	333	石錐	SI487・埋土	[1.5]	2.1	0.6	1.7	頁岩
278	832	333	石錐	SI482・埋土	1.8	1.0	0.5	0.7	頁岩
279	382	333	石錐	SI425・床直	2.7	1.6	0.7	1.6	頁岩
280	832	333	石錐	SI40・埋土	[3.0]	2.7	1.3	8.1	頁岩
281	382	333	石錐	SK432・埋土	3.7	1.8	0.6	3.2	頁岩
282	832	333	石錐	SX406・ベルトA-A'・１層	[3.3]	2.4	0.8	3.3	頁岩
283	382	333	石錐	SD402-A・埋土下層	3.6	2.3	1.0	4.4	頁岩
284	832	333	石錐	SI495	4.5	1.0	0.5	1.4	頁岩
285	382	333	石錐	SI906・Q２・埋土上位	4.5	1.8	0.6	2.0	頁岩
286	832	333	石錐	ⅡZ・検出面	3.4	2.2	0.8	2.4	頁岩
287	382	333	石錐	SI906・Q２・埋土下位	5.0	2.9	1.2	9.2	頁岩
288	832	333	石錐	SK449・埋土	3.3	1.7	0.7	2.8	頁岩
289	382	333	石錐	SI402,406付近・検出	5.2	1.1	0.5	1.6	頁岩
290	832	333	石錐	SI445・貼床	4.5	1.6	0.5	1.2	頁岩
291	382	333	尖頭器	IZ・検出面	4.7	1.2	0.8	4.0	頁岩
292	832	333	尖頭器	SI425・埋土上位	4.8	1.4	0.9	4.1	頁岩
293	382	333	尖頭器	SI4455・床直	3.5	0.9	1.0	2.4	頁岩
294	832	333	尖頭器	SI4455・埋土下層	5.5	1.4	0.7	4.9	頁岩
295	382	333	尖頭器	SI443　埋土	[4.2]	1.0	0.6	2.9	頁岩
296	832	333	尖頭器	ⅡZ9e	[4.1]	1.4	0.5	2.5	頁岩
297	382	333	尖頭器	SK469・埋土	[5.1]	1.3	0.8	4.4	頁岩
298	832	333	尖頭器	SD402・C区・埋土下部	[5.5]	1.3	0.9	6.4	頁岩
299	382	333	尖頭器	ⅡZ6j・Ⅶ層（地山直上層）	6.3	1.2	0.7	3.8	頁岩
300	832	333	尖頭器	ⅡZ・検出面	[5.0]	1.85	0.5	3.6	頁岩

田鎖車堂前遺跡掲載石器（K）一覧

［残存値］・その他最大値

掲載No.K	図版	写真図版	種別	出土遺構・位置・層位	寸法（cm）			重さ（g）	備考
					長さ	幅	厚さ		
301	382	334	尖頭器	ⅡZ8a付近	［4.2］	1.2	0.8	4.7	頁岩
302	383	334	石匙	SX902・石下土坑内	［3.9］	1.1	0.6	1.8	頁岩
303	383	334	石匙	SI744	4.7	2.0	0.5	1.9	頁岩
304	383	334	石匙	IA10a・Ⅶ層	［4.4］	1.9	0.7	4.1	頁岩
305	383	334	石匙	SK723・埋土	［4.1］	1.4	0.6	3.4	頁岩
306	383	334	石匙	SK833・埋土	5.2	1.4	0.8	4.4	頁岩
307	383	334	石匙	SI405・貼床	［5.45］	1.75	0.6	4.9	頁岩
308	383	334	石匙	ⅡA5a・Ⅶ層	4.15	1.4	0.65	2.9	頁岩
309	383	334	石匙	ⅡZ2d・SI470付近・検出	［4.2］	1.6	0.8	3.9	頁岩
310	383	334	石匙	ⅡZ1j・Ⅶ層上面検出	5.9	1.4	0.6	3.5	頁岩
311	383	334	石匙	SI495	4.1	0.7	4.7	4.7	頁岩
312	383	334	石匙	SI419・炉付近・埋土	5.05	1.5	0.7	5.1	頁岩
313	383	334	石匙	ⅡA4b・Ⅶ層	5.45	1.5	1.0	7.6	頁岩
314	383	334	石匙	ⅡA4b・Ⅶ層	5.5	1.8	0.7	6.0	頁岩
315	383	334	石匙	ⅡZ8c・Ⅶ層	5.95	1.9	0.75	6.3	頁岩
316	383	334	石匙	SI827	［2.9］	1.4	0.5	2.2	頁岩
317	383	334	石匙	SI801	6.1	2.25	0.9	10.1	頁岩
318	383	334	石匙	SI816・炉方	5.7	1.7	0.7	5.2	頁岩
319	383	334	石匙	ⅡZ3h・Ⅶ層検出	6.3	1.8	0.7	7.0	頁岩
320	383	334	石匙	ⅡZ4c・Ⅶa層	5.5	2.1	0.8	9.0	頁岩
321	383	334	石匙	北・検出	4.9	1.5	0.8	4.5	頁岩
322	384	334	石匙	SI909・炉・燃焼部	6.7	1.6	0.6	6.2	頁岩
323	384	334	石匙	ⅡY5i・Ⅶ層	6.0	1.8	1.0	6.7	頁岩
324	384	335	石匙	SI829・埋土	7.0	1.8	0.7	7.4	頁岩
325	384	335	石匙	SK492・埋土	5.75	2.1	0.75	8.9	頁岩

田鎖車堂前遺跡掲載石器（K）一覧

［残存値］・その他最大値

掲載No.K	図版	写真図版	種別	出土遺構・位置・層位	寸法（cm）			重さ（g）	備考
					長さ	幅	厚さ		
326	384	335	石匙	北東調査区境トレンチ	6.6	1.7	1.0	5.8	頁岩
327	384	335	石匙	SI402,406付近・検出	[6.4]	2.1	0.8	7.3	頁岩
328	384	335	石匙	ⅡZ7b・Ⅶ層	6.5	2.4	0.9	11.7	頁岩
329	384	335	石匙	SI906・Q3・壁溝内	6.2	1.85	0.7	5.9	頁岩
330	384	335	石匙	SI822・サブトレ・一括	5.7	2.7	0.5	11.5	頁岩
331	384	335	石匙	SI425・埋土下位	6.0	2.4	1.1	11.2	頁岩
332	384	335	石匙	ⅡZ2f・検出	6.4	1.9	0.75	8.5	頁岩
333	384	335	石匙	ⅡY4i・Ⅶ層上面	6.9	1.4	1.2	9.9	頁岩
334	384	335	石匙	SI801・Q2・埋土下部	6.55	2.2	1.0	8.4	頁岩
335	384	335	石匙	ⅡY5h・Ⅶ層	7.1	2.0	0.8	10.5	頁岩
336	384	335	石匙	SI402	6.6	2.1	0.9	8.1	頁岩
337	385	335	石匙	北東調査区境トレンチ	6.35	2.15	1.0	11.0	頁岩
338	385	335	石匙	SI905・炉・炉石掘り方内	6.9	2.2	0.8	10.9	頁岩
339	385	336	石匙	ⅡA7b・Ⅶ層	8.4	2.5	1.15	15.2	頁岩
340	385	336	石匙	ⅡZ2j・検出	[7.3]	1.6	1.0	7.2	頁岩
341	385	336	石匙	ⅡZ1g・Ⅶb層相当	6.5	2.2	0.75	6.4	頁岩
342	385	336	石匙	SK827・埋土	8.4	1.6	1.0	7.5	頁岩
343	385	336	石匙	IA10b・北端東西トレンチ・Ⅶ層	6.1	2.6	1.1	8.1	頁岩
344	385	336	石匙	SI813・埋土一括	[7.2]	2.1	0.7	7.1	頁岩
345	385	336	石匙	ⅡZ7e・Ⅶ層	7.3	2.55	0.8	9.2	頁岩
346	385	336	石匙	ⅢY３i～３j・検出	8.0	2.4	1.1	14.5	頁岩
347	385	336	石匙	SI482・埋土	8.3	2.1	1.15	11.1	頁岩
348	385	336	石匙	ⅡA7b・Ⅶ層	7.35	2.3	1.2	13.9	頁岩
349	386	336	石匙	SI817・下層	7.5	1.1	18.1	18.1	頁岩
350	386	336	石匙	SI489・南半	[9.2]	2.4	1.4	20.6	頁岩

田鎖車堂前遺跡掲載石器（K）一覧

［残存値］・その他最大値

掲載No.K	図版	写真図版	種別	出土遺構・位置・層位	寸法（cm）			重さ（g）	備考
					長さ	幅	厚さ		
351	386	336	石匙	SI484・埋土	3.7	2.1	0.7	3.4	頁岩
352	386	337	石匙	SI914・Q4・埋土下層	[4.7]	2.3	0.9	7.3	頁岩
353	386	337	石匙	SI489・北側・埋土	4.45	2.9	0.6	5.4	頁岩
354	386	337	石匙	ⅡA10i・Ⅶ層・検出	4.4	2.8	0.8	8.9	頁岩
355	386	337	石匙	SI401・埋土	[3.5]	[2.0]	[0.7]	3.6	頁岩
356	386	337	石匙	ⅡZ7a・Ⅶ層	[3.9]	2.1	0.5	2.8	頁岩
357	386	337	石匙	SI903・埋土	5.0	2.65	0.9	10.1	頁岩
358	386	337	石匙	SI801・Q2・埋土下部	4.3	2.5	0.8	6.4	頁岩
359	386	337	石匙	SI801・炉・No.1下部（３層）	4.1	3.2	0.95	9.6	頁岩
360	386	337	石匙	SI914・Q5・埋土、南側・下層	4.7	2.8	0.9	8.7	頁岩
361	386	337	石匙	北東調査区境トレンチ	6.2	2.35	1.1	13.1	頁岩
362	386	337	石匙	SI911・Q1・埋土下位	5.4	2.8	0.8	9.9	頁岩
363	386	337	石匙	ⅡZ3a・Ⅶ層	[5.4]	3.1	0.9	11.6	頁岩
364	387	337	石匙	ⅡZ1g・検出面	4.5	2.4	0.95	9.2	頁岩
365	387	337	石匙	SK827・埋土	6.0	3.3	1.2	16.1	頁岩
366	387	337	石匙	ⅡA5c	[6.0]	3.2	1.1	14.3	頁岩
367	387	337	石匙	ⅡZ5i・Ⅷ層	5.9	2.7	1.25	13.4	頁岩
368	387	337	石匙	ⅠZ9h～10h・Ⅵ層	5.9	2.8	1.0	11.4	頁岩
369	387	337	石匙	昨年度調査区・表採	7.95	4.0	1.5	36.1	頁岩
370	387	338	石匙	ⅡY6ｊ・カクラン層	6.05	2.4	1.0	12.0	頁岩
371	387	338	石匙	ⅡZ2i・検出	6.4	2.6	0.9	15.2	頁岩
372	387	338	石匙	SI752・床直	[5.9]	(4.3)	1.2	17.8	頁岩
373	387	338	石匙	SI803・Q1・掘り方埋土	5.9	3.2	0.9	12.5	頁岩
374	387	338	石匙	SI445・貼床	[5.3]	3.0	0.9	13.1	頁岩
375	387	338	石匙	SI910・SK01・埋土上層	6.0	3.3	1.0	14.5	頁岩

田鎖車堂前遺跡掲載石器（K）一覧

［残存値］・その他最大値

掲載No.K	図版	写真図版	種別	出土遺構・位置・層位	寸法（cm）			重さ（g）	備考
					長さ	幅	厚さ		
376	388	338	石匙	SI916・Q2・埋土上位	6.2	3.6	0.9	13.9	頁岩
377	388	338	石匙	SI912・Q3・埋土	2.4	2.7	0.6	2.3	頁岩
378	388	338	石匙	SI906・Q1・埋土下位	3.1	4.6	0.6	5.7	頁岩
379	388	338	石匙	SI915・Q4・埋土上層	3.7	[4.6]	0.7	7.2	頁岩
380	388	338	石匙	ⅡZ7h・Ⅶ層	3.3	6.6	1.05	11.9	頁岩
381	388	338	石匙	ⅠZ10f・検出	3.15	5.4	1.0	12.2	頁岩
382	388	338	石匙	SD207・C区・埋土上層	3.5	5.1	1.05	15.1	頁岩
383	388	338	石匙	SI807・一括	3.2	4.9	1.0	7.2	頁岩
384	388	338	石匙	SX907・石検出面	3.1	[4.8]	0.9	7.8	頁岩
385	388	339	石匙	SI405・煙道	4.0	5.8	1.4	15.2	頁岩
386	388	339	石匙	SI752・床直	3.7	[4.3]	0.8	9.4	頁岩
387	388	339	石匙	SI755・検出面	[3.3]	3.1	0.7	6.4	頁岩
388	388	339	石匙	SI914・東西cベルト内・埋土	[2.7]	3.1	0.6	3.4	頁岩
389	388	339	石匙	ⅡZ9f・Ⅶ層下位	3.85	[5.0]	1.05	8.4	頁岩
390	389	339	石篦	SI429・埋土	6.3	3.4	1.7	32.2	頁岩
391	389	339	石篦	SI817・床面	5.95	3.8	1.35	32.8	頁岩
392	389	339	石篦	ⅡY7h～8j・検出	5.5	3.0	0.9	13.2	頁岩
393	389	339	石篦	北側・検出	5.1	3.65	1.25	24.9	頁岩
394	389	339	石篦	SI493・埋土	[3.55]	2.4	1.1	11.8	頁岩
395	389	339	石篦	ⅡY5i・Ⅶ層上面	5.2	2.9	1.3	17.1	頁岩
396	389	339	石篦	SX408・北側、 SK470付近・南側・検出	8.5	4.95	1.6	64.5	頁岩
397	389	339	削掻器	SI425・P9・埋土	4.25	6.25	1.15	22.2	頁岩
398	389	339	削掻器	SI904・埋土	4.3	[5.9]	1.7	40.9	頁岩
399	389	340	削掻器	SI485・埋土	[3.2]	2.8	1.0	10.2	頁岩
400	389	340	削掻器	SI495・ベルト・２層目埋土	6.3	2.65	1.4	21.6	頁岩

田鎖車堂前遺跡掲載石器（K）一覧

［残存値］・その他最大値

掲載No.K	図版	写真図版	種別	出土遺構・位置・層位	寸法（cm）			重さ（g）	備考
					長さ	幅	厚さ		
401	389	340	削掻器	SI906・Q3・埋土下位	7.6	3.2	1.55	33.6	頁岩
402	389	340	削掻器	SI903・埋土	4.5	2.6	1.1	10.5	頁岩
403	389	340	削掻器	SI901・埋土下層	[2.45]	3.8	0.7	5.6	頁岩
404	390	340	削掻器	SI907・床面直上	4.2	8.05	1.55	36.9	頁岩
405	390	340	削掻器	SK735・埋土	[3.6]	3.8	1.0	9.5	頁岩
406	390	340	削掻器	SI904・炉	[4.1]	4.85	1.7	24.4	頁岩
407	390	340	削掻器	SI754・埋土	[4.45]	2.2	0.65	5.1	頁岩
408	390	340	削掻器	SI753・南東・埋土上層	4.0	2.45	1.2	9.4	頁岩
409	390	340	削掻器	SI449・埋土	5.2	3.3	1.1	16.3	頁岩
410	390	340	削掻器	SI740・Q4・埋土下位	6.2	2.9	1.25	18.0	頁岩
411	390	340	削掻器	SI489・北側・埋土	4.75	[2.2]	1.3	10.8	頁岩
412	390	340	削掻器	SK480・埋土	[3.8]	[2.45]	0.95	5.5	頁岩
413	390	340	削掻器	SK480・埋土	4.2	2.2	0.9	7.1	頁岩
414	390	340	削掻器	SK719	[3.5]	1.9	0.6	3.7	頁岩
415	390	340	削掻器	SK845・一括	4.95	3.1	1.25	17.9	頁岩
416	390	340	削掻器	SK806・東半・埋土上位	6.35	3.3	1.3	25.7	頁岩
417	390	340	削掻器	SK904	5.2	3.1	1.0	14.1	頁岩
418	390	341	削掻器	SX907・掘込内	2.5	3.0	0.7	3.9	頁岩
419	390	341	削掻器	ⅡZ9g・Ⅵ層下～Ⅶ層上面	2.4	[3.15]	0.8	5.1	頁岩
420	390	341	削掻器	ⅡZ8c・Ⅶ層	4.5	2.0	1.0	6.2	頁岩
421	390	341	削掻器	ⅡA6b・Ⅶ層	3.3	5.15	1.6	18.3	頁岩
422	391	341	削掻器	ⅡA10b・トレンチ・Ⅶ層	5.6	3.1	1.15	16.6	頁岩
423	391	341	削掻器	ⅡZ9f・Ⅶ層下位	3.8	4.4	1.0	11.8	頁岩
424	391	341	削掻器	SI495	[2.3]	[2.3]	0.95	5.1	頁岩
425	391	341	削掻器	ⅡA8d	3.85	1.9	0.9	3.3	頁岩

田鎖車堂前遺跡掲載石器（K）一覧

［残存値］・その他最大値

掲載No.K	図版	写真図版	種別	出土遺構・位置・層位	寸法（cm）			重さ（g）	備考
					長さ	幅	厚さ		
426	391	341	削掻器	ⅡZ1g・Ⅵ層相当	4.0	1.4	0.9	3.2	頁岩
427	391	341	削掻器	ⅡZ7h・Ⅶ層	3.2	1.9	0.75	3.8	頁岩
428	391	341	削掻器	ⅡY5i・Ⅶ層	[3.1]	1.9	0.85	4.8	頁岩
429	391	341	削掻器	SI909・床面下	2.35	1.3	0.6	1.6	頁岩
430	391	341	削掻器	ⅡZ2ｌ・検出	3.2	1.5	0.7	2.4	頁岩
431	391	341	削掻器	SX900・石範囲内、ⅡZ7j	[3.65]	1.8	0.6	3.9	頁岩
432	391	341	削掻器	ⅡA1c・Ⅶ層	[3.2]	[1.55]	0.5	2.9	頁岩
433	391	341	削掻器	SK491	[2.7]	1.75	0.65	2.1	頁岩
434	391	341	削掻器	SI485・埋土	2.2	1.65	0.85	2.7	頁岩
435	391	341	削掻器	SI470	[4.05]	1.95	0.65	5.4	頁岩
436	391	341	削掻器	SI437、SK01	6.4	4.4	1.3	28.4	頁岩
437	391	341	削掻器	SI755・床直	[6.6]	2.3	1.2	12.0	頁岩
438	391	341	削掻器	SI404・埋土	4.8	2.5	0.8	9.6	頁岩
439	391	341	削掻器	SI753・南東・埋土上層	[7.3]	(3.7)	1.2	35.1	頁岩
440	391	341	削掻器	IZ・検出面	[6.1]	1.8	2.55	6.0	頁岩
441	391	341	削掻器	SI744・埋土	[4.1]	1.1	0.6	3.2	頁岩
442	391	342	削掻器	SI752・埋土下部	[3.4]	(2.35)	0.9	5.1	頁岩
443	391	342	削掻器	SI740・Q1・埋土下層	4.0	[4.95]	0.9	10.8	頁岩
444	391	342	削掻器	SI487・埋土	5.95	2.2	0.8	8.5	頁岩
445	392	342	削掻器	SI481・埋土	2.9	3.5	0.8	4.9	頁岩
446	392	342	削掻器	SI482・埋土	4.3	3.2	0.9	9.1	頁岩
447	392	342	削掻器	SI740・Q4・埋土下層	3.3	4.4	1.2	16.3	頁岩
448	392	342	削掻器	SI487・埋土	5.1	3.6	1.2	15.6	頁岩
449	392	342	削掻器	SI752・埋土下	2.95	[3.5]	0.9	5.8	頁岩
450	392	342	削掻器	SI904・埋土	[4.2]	2.9	1.05	12.1	頁岩

田鎖車堂前遺跡掲載石器（K）一覧

［残存値］・その他最大値

掲載No.K	図版	写真図版	種別	出土遺構・位置・層位	寸法（cm）			重さ（g）	備考
					長さ	幅	厚さ		
451	392	342	削掻器	SI755・検出面	5.05	[6.8]	1.65	41.3	頁岩
452	392	342	削掻器	SI902・Q3・埋土下位	6.15	3.95	1.5	25.4	頁岩
453	392	342	削掻器	SI756・埋土	4.2	[6.8]	1.4	24.1	頁岩
454	392	342	削掻器	SI915・Q5・埋土下位	3.8	2.5	0.75	4.2	頁岩
455	392	342	削掻器	SI910	2.3	2.8	0.55	2.7	頁岩
456	392	342	削掻器	SI488・床下	4.15	2.7	1.2	10.5	頁岩
457	392	342	削掻器	SI817・床直	[4.0]	2.9	0.8	8.5	頁岩
458	392	343	削掻器	SK722・埋土	4.1	[4.2]	0.95	10.4	頁岩
459	392	342	削掻器	SI817・下層	3.7	3.1	0.8	7.0	頁岩
460	392	343	削掻器	SI904・炉	[3.6]	2.4	0.55	6.0	頁岩
461	392	343	削掻器	SK829・一括	3.6	4.65	1.0	10.4	頁岩
462	393	342	削掻器	SK852・埋土一括	6.15	3.8	1.5	26.7	頁岩
463	393	343	削掻器	SK852・一括	5.4	3.85	15.3	15.3	頁岩
464	393	343	削掻器	SK823・一括	[4.4]	[2.4]	1.15	7.5	頁岩
465	393	343	削掻器	SK814・ベルトA-A'・埋土	[3.35]	[2.15]	0.7	4.9	頁岩
466	393	343	削掻器	ⅡZ1j・Ⅶ層上面検出	5.2	1.3	0.4	3.4	頁岩
467	393	343	削掻器	ⅡY6j・Ⅶ層	[7.5]	1.9	0.9	8.2	頁岩
468	393	343	削掻器	ⅡY5h・Ⅶ層	6.0	2.1	1.0	10.7	頁岩
469	393	343	削掻器	SI805・埋土一括	5.3	2.4	0.7	5.9	頁岩
470	393	343	削掻器	SK917・埋土	[3.6]	[1.85]	0.5	2.4	頁岩
471	393	343	削掻器	SI495・ベルト２層目	[2.3]	[1.1]	0.55	1.1	頁岩
472	393	343	削掻器	ⅡZ1e・黒褐色シルト	4.2	4.0	1.2	14.6	頁岩
473	393	343	削掻器	ⅡY5i・Ⅴ～Ⅶ層	[3.65]	3.35	1.05	11.5	頁岩
474	393	343	削掻器	SI906・Q3・埋土下位	5.45	3.9	1.45	21.8	頁岩
475	393	343	削掻器	SI707・北西埋土	3.6	2.5	1.1	5.1	頁岩

田鎖車堂前遺跡掲載石器（K）一覧

［残存値］・その他最大値

掲載No.K	図版	写真図版	種別	出土遺構・位置・層位	寸法（cm）			重さ（g）	備考
					長さ	幅	厚さ		
476	393	343	削掻器	SI493・埋土	3.65	4.3	0.7	9.9	頁岩
477	393	343	削掻器	SI904・埋土	3.9	3.85	1.1	8.3	頁岩
478	393	344	削掻器	SI906・炉前庭部内	3.2	2.5	0.9	4.6	頁岩
479	393	344	削掻器	SI902・Q1・埋土上位	4.8	2.8	1.1	13.6	頁岩
480	393	344	削掻器	SI742	[3.1]	3.6	0.85	7.5	頁岩
481	393	344	削掻器	SI906・Q２・埋土上位	4.2	3.3	1.3	10.6	頁岩
482	394	344	削掻器	SI912・Q3・埋土	[3.35]	2.5	0.75	6.2	頁岩
483	394	344	削掻器	SI483・埋土	5.6	3.5	0.7	6.7	頁岩
484	394	344	削掻器	SI484・埋土	4.4	5.0	1.6	22.5	頁岩
485	394	344	削掻器	SI495・ベルト２層目・埋土	3.2	2.0	1.2	5.5	頁岩
486	394	344	削掻器	SI827	3.3	2.7	0.6	4.1	頁岩
487	394	344	削掻器	SI489・P4・埋土	2.55	3.6	0.85	6.2	頁岩
488	394	344	削掻器	SI756・埋土	2.8	2.2	0.8	3.9	頁岩
489	394	344	削掻器	SI471付近・検出	3.1	3.6	0.95	7.9	頁岩
490	394	344	削掻器	SD402B・埋土上層	6.65	5.7	1.05	25.1	頁岩
491	394	344	削掻器	SI429・煙道	5.75	2.0	1.05	6.0	頁岩
492	394	344	削掻器	SI495	3.6	2.2	0.85	5.9	頁岩
493	394	344	削掻器	SI485・埋土	2.1	1.6	0.5	1.3	頁岩
494	394	344	削掻器	ⅡA10b・トレンチ・Ⅶ層	4.0	7.5	1.5	35.2	頁岩
495	394	344	削掻器	SI403・北側	8.3	2.4	1.8	15.3	頁岩　リタッチドフレイク

第17表　掲載その他の遺物（L）一覧

掲載No.L	図版	写真図版	種別	出土遺構・位置・層位	特徴	備考
1	－	196	馬歯（中世）			
2	209	197	木柱（中世前半）	堀１・南東部・底面	先端部を金属利器で加工。 上端部は折れ。 樹皮を剥ぎ取りして使用か。	
3	－	258	琥珀残滓	SI202・埋土下層	極細片。	久慈産か。
4	－	258	琥珀残滓	SI205・埋土最下層	自然面あり。	久慈産か。0.49g
5	－	258	琥珀残滓	SI229・西側・床面直上	穿孔等の加工痕を持つ細片あり。	久慈産か。0.75g
6	－	259	碧玉石核		光沢のある緑色。自然面には 発泡のような荒れがみられる。	産地不明。
7	－	259	馬歯（古代）	SX201		その他古代の竪穴住居からも 出土あり。
8	－	259	土器細片	SX201	土師器細片と須恵器細片で 構成される。	全1375.8g。

Ⅷ　総　　括

１　時期区分と成果

田鎖車堂前遺跡の発掘調査では、縄文時代早期から近世に至る遺構・遺物が多数、なおかつ重層的に認められ、広大な岩手県においても特異な来歴を持つ遺跡である。ここでは最初に大まかな時代区分に沿って遺跡の様相を概観することで、この複雑な重層構造を紐解く足掛かりとしたい。さらに、遺跡の来歴を最終的にまとめるにあたり、遺跡の変遷過程を便宜的に田鎖１～13期を設定する。期の設定は当然のことながら、層位・遺構面・検出遺構・出土遺物を考慮したものである。

田鎖１期から６期に設定した縄文時代は、大きく上下２面の遺構面で遺構がみられる。上面は田鎖３期とした縄文時代中期を中心時期とし、竪穴住居を主体とする居住域を内包する比較的規模の大きい集落である。下面は田鎖２期とした縄文時代早期末を中心時期とし、竪穴住居がまとまって認められる集落である。なお、田鎖１期とした縄文時代早期中葉には、遺構は認められないものの土器片が一定量出土しており、これらは本遺跡最古段階の遺物であると評価できる。土器は、貝殻・沈線文を主とする文様が施されており、物見台式に比定される。周辺にこの時期の遺構が存在する可能性を示唆している。田鎖５・６期は、遺構がまったく認められない。この原因は、Ⅴ・Ⅵ層が堆積するためである。この地が湖沼化し、長い期間滞水と離水を繰り返していたと考えられる。Ⅴ・Ⅵ層には非常に少量の土器片が稀に認められ、層下位では縄文時代後期初頭頃に位置付けられる十腰内Ⅰ式併行か、それよりやや古い段階の土器片が１片認められるのみである。また、層上位では晩期前葉の大洞B式土器片が出土している。すなわち、この地区が湖沼化していたのは、縄文時代後期初頭から晩期までの間であると推定できる。この湖沼化が収まり、完全離水して比較的乾燥した土地になるのは、遺構が再び姿を現す田鎖７期の弥生時代中期である。

田鎖７期は弥生時代全般とした。遺構は数少ないが、弥生土器の出土が各所で認められる。最も出土が多いのは、弥生時代中期であり、この時期には西側調査区において竪穴住居や土坑などの遺構もみられる。弥生時代前期の土器は調査区東端で少量出土しているが、遺構は認められない。弥生時代後期の土器は調査区西側で少量出土しているが、やはりこの時期と特定できる遺構は認められない。自然環境は、縄文時代晩期に沖積層の堆積が終息、土地の安定化が進んだと考えられる。堆積環境の変化が、縄文時代中期末以降に途絶えていた居住域への回帰をもたらした。

田鎖８期は古墳時代に相当する。古墳時代の明確な遺構は認められないが、埴輪片と推測される破片２点と管玉２点が出土している。当該期の遺構が認められないため、これら古墳時代の遺物を積極的に評価することは現段階では困難である。次の田鎖９期は、７・８世紀の飛鳥・奈良時代であり、竪穴住居を中心とする居住域が展開する時代である。７世紀前半の遺構が認められないため、７世紀後半から次第に集落形成がなされたと考えられる。この集落は８世紀後半まで細々とながらも継続する。この時代の遺物は土器を中心とするが、鉄鏃や刀剣類などの武器も出土している。また、竪穴住居の数に比して多くの土製紡錘車が認められるのも特徴的である。なお、この時代は文献に古代閇村が登場する頃である。これまでの研究で古代閇村は宮古湾に面した地域あるいは山田湾に面した地域と考えられており、須賀君古麻比留の名前が認められることで有名である。古麻比留は律令政府に対して郡家の設置を求めており、設置が叶えば今後も昆布の貢納を約束するという内容である。古麻比留の集落は当然不明であるが、この田鎖車堂前遺跡の性格を考慮すれば古代閇村の一部であっ

第18表　田鎖車堂前遺跡における期の設定

期	時代区分	年代	おもな遺構	おもな遺物	機能・性格	環境	備考
田鎖１期	縄文時代早期中葉	約8,500年前	―	土器	活動域	乾燥	物見台式土器
田鎖２期	縄文時代早期末	約7,300年前	竪穴住居	土器、石器	居住域	乾燥	田鎖最下層式土器群。
田鎖３期	縄文時代中期中葉	約4,200年前	竪穴住居	土器、土・石製品・石器	居住域	乾燥	
田鎖４期	縄文時代中期後葉～末葉	約4,000年前	竪穴住居・配石遺構	土器、土・石製品・石器	居住域・祭祀域	乾燥	祭祀空間を有する拠点集落。
田鎖５期	縄文時代後期前葉	約3,500年前	―	土器	狩猟域？	滞水開始	
田鎖６期	縄文時代後期～晩期	約3,000年前	―	土器	活動域	滞水・離水	
田鎖７期	弥生時代前期～後期	１～３世紀	竪穴住居	土器	居住域	離水	遠隔地域との交流活発。
田鎖８期	古墳時代後期	６世紀	―	須恵器片、埴輪片	活動域	離水	
田鎖９期	飛鳥～奈良時代	７・８世紀	竪穴住居、土坑	土器、金属・石・土製品	居住域	乾燥	東北地方各地の搬入土器を含む拠点集落。
田鎖10期	平安時代前半	９・10世紀	竪穴住居、祭祀遺構	土器、金属・石・土製品	居住域・祭祀域	乾燥	祭祀空間を持ち、城柵との繋がりを有する拠点集落。
田鎖11期	平安時代後半	12世紀	掘立柱建物、堀、井戸	かわらけ、陶磁器、金属製品	居館・祭祀域	乾燥	平泉藤原氏と関係すると考えられる堀を持つ居館。
田鎖12期	鎌倉～戦国時代	13～16世紀	掘立柱建物、竪穴建物、畠	陶磁器、銭貨、金属・石製品	居住域	乾燥	文献史料で「田鎖牧」と記される時代。
田鎖13期	江戸時代	17・18世紀	掘立柱建物、墓壙、畑	陶磁器、銭貨、金属・石製品	居住域	乾燥	農村景観。

た可能性も考えられる。古代閇村の場所に関しては、閉伊川流域に所在することも示唆されている（伊藤2017）。古麻比留の姓である須賀君の「須賀」地名は、岩手県沿岸地域に多く点在するようであるが、田鎖車堂前遺跡の位置する平野部南側の花輪地区には「横須賀」という地名も残っている。すなわち、この遺跡を含めた沖積平野も「スカ」と呼ばれる土地であった可能性が考えられ、ここも「須賀君古麻比留」の割拠した地の有力な候補の一つであると思われる。

田鎖10期は９世紀から10世紀の平安時代前半に設定した。この時期は遺構・遺物ともに非常に多く、なおかつ調査範囲全域に及んでいる。前段階の８世紀から集落として連続するが、９世紀には竪穴住居が非常に多く営まれ、集落が拡大する時期であるとみられる。西側丘陵上の田鎖館跡にも集落が展開するため拡張は地形面を超えたものであったようである。土器・鉄製品など出土遺物も豊富で、地域の拠点集落として存立したものと考えられる。また、集落域の中心部には、石敷きと溝が合わさった祭祀遺構が認められる。この希有な祭祀遺構の存在は、その他の集落とは一線を画した集団の存在を示唆している。しかし、10世紀に入ると竪穴住居は減少しているため、集落は縮小する傾向にある。

田鎖11期は平安時代後半の12世紀とした。11世紀代の遺構や遺物がみられないため、約100年の空白期を経ている。この時代は、岩手県では平泉藤原氏が平泉を拠点とし、東北地方一円を支配した時代である。これまで岩手県沿岸地域では、この時代の遺物が点在することは判明していたが、遺構・遺物の複合体をみることができる遺跡はなかった。しかし、今回の調査で初めて岩手県沿岸地域で堀を持つ居館の存在が明らかとなり、注目を集めることとなった。

田鎖12期は、13～16世紀として設定した。中世全般を対象とした時期設定であるため、遺構の共存関係を整理する必要があるが、大まかには13・14世紀の遺構は竪穴建物が挙げられ、15・16世紀は掘立柱建物や竪穴建物が複数棟みられ、溝・畠・暗渠などの遺構もみられる。出土遺物は少なく、性格

を如実に現すものではないが、何らかの施設が点在していた可能性が指摘できる。居住域が低湿地近くに出現するのはこの時代であり、古代・中世前半に居住域であったエリアではむしろ目立った遺構が認められないという分布的な特徴がある。中世、何らかの環境変化が生じたか、文献史料で登場する馬匹生産との関連する可能性も考えられる。

田鎖13期とした近世については、農村景観が展開する。民家、墓があり、周囲は畑として活用されている。これらが有機的に結びついており、この地域の一般的な農村像を結ぶことができる点で重要であり、近世の農村景観が復元可能である。

2　田　鎖　の　牧

田鎖の地は馬匹生産の盛んな地域であった。室町時代「無双の才人」と称された公家の一条兼良（1402～1481）が２編の書で、田鎖の牧について書いている。１つは『尺素往来』の中に「奥州閉伊郡到来」、「多久左里之牧両三疋」と記述があり、もう一つは『鴉鷺合戦物語』の中に「乗りたる馬は奥のたくさり」と記述がある。一条兼良という人物は、当代きっての博学にして、摂政・関白等を歴任した公家最高位の身分を有する。その彼が、奥州閉伊郡にある「田鎖の牧」産の馬について知っており、当時「田鎖の牧」は京内の公家も見知ったブランド名であったことを窺い知ることができる。さらに、田鎖という産地を特定していることから、特に名馬を輩出した牧であった可能性が高い。いずれの記述も15世紀代に田鎖には牧があり、そこから京へ向けて馬が進上されていたことを示す記述である。さらに中世馬牧についてまとめた安田初雄の論文（安田1959）を参考にすると、1481（文明十三）年に「伊勢貞宗が、秘蔵の馬を所望され、将軍に献上したのは田鎖産の馬であった」と紹介している。やはり当時の誉れ高い田鎖産の馬についての記述である点は重要である。文献史料から田鎖・花輪地区の広い平野部を利用した馬牧があったと推測される。馬牧の立地については、多摩地域における古代の牧の立地について検討した松崎元樹（松崎2008）の研究がある。松崎は「河川の合流点付近の低い段丘面や氾濫原および背後に丘陵地を含む地域である」と述べている。しかし、このような土地は日本列島ではどこでもみられる特に珍しいものではないと思われ、牧の立地条件としては非常に脆弱な印象を受ける。しかし、岩手県沿岸地方に限れば、このような立地条件を満たす土地は意外と少なく、田鎖・花輪地区の広い平野部はある意味特異な土地である。本遺跡は閉伊川と長沢川の合流点に近く、低い段丘面から氾濫原にかけて立地する。西側背後は丘陵地でもある。この条件でみれば馬産に叶う好立地であるということができよう。発掘調査では、馬匹生産を特定する遺構は認められないが、この時代の掘立柱建物等があり、これらの施設が馬匹生産に関わっていた可能性も考えられる。また、調査区東側に位置する溝３は東側低湿地のラインと平行し、なおかつ北側低湿地のラインに直交している。この溝の機能は不明であるが、牧関連の区画溝である可能性もある。次に、牧を特徴付ける遺物として馬歯が挙げられる。今回の調査では馬歯の出土は調査区全域、様々な遺構で認められる。古代の竪穴住居、12世紀の堀、近世の遺構などからも出土しており、文献史料に登場する以前、以後の遺構でも出土が確認され、長きに亘り馬匹生産がおこなわれていた可能性が考えられる。近隣あるいは調査範囲内か特定できなかったが、雀形の馬印が以前採集されている。宮古市教育委員会の図録（宮古市教育委員会2007）では、馬印の写真とともに、「田鎖牧は田鎖館跡の東側、現在の田鎖地区付近にあったと考えられています」と位置を推定している。この雀形馬印は、現在青森県十和田市にある十和田市馬事公苑内の称徳館に保管されている。前掲安田論文（安田1959）では、1508（永正五）年の『永正五年馬焼印図』には、「一、たくさり　此雀がたしやらこうか筆の

あととす　今たかふ所なし」と紹介があり、雀形馬印について一致する。以上のことから、調査範囲を含むこの周辺で室町時代の田鎖牧が展開していたことはほぼ間違いない事実であろう。

3　平泉期の居館

田鎖11期に設定した平安時代後半（12世紀）には、２重の堀で囲まれた居館が出現する。このような居館は、岩手県沿岸地域では、現段階では唯一の存在である。今後、同じような居館の存在が明らかになる可能性もあるが、その際にはこの分析が指針となるものと考える。

（1）構　造　分　析

堀は、深さ約２m、最大の上幅約８m、断面逆台形の大規模なものである。「コ」の字形に延び、検出した総延長は約180mで調査範囲を超えて北へそれぞれ延びていると想定される。平面形は完全な方形とならず、西側は緩やかな膨らみを有する。西側には外堀と考えられる堀があり、部分的に２重堀の構造であるとみられる。また、内堀の東西の距離は約１町であることから、１町四面の略方形か多角形居館の姿を想起させる。堀の付随施設として、堀東辺、西辺内側には土塁が築かれていたものと考えられ、南西コーナーには土橋が架かり、南東コーナーには木橋が存在したようである。堀内部には掘立柱建物や竪穴建物、井戸などがあり、居住要件を満たしている。掘立柱建物１は四面庇付建物である。ただし、１間分の庇ではなく、半間分の庇が全周する特徴を有する。この平面形態は12世紀後半より増加する形態のようである（八重樫忠郎氏よりご教示）。内堀外部にも12世紀の遺構は広がるが、南東コーナーの木橋に向かうように延びる道路側溝や祭祀がおこなわれた溝など性格を推定できる遺構もあり、内堀外部も居館の一部として機能していたと考えられる。

（2）成 立 と 終 焉

居館の年代観を捉えるには、出土した陶磁器の編年観を対照することが最も有効である。居館は遺構・遺物から12世紀後半に機能したことが考えられるが、成立と終焉については詳細な遺物の編年から判断せざるを得ない。調査で出土した最古段階の陶磁器は、12世紀前半に比定される太宰府編年Ⅱ類の白磁碗である。同時に遺棄されたと考えられる大鎧の小札も11世紀後半から12世紀前半の年代が想定されるが、同時に遺棄された別個体の白磁碗は12世紀後半頃のものである。すなわち、手元にあった12世紀前半のものを、数十年後の12世紀後半に遺棄した状況を示している。これらの出土した遺構は居館中心域から外れているが、居館の始まりが12世紀前半頃まで遡る可能性が考えられる。居館の終焉を示す遺物は、12世紀末～13世紀初頭の陶磁器が認められた。これは１点の渥美産陶器鉢である。加えて13世紀前半頃の遺物は皆無である。したがって、現段階では居館の終焉を12世紀末～13世紀初頭であると想定される。一方、堀など居館に伴う出土遺物の時期的なピークは12世紀後半である。居館は文治五（1189）年の平泉滅亡前の３代秀衡～４代泰衡期に盛行するものと考えられる。

（3）機 能 と 性 格

この有力者の持つ権限がすなわち居館の機能・性格を示すものと考えられる。機能・性格を考える際、遺構・遺物から浮かび上がるのは、軍事・生産・交易の３つの側面である。堀を持つ居館であることから地域支配の拠点であり、それ相応の人物が居すると考えるのが妥当である。さらに、居館の構造や出土遺物からみて平泉と似通った遺構の存在や平泉と同質の陶磁器類保有は政治や物流に影響

第 395 図 居館想定図

力を持つ有力者を想像させ、武器・武具類・馬具の保有は軍事面でも一定の力を有していたと考えられる。なおかつ鉄製小札はストック品と想定されることから、当地で大鎧が甲冑師によって組み上げられていたことを示唆している。同様に弓削刀子の存在は、当地で弓師の手による弓製作がおこなわれていたことを示唆しており、鉄製小札とともに武器や武具製作をも担う各種工人集団を内包した勢力であると推測される。また、和鋏や毛抜など化粧道具から男性のみならず有力な女性の存在が示唆され、政治や軍事において地域を牽引する単身の人物ではなく有力一族の存在を考えることができる。では、どのような要因でこの居館が誕生するに至ったのだろうか。岩手県沿岸地域において12世紀の遺跡は数少ないが、少なくとも12世紀の遺物を拾い出すと、南から広田湾、釜石湾、大槌湾、山田湾といった湾に近い場所で確認される。沿岸地域では田鎖車堂前遺跡以外で遺物がまとまってみられるのは、大槌湾に面する釜石市川原遺跡である。そして、山田湾の北に位置する宮古湾周辺が最も多くの遺物が認められる。このことは、12世紀、宮古湾が太平洋上航路で重要な寄港地であったことを物語っている。言うまでもなく岩手県沿岸地域において遺構・遺物ともに最も多くの成果がみられる田鎖車堂前遺跡は、やはり洋上交通の重要拠点として機能していたことにほかならない。宮古湾以北では野田村で12世紀の遺物が確認されている。また、青森県八戸市も寄港地の要件を備えていると思われる。太平洋から平泉への物資の運搬は、石巻湾から北上川を遡って物資が運ばれると想定されている。平泉の繁栄には北方交易から得られる品物の果たした役割は決して小さくなかったと考えられている。北方交易の主要品目には、猛禽類の羽や海獣類の皮革などが知られており、当然北海道との物流を現実的な動態として捉える必要がある。近年、青森県平内町白狐塚遺跡で水沼産陶器片がみつかり、北海道厚真町宇隆Ⅰ遺跡出土の陶器甕が常滑産であることが確認された。いずれも12世紀代の経塚に類する遺構であった可能性が考えられ、平泉が主導したであろう北方交易が考古学的により現実味を帯びてきた。このような物資の往来に田鎖車堂前遺跡の居館も重要拠点の一つとして寄与したものと推測される。しかし、それだけで居館が設置されたわけではなく、もう一点重要な要素として生産分野を挙げたい。結論を急ぐようだが、田鎖の地における生産分野で重要視したいのは、鉄生産と馬産である。鉄生産は、豊富な砂鉄資源をもとに古代より宮古地域で盛んであったことはこれまでの調査・研究で明らかである。実際、田鎖車堂前遺跡では、居館東側外区において12世紀の多種多様な鉄製品が出土した。しかし、鉄生産に関わるこの時期の遺構は認められない。しかし、長沢川を挟んで東には松山館跡など周辺では、この時代の鉄生産遺跡も確認されつつある。馬歯の出土は馬産を考えるうえで重要である。

堀を有している居館を保持し、鉄製の武器・武具が認められることから当主の武人的な性格を考える必要がある。特に大鎧の小札や、馬具の出土は上級の騎馬武者を想定する材料の一つである。

（4）平泉との関係

遺構・遺物からみて平泉との関係は希薄ではないと考えられる。居館のあり方をみると、平泉との関係性を無視することはできない。また、宗教的な側面においても藤原氏と共通の価値観を有していると考えられる。これは田鎖館跡調査区に隣接する尾根上に経塚の可能性が考えられる塚が存在することである。奥州藤原氏に関連する地域では、必ず経塚の存在が認められる。本拠である平泉では、無量光院跡や柳之御所遺跡西方に金鶏山があり、経塚であった。これは西方浄土の思想に基づくものであり、田鎖にある居館と塚も同様の関係であったことを想起させる。発掘調査はできないものの、この経塚の存在は平泉との共通点で重要である。この居館の存続時期が12世紀であることから平泉に藤原氏が拠点とした間に機能しており、存続時期からみて平泉と密接な関係にあったと評価される。

また、居館はほぼ12世紀末を境に機能を停止し、堀が自然埋没する様子が認められる。平泉藤原氏四代泰衡は、1189（文治五）年に鎌倉から攻め上った源頼朝によって討たれ、平泉藤原氏の支配は終焉する。つまり、12世紀後半に平泉藤原氏は滅び、時を同じくして田鎖の居館も機能を停止している。このことは単なる偶然なのか。岩手県沿岸地域では、本遺跡以外に釜石市川原遺跡が同時代の拠点として想定されている。川原遺跡では遺構が不明ながら、本遺跡と類似する遺物群が出土している。しかし、この遺物群を概観すると、12世紀後半のものが主体的であるが、13世紀に帰属する遺物も一定量含んでいる。すなわち、川原遺跡は平泉滅亡後もしばらく拠点として機能していたと考えられるのである。このような差が生じる要因は、鎌倉方に安堵された拠点、安堵されなかった拠点が併存していたものと推測される。平泉藤原氏血縁内部においても、比爪氏のように鎌倉方に寝返り、所領安堵された例もある。事実、比爪氏の拠点である比爪館においては13世紀以降の遺物も認められる点は注目に値する。このように戦後の安堵関係からみると、本遺跡で12世紀に機能していた居館は、現段階では安堵されなかった拠点とみた方が適当である。

第 396 図　平安時代の推定航路と田鎖の地

4　古代の集落

田鎖９～10期に設定した飛鳥～平安時代前半には、竪穴住居を中心とする集落が展開する。竪穴住居は168棟を数え、沿岸地方最多数の住居数であり、岩手県全体をみても非常に大規模な集落であると考えられる。遺跡内での古代的な集落の萌芽は、９期のうち７世紀中葉～後葉頃に求めることができ、終焉は10世紀前半であるとみられる。その間は断続的に集落が営まれるが、９世紀に爆発的な住居数の増加をみることができる。

（1）集落と土器

竪穴住居は方形を基調とするこの時代に通有の特徴を有している。１辺ないし複数辺にカマドが設置され、煙道・煙出しによって外部へ排煙される構造である。大半の竪穴住居には柱穴が認められないが、ごく一部の大形の住居床面には規模の大きな柱穴が配されている。

９期とした飛鳥・奈良時代の住居は低地に近い調査区東側に展開し、カマドは単体で北西方向に築かれる例が多い。この時期における調査区東側は住居が少なく、その代わり墓壙が一定数占地する。したがって、９期は西半に散在する居住域に東半の墓域がセットとなる可能性が考えられる。

10期の平安時代に入ると、住居数が多くなり、９世紀前半の拠点集落という様相となる。この時期は北西から北向きにカマドが構築され、多くは作り替えのない単体のカマドである。比較的大きな住居が含まれることが特徴として挙げられる。その後９世紀半ばを過ぎると、さらに住居数が増加し、特に調査区西側ではかなり密集して検出されることを考えると相当新陳代謝が高まった時期であると思われる。同時に、丘陵上の田鎖館跡にも多くの住居が展開するため、地域内での動向が活発化しているものと考えられる。10世紀に入ると居住域はやや縮小し、住居数が減少に転じる。10世紀中葉以降は、遺構・遺物そのものが認められない。

出土した古代の土器を概観すると、岩手県沿岸地域の一般的な集落とは土器様相が異なることを指摘しておきたい。むしろ内陸の様相に近い。ここでは通常岩手県沿岸地域では認められない土器について例を挙げる。

９期の土器は遺跡内において比較的出土量は少ないが、在地の特徴を有する土器に混在して見慣れない土器がある。土師器高坏の中に円柱状の脚部を持つものが数点存在する。これらは宮城県域で多くみられる特徴である。宮城県域では脚部に透かし孔を持つタイプと持たないタイプがあるが、ここでは透かし孔のないタイプの高坏が出土している。胎土も非常に精良で在地ではみられないことから南からの搬入品であることが想定される。それとは異なり、土師器甕などは在地特有の形態のものが圧倒的に多い。さらに、この時期の須恵器が散見されることも特筆される。８世紀代の須恵器坏や大甕は、現段階では県内で焼成された事実がないことから、近くても宮城県域で生産されたものが移入されていることがわかる。また、より遠隔地である湖西窯の須恵器平瓶が出土したことは、この地域と直接ないしは間接的に繋がりがあったことを窺わせる。円柱脚部の土師器高坏を多く擁する牡鹿地方では、横穴墓の副葬品として多量の湖西窯産須恵器が用いられる。このような地域と密接な繋がりを経て遠隔地の器物が搬入された可能性が考えられる。すなわち、これら土器の動きは三陸沿岸地域の南北交流の結果とみるべきかもしれない。

10期になると、胆沢城・志波城などの設置に伴い、岩手県内でも内陸地域で須恵器生産が開始される。その結果、岩手県内陸地域では土師器のロクロ化も進む。この転機が田鎖の地にも少なからず影響をもたらしている可能性が考えられる。ちょうどこの頃、遺跡内でも居住域が大きく拡充することは先述した通りである。土器をみると、９世紀前半の土器の中に内陸地方産のものが一定量存在すると想定される。これは岩手県沿岸地域ではほとんどみられない現象である。特に、９世紀第２四半期頃とみられる底部回転ヘラ切りの須恵器やロクロの使用された土師器甕の存在は地域的にみて異様である。また、須恵器大甕の中に瀬谷子窯跡産のものが含まれている点においても胆沢城との関連が看取できる。しかし、通常の甕類においては在地色が色濃いことから在地の集団が何らかの由縁で胆沢地方と繋がりを持つに至ったものと解釈される。このことは９期においては宮城県沿岸地域との関係性がみられるが、10期になると岩手県内陸の胆沢地域との関係性が目に付くようになる。この集落を支える集団の出自や動向と関連があるのかもしれない。

（２）一　片　の　瓦

土器以外では、一片の瓦が出土したことが注目される。古代の瓦の出土は岩手県沿岸地域では初例である。たった一片の瓦ではあるが、これが多くのことを物語る。今一度瓦の特徴を挙げると、瀬谷子窯跡で焼成されたものであり、その特徴から胆沢城の創建期のものに近い特徴である。なおかつ、焼成時の不良品であることが観察から得られた情報である。では、なぜ、どのようにしてこの瓦がこの地で発見されるに至ったのだろうか。ここからは推測を交えて見解を述べたい。瀬谷子窯跡は、胆

沢城に供給する須恵器や瓦を焼成する、言わば岩手県で操業した最初期の官窯の一つである。瀬谷子窯は胆沢城の対岸に位置する。前項でも述べた通り、瀬谷子窯跡産の須恵器大甕が出土している。このような製品は、田鎖の地にもたらされるルートは水運に他ならないと考えられる。瀬谷子窯跡から北上川ほとりまで搬出された製品は船積みされ、北上川を下り、太平洋へ出て北上し、宮古湾へ至り、田鎖の地にもたらされると想定される。この北上川岸でも船積みの過程で、不良品である瓦が使用されたと推測する。つまり、大甕のような大形で丸底の容器は不安定である。ならば逆位に積めば安定しそうなものであるが、仮に内容物が甕の中にある場合は逆位の設置は不可能であろう。正位に船積みされる場合、底部に詰め物が必要となる。この詰め物・支えにこの不良品の瓦片が使用されたのではないだろうか。このような焼成不良品は、窯近くでのみ存在するもので、窯から遠く離れた地には移動しないことを前提に考えると、船積みあるいは船着き場までの間に転用されたと推測できる。瀬谷子窯近くで不良品が容易に利用できる工人らが船積みに関与し、最終的に田鎖の地に移動したと解釈され、このことから官窯から直接的に閉伊地域の有力集落に搬出された事例が浮かび上がる。この田鎖集落が９世紀前半の閉伊地域において重要な拠点集落の一つであったと述べることができ、この一片の瓦はそれを裏付ける遺物の一つであると考えられる。

（３）水 辺 の 祭 祀

集落内では祭祀遺構が存在することから水辺の祭祀がおこなわれていたと考えられる。祭祀遺構の時期は出土した多量の土器細片から９世紀代であると考えられる。どのような目的で、どのような祭祀儀礼が執りおこなわれたのか調査から判断するのは難しい。いずれも推測の域を出ないが、遺構の調査によると水が関わっていたのは確かである。遺構は溝部と礫敷きの落ち込み部に分かれる。溝部を通じて落ち込み部に集水される仕組みであると想像できるため、落ち込み部は貯水部と呼んでもいいのかもしれない。また、集水と同時に排水も溝部によって可能となる。つまり、水は貯水部と言いながらも流れる状況が作り出されていたものと考えられる。祭祀儀礼の中心域は、より手の込んだ貯水部であると思われるが、流水を作り出すことで汚濁した水ではなく、清浄な水がこの貯水部にある状況が創出されたのであろう。底面の礫敷きは、この澄んだ清浄な水の中で可視化されていたのかもしれない。土器細片は底面礫敷きの隙間に密着するようにあり、水の中で静かに沈んでいったものと考えられる。鉄製品の下位にも土器細片が蔓延っていたことから、その最終過程で鉄製品が投げ込まれたのかもしれない。鉄製品は刀と農耕具であることから、農耕儀礼の可能性も考えられる。一連の祭祀行為をまとめると集水、土器の破砕と廃棄、鉄製品の廃棄の過程が想像できる。また、その後直ちにその箇所に住居が築かれないことを考えると自然埋没していったものと考えられる。

（４）集 落 成 立 前 夜

時代が前後するが、古代の集落が形成される以前について少し触れる。先述したが古代の集落形成は７世紀後半頃であると考えられ、直前の様相は明らかではない。これは相当する時期の遺構が皆無であり、遺物が少量であるためである。しかし、７世紀前半以前の遺物は、他地域からのもので占められている。より正確な時期が特定されるのは、１点の須恵器坏蓋である。器種は飛鳥藤原京分類の杯Hに相当し、時期は陶邑編年ならばTK217段階、飛鳥藤原編年ならば飛鳥Ⅰ段階、新しくみても飛鳥Ⅱ段階までの時期に収まり、６世紀末～７世紀前葉である。この須恵器は岩手県ではほとんど出土しないものであり、他地域からの搬入品である。しかし、東北地方に胎土・色調・調整など類似する資料がみられないため、東北地方以南からのものである可能性も考えられる。

また、埴輪片とした２点は６世紀頃のものである可能性が考えられる。これらは胎土・色調・調整などから関東でもみられない特徴であり、関東以西から紛れ込んだ可能性がある。古墳時代の岩手県沿岸部では久慈周辺の琥珀を求めて人の移動があったと想定されており、これらより西の古墳文化圏の往来に際して宮古湾が寄港地となっていたとしてもおかしくない。さらに、今回出土した出雲産管玉は工人も出雲系であり、やはり古墳時代に予想以上に広域な人の動きがあった可能性を指摘できる。

５　弥生時代の遺物様相

弥生時代における田鎖車堂前遺跡は、遺構が乏しいものの比較的豊富な出土遺物がある。弥生時代は遺跡の形成過程で重要な時代である田鎖７期として設定した。ここではこれら出土した弥生土器および磨製石器の分析を通じて弥生時代の様相を考察する。

出土した弥生土器は概ね中期から後期までのものが多数を占め、特に中期がこの遺跡における弥生時代のピークであると考えられる。今回出土した弥生土器の帰属時期は、岩手県における弥生中期の編年基準である石川日出志が提唱する川岸場段階に相当すると考えられる。器種の不足が顕著であり、高坏などが少ない傾向である。この時期の弥生土器について地域的な様相は不明瞭であるが、出土した土器の中には岩手県内陸地方の特徴とある程度の共通性が認められる。しかし、今回の出土資料には他地域からもたらされた土器が多く認められ、広域な交流を示している。多く目に付くのが、東北地方南部の土器である。おもに宮城県域から福島県域のうち仙台平野から阿武隈川流域の土器群である。枡形囲式（中在家南式含む）・十三塚式・桜井式などと呼称される土器群である。壷類が多くみられ、精緻な沈線による文様が展開する。文様は矩形クランク、同心円（楕円）などが特徴的で、出土資料は胎土に海綿状骨針が多く含まれる例が多い。さらにこれらと文様等で関連性の高い南御山２式や川原町口式など会津地方から搬入された土器もわずかに含まれている。東北地方北部では津軽地域との交流を示すように田舎館式・垂柳３式なども認められる。秋田県域の宇津ノ台式は沈線による重菱文が特徴的であるが、わずかに出土しており、日本海側との交流も視野に入れる必要がある。すなわち、東北地方全域の土器がみられ、流通や文化交流の盛んであったことを示唆している。なおかつ、これらの地域の多くは稲作文化圏であり、稲作文化との接触があったようである。これは次に紹介する石器にも現れている。

今回の調査で出土した磨製石斧の中に弥生時代の大陸系磨製石器が含まれていることが判明した。大陸磨製石器とは、一般的に柱状片刃石斧・扁平片刃石斧・太形蛤刃石斧などの工具、石包丁のような穂積具を加えた石器を指し、稲作文化の受容とともに半島や大陸などから列島にもたらされたとされる。今回出土したのは、上記のうち工具類である。石包丁は出土していないが、稲作文化圏との交流を示す遺物である。これらの中には、いわゆるアオトラ石と称される石材を用いた製品がみられる。これらの大半は擦り切り技法によって作り出されている。アオトラ石は、北海道日高地方の沙流川の支流である額平川上流で産出する緑色岩で、適度な硬度と粘りがあることから磨製石斧の石材として北東北でも多く消費されている。北海道の石材を用いて稲作文化圏の象徴的な遺物の一つである大陸系磨製石器が製作されたと想定される。石包丁の出土が認められないのは非常に示唆的であるが、弥生時代中期の田鎖地域は遠隔地との交流が活発であったことを示している。

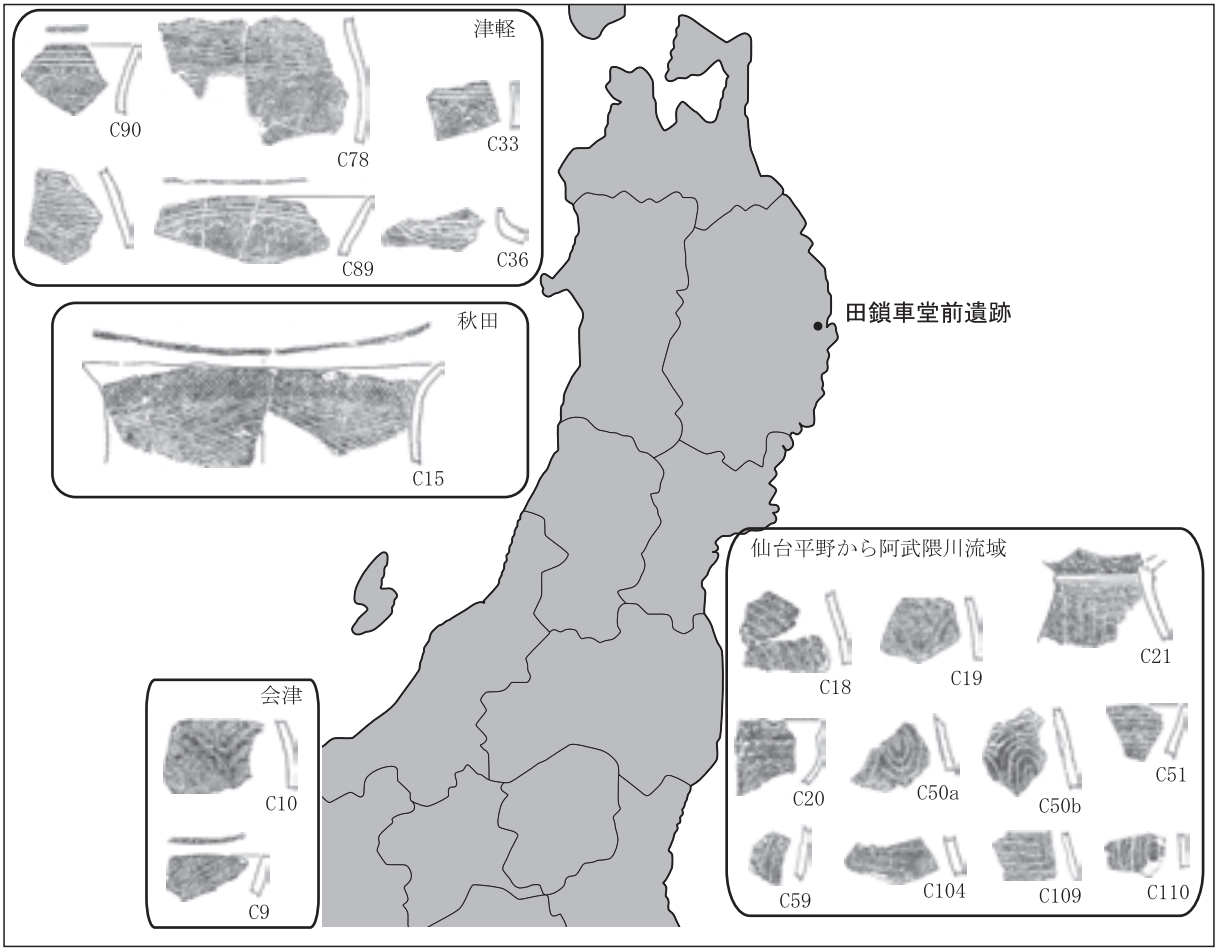

第397図　各地から搬入された弥生土器

6　縄文時代中期の様相

縄文時代中期は比較的長い期間営まれた集落であると考えられる。出土土器では、大木8a式～大木10b式に至るまでの期間である。しかし、大木８式段階の確実な竪穴住居はほぼ認められず、大木9a～10a式の竪穴住居が大半を占める。しかし、遺物や土器埋設遺構の一部が大木8b式に作られていることを考えると、集落は存在したと思われる。その後の度重なる居住域の整備によってこの時期の遺構が失われた可能性も考えられる。また、田鎖３期と田鎖４期の間に配石遺構が展開する。日常と非日常が混在して顕在している点で興味深い事例となった。

（1）住 居 と 集 落

縄文時代中期の竪穴住居の多くは、床面に石囲炉を有する竪穴住居である。多くの石囲炉には前庭部が認められる。形態は円形あるいは楕円形を呈するが、一部長方形の住居も存在する。長方形の住居の石囲炉には前庭部はみられない。大まかに述べると、広義の複式炉から狭義の複式炉が構築される時代である。前者は炉の外側に浅い掘り込みの前庭部を伴うものであり、後者は炉が複数伴うものである。今回の調査では、大木9a式段階で仕切り石によって２分される石囲炉がみられる。

先に述べたように、竪穴住居は分布が限られている。調査区西側の高位面が居住域として利用されている。一方、東側では居住域は展開しない。より低地であるために居住環境として不適当であった

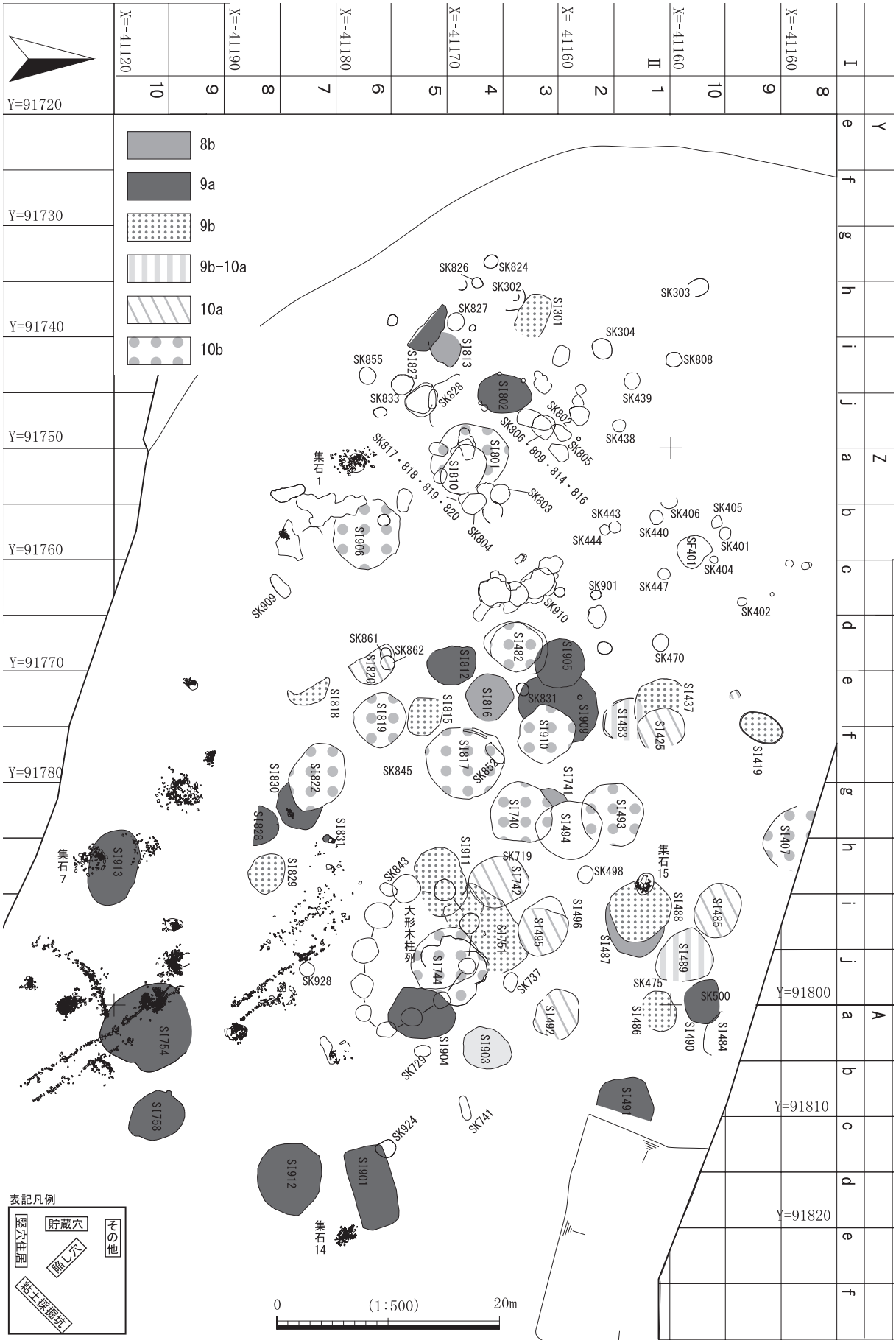

第 398 図　縄文時代の住居時期区分

ものと考えられる。特に東側は氾濫原であるため、当時も頻繁に水が漬いていた可能性がある。居住に与する集落として機能するのは中期中葉から中期末までの期間であり、この頃遺跡東側は低湿地化していたのかもしれない。時期区分による居住域内の大まかな分布は、大木９式段階は中期集落最大の拡張期であり、最も広い範囲に居住域が展開する。次の大木10式段階においては、大きく外側まで展開していた居住域が中心域に集約化され、全体的により狭い範囲で展開するようになると想定される。この段階が集落の縮小期として認識でき、配石遺構など非日常的な遺構もみられるようになる。大木10b式段階にやや棟数が増加するが、後期初頭にはほぼ居住域では無くなっていることが指摘できる。ただし、集落南側の竪穴住居の埋没経過をみると、一部沖積層が竪穴住居完全埋没前の凹み段階に流入している例が認められ、集落が存続している中期後葉から末葉にあっても、徐々に水が浸入するような経験をしているようである。ただし、これは集落の存続をみても明らかなように、一時的な浸水であり、恒常的に一体が滞水するのは集落が断絶する中期末葉から後期初頭の時期であったと推測できる。このような周辺環境の変化が集落の廃絶の一因となった可能性が考えられる。

一方、居住域西側においては貯蔵穴や粘土採掘坑が多く分布するが、各時期を通じてほぼ同じような分布であった可能性が考えられる。貯蔵穴は西側に横たわる低地部分（田鎖遺跡との境界部）に接する範囲では分布が認められないため、縄文時代中期の食料貯蔵および保存施設は住まいとは重ならないような配置であり、なおかつ地盤のしっかりした高位面が利用されていることがわかる。粘土採掘坑に関しても、遺跡のより高位面が利用されている理由は、より下位の田鎖車堂前遺跡Ｘ層にみられる高舘火山灰層を狙っていることが想定され、これを得るためには、より掘削深度の浅いところで到達可能なこの高位面が適地であると考えられる。

（２）集 落 内 祭 祀

遺跡内では縄文時代中期に巨大なモニュメントが構築される。その一つは石を多量に用いた集石遺構・列石遺構であり、もう一つは、大形木柱列と考えられる遺構群である。

集石遺構・列石遺構を総体的にまとめて配石遺構とする。配石遺構は、おもに居住域の南側に展開する。一部、竪穴住居の埋没後に築かれており、後期以降の沖積層に覆われている。このことから時期は中期後葉～末葉までの時間幅が想定される。土器型式で表すと概ね大木9b式～大木10式までの範疇であると推察される。列石は川原石を列状に並べ、要所で石囲いされた立石を伴う。直線的な列石は中世前半の堀で切られているため接続不明ながら、２列平行で構築されている。列石には分岐点があり、弧状的な列石に接続していると思われる。列石の目的は不明であるが、祭祀用通路の可能性も一考の余地がある。一方、集石については集石密度の濃淡があるものの居住域を囲い込むように配置されている。配置として注目されるのが、東西南北の端部にそれぞれ１基ずつ集石が配置されているようにみられる点である。西端は集石１、北端は本来集石と考えられる集石15、東端は集石14、南端は集石７がそれぞれ存在する。当時から大まかな方位は意識されていたものと考えられるが、これら４つの集石はかなり高い精度で東西南北を示すように配置された可能性が考えられる。集石と列石は時期差が想定され、列石が古段階、集石が新段階であると考えられ、列石の欠落部は集石の構築に際して解体され、再度集石構築に利用されたものとみられる。配石遺構の変遷を考えるうえで重要である。遺跡内地山に礫が存在しないため、構築時には閉伊川や長沢川などの川原で採取された礫が使用されたと考えられる。ただし、石組の中心部や集石の中心・縁辺に用いられる花崗岩は西側の山塊や段丘際露頭のものを使用した可能性もある。この祭祀空間が登場するのは中期集落の末期であり、この集落の消長と関連性があるのかもしれない。特に、中期集落廃絶の一因として周辺環境の変化を挙

第399図　縄文時代中期の土器分類（１）

中期中葉（大木８b）

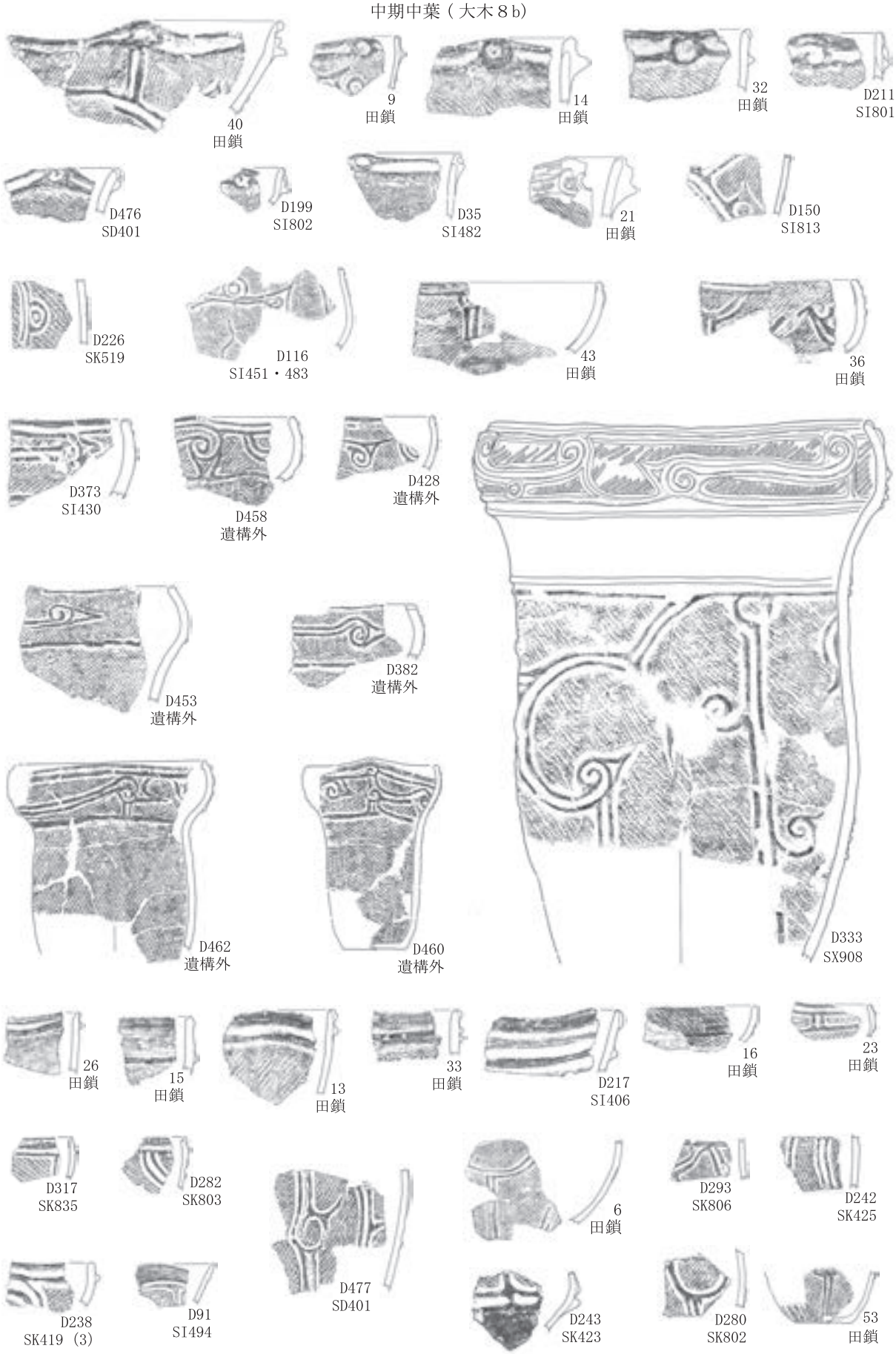

第400図　縄文時代中期の土器分類（２）

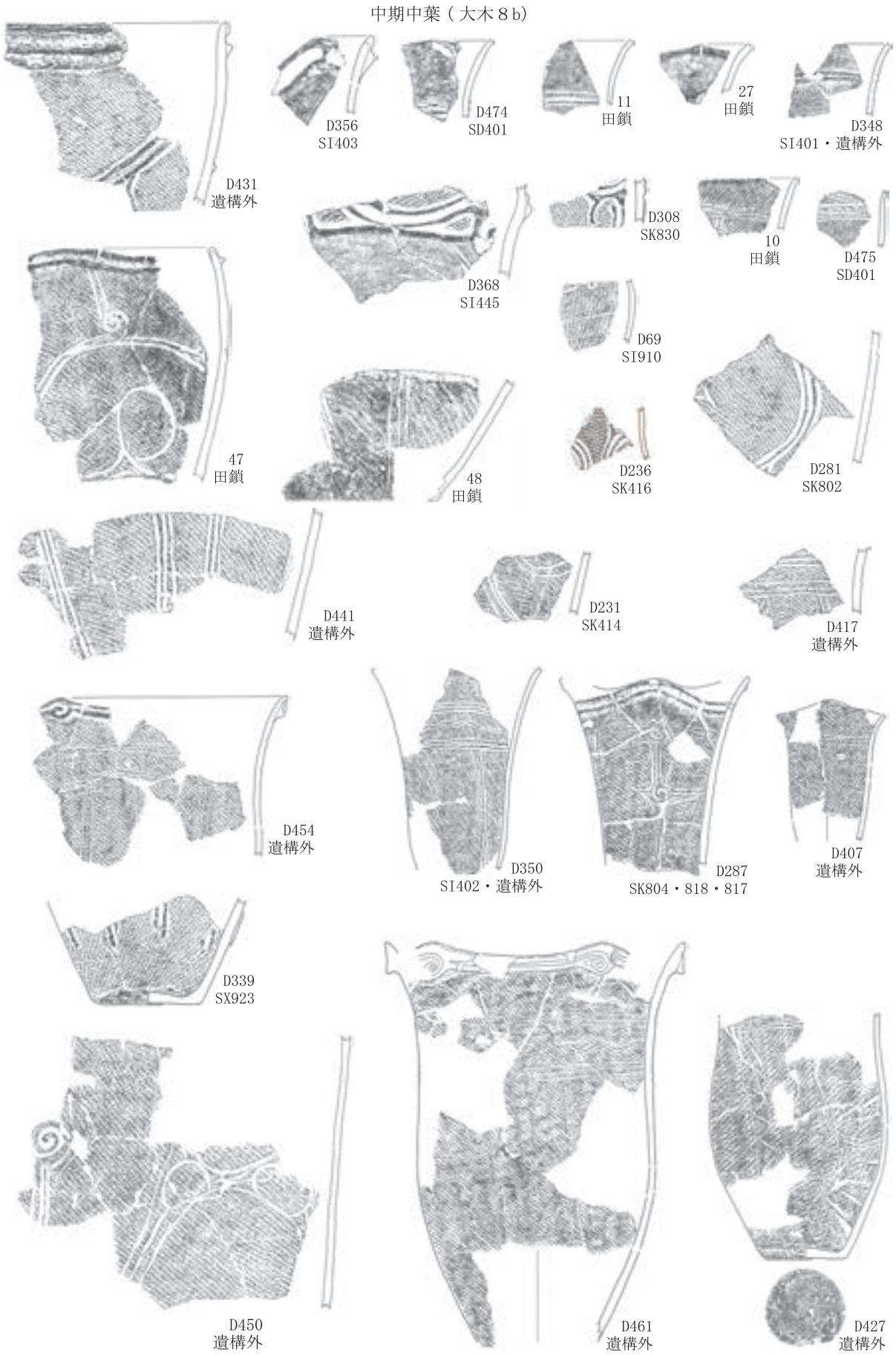

第401図　縄文時代中期の土器分類（３）

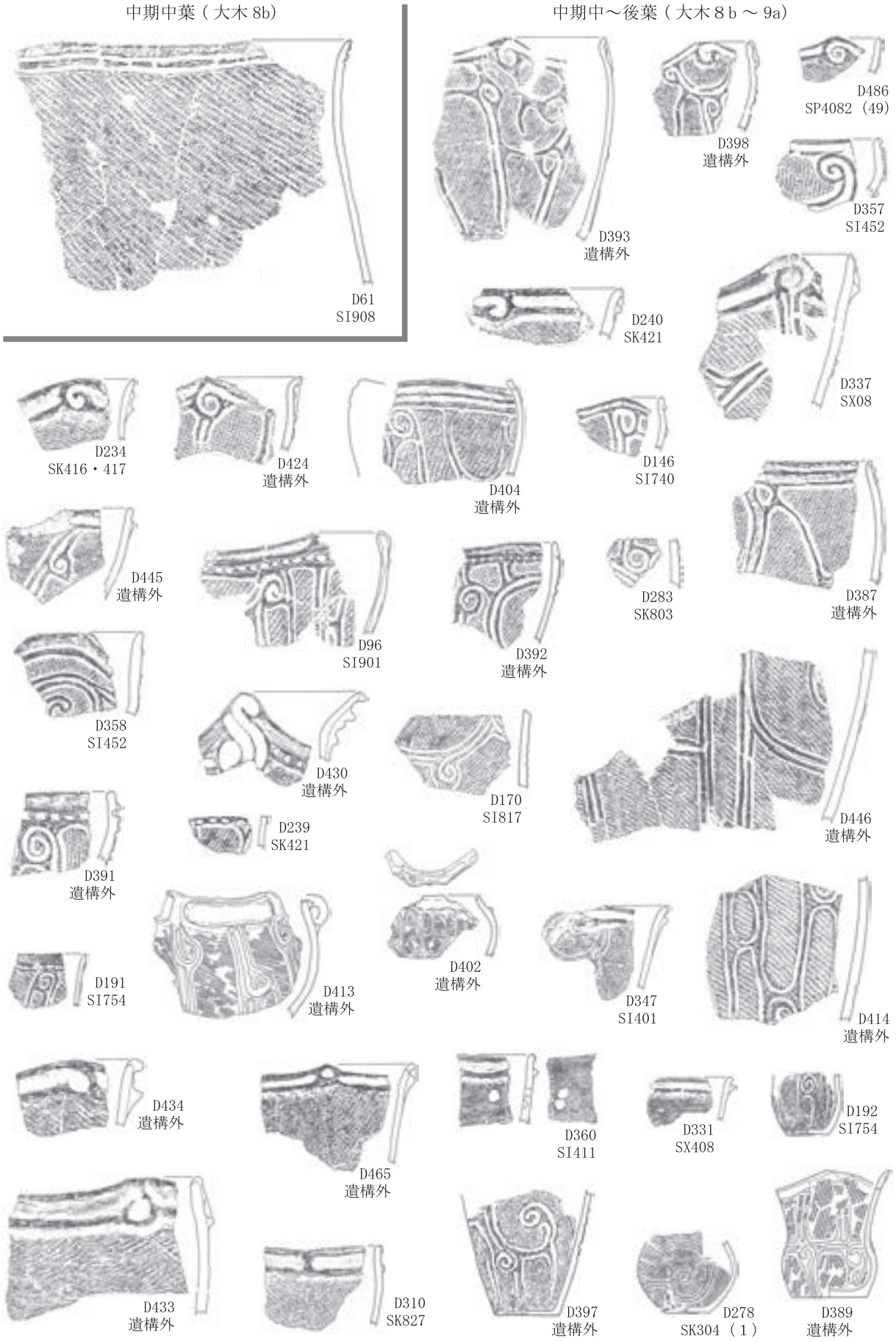

第402図　縄文時代中期の土器分類（４）

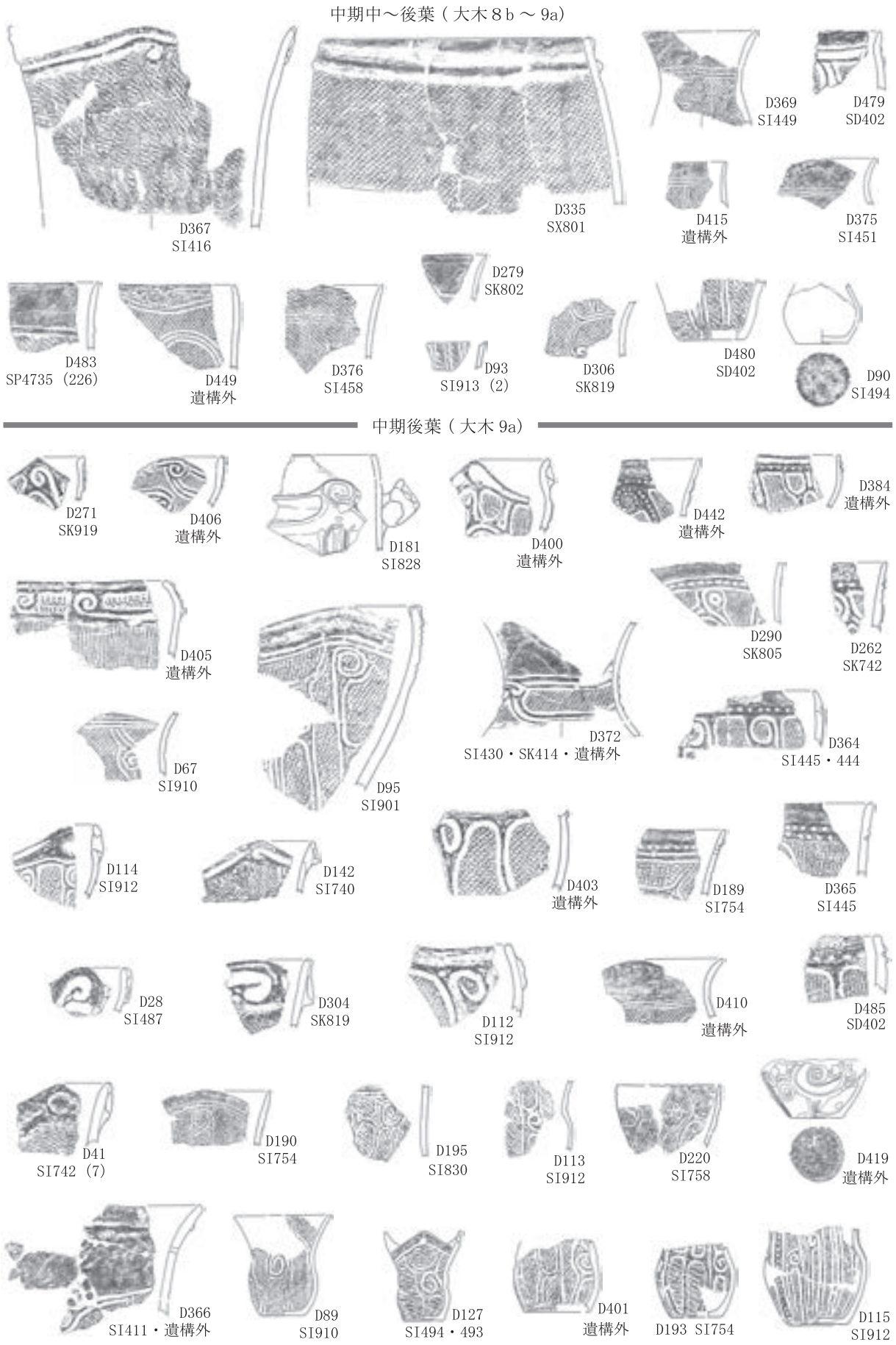

第403図　縄文時代中期の土器分類（５）

中期後葉（大木 9a）

中期後葉（大木 9 b）

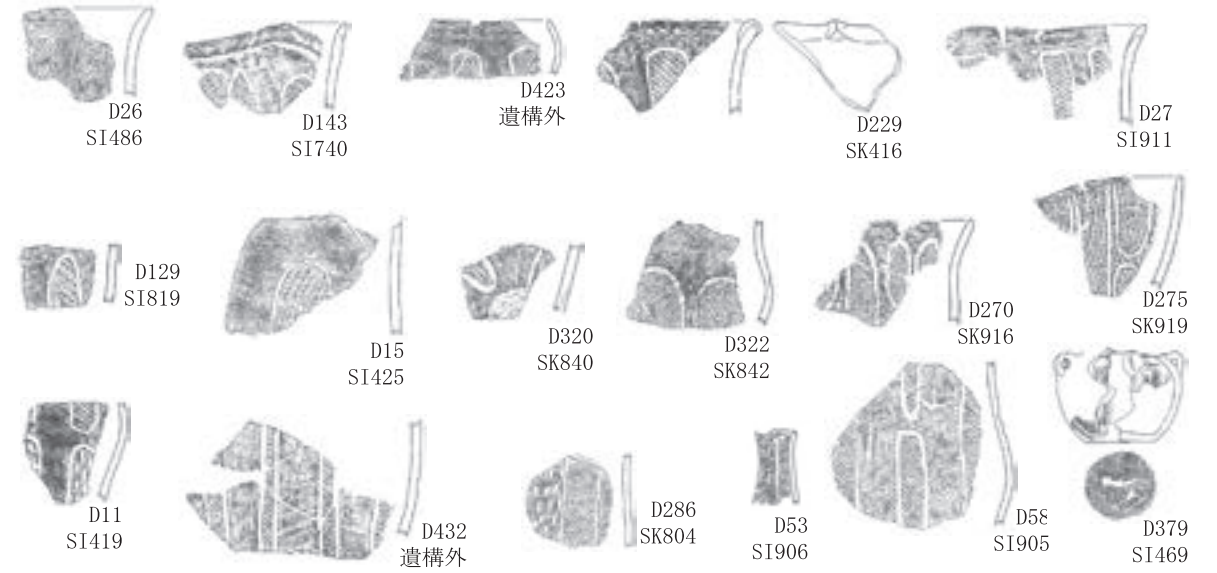

第404図　縄文時代中期の土器分類（6）

中期後葉（大木9a）

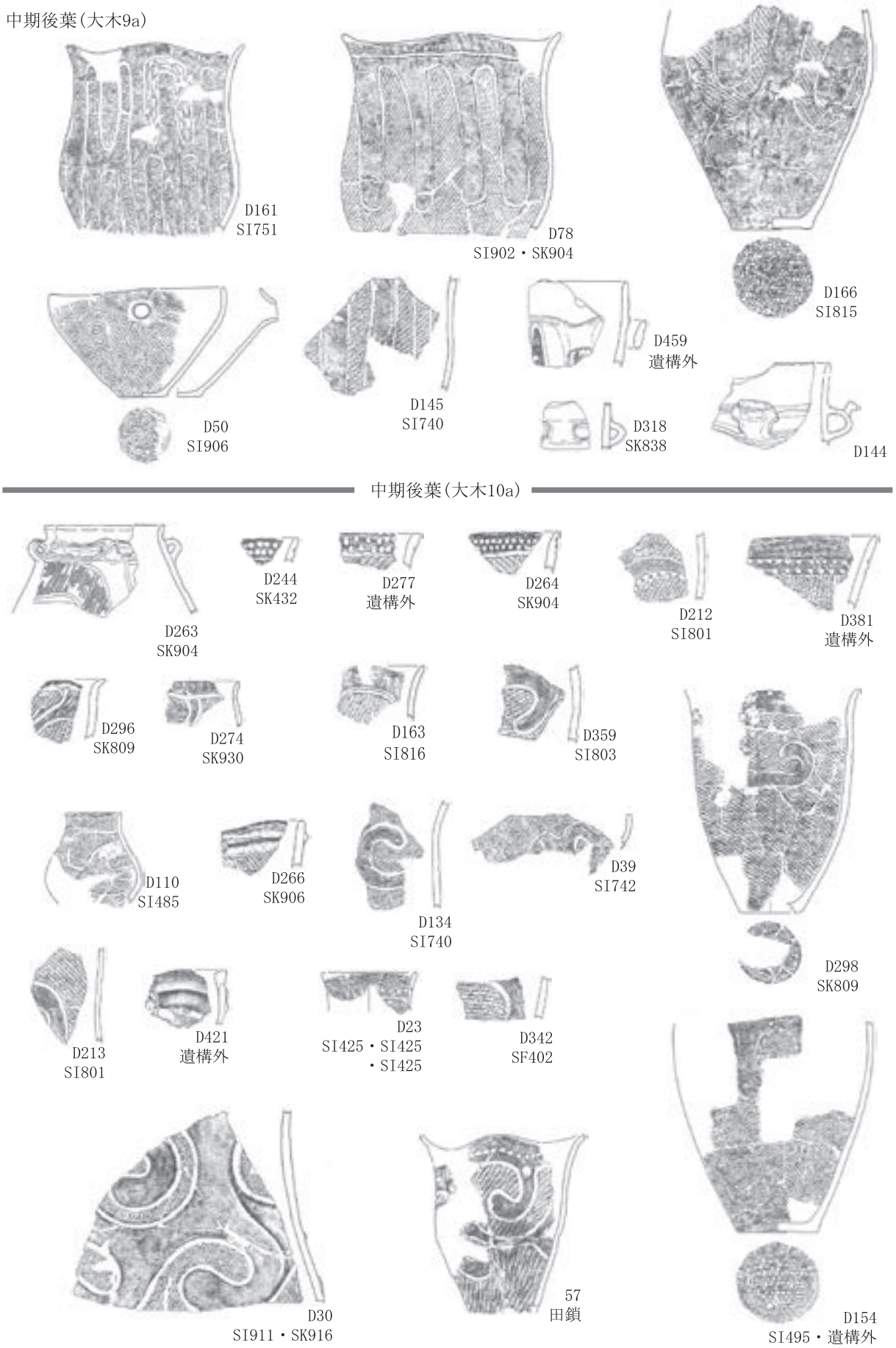

第405図　縄文時代中期の土器分類（7）

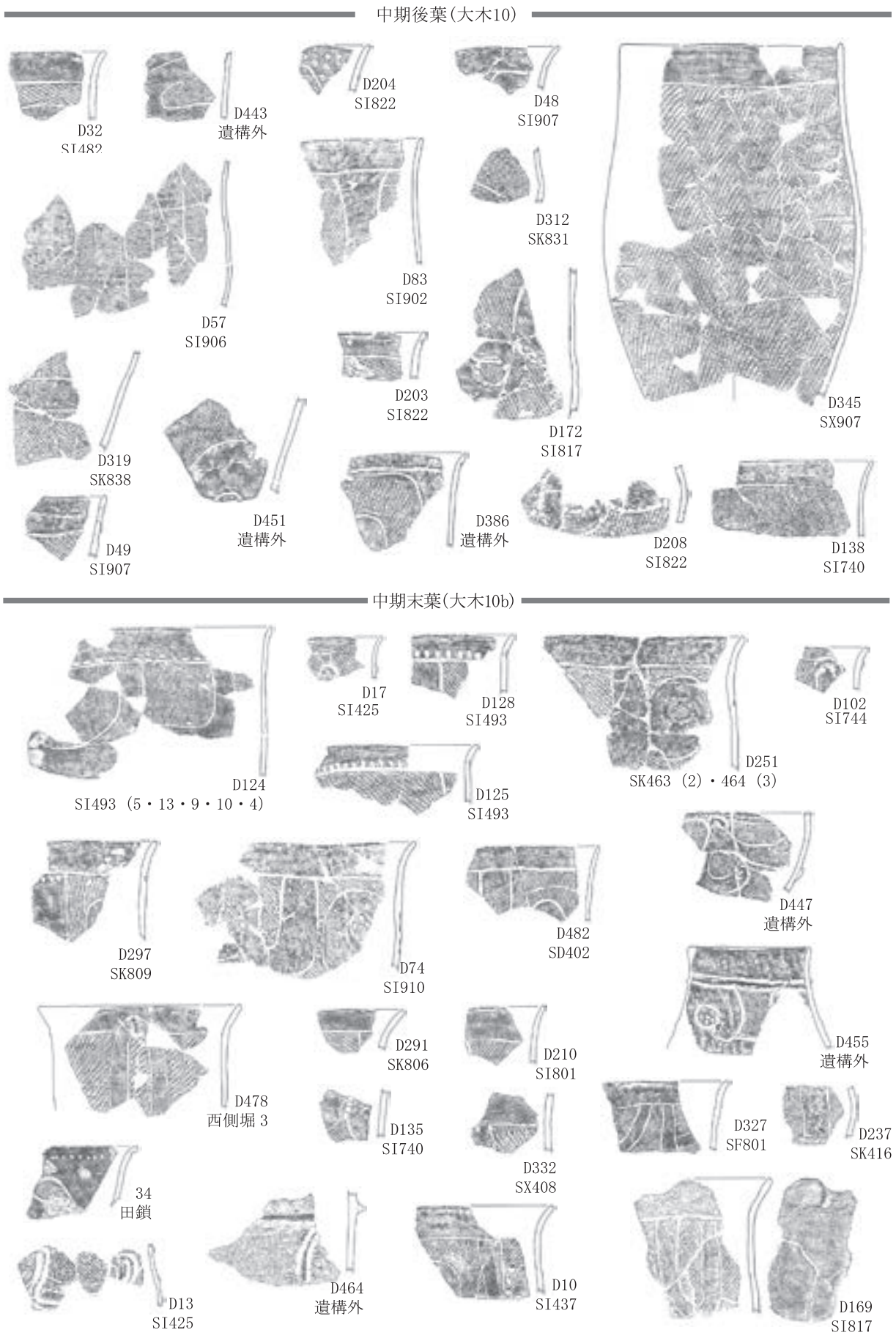

第406図　縄文時代中期の土器分類(8)

中期末葉（大木10b）

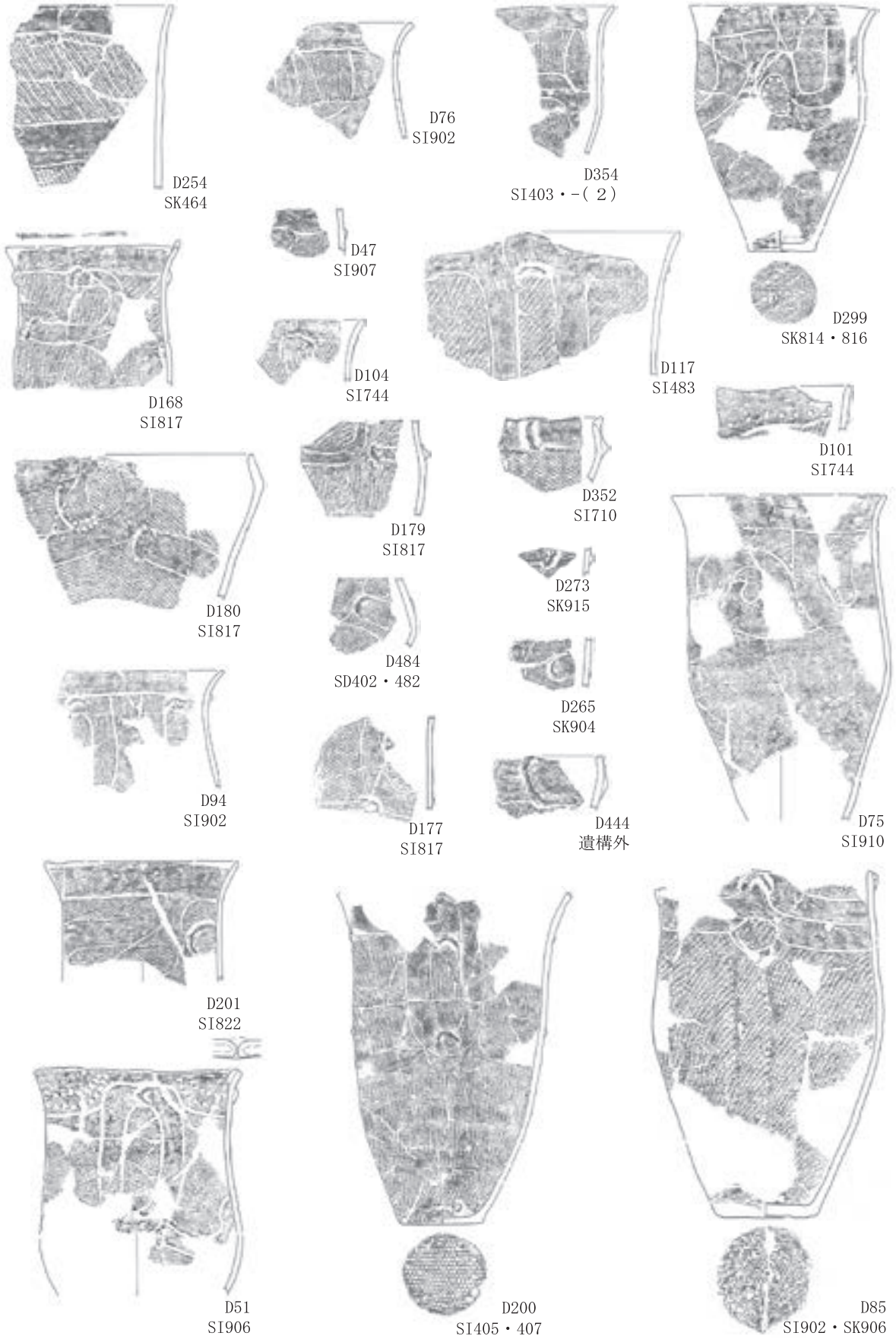

第407図　縄文時代中期の土器分類（９）

中期末葉(大木10b)

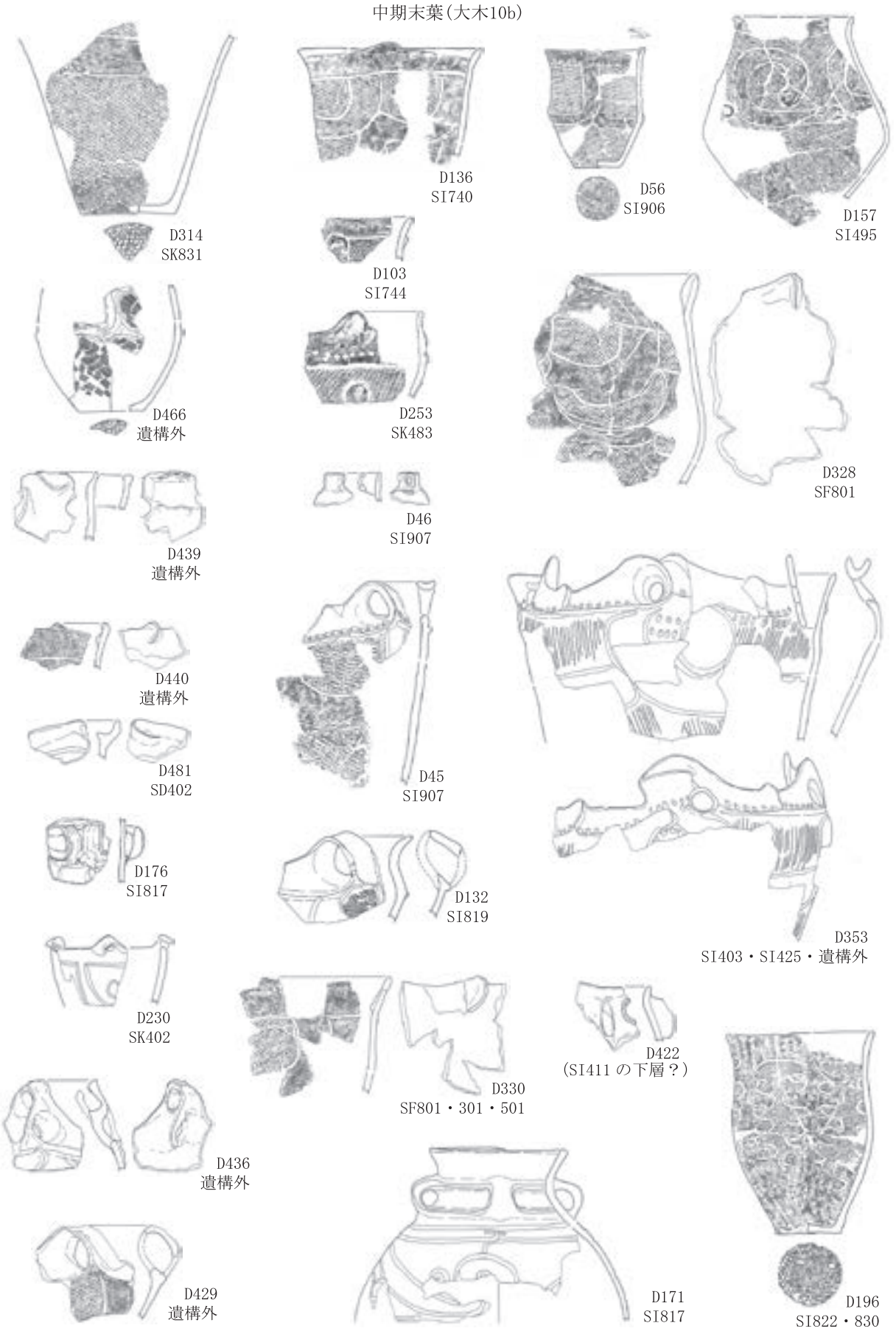

第408図　縄文時代中期の土器分類(10)

げたが、まさにこの配石遺構は、集落内のより低い部分に集中して認められ、沖積層の堆積によって埋没していた状況を勘案すると、この配石遺構構築と浸水被害が関連するのかもしれない。

大形木柱列は、縄文時代中期の集落中心部に位置し、11基の大形土坑で構成されている。これらを平面的位置関係で繋ぐと楕円形を呈する。頂点の１基以外は２基１対の左右対象配置を採っており、それぞれの間隔が短い２基が小規模で、頂点に向かうにつれ土坑が大きくなる傾向である。これら埋没後に縄文時代中期の集落が大きく展開し、一部は竪穴住居によって切られている。これらから時期を絞り込むと大木9a式期より新しく大木9b～10式よりも古い遺構であることが推測され、中期集落の発展段階ににわかに構築され、その後間もなく再度居住域となったと考えられる。一関市清水遺跡で同様の木柱列の調査例がある。平面的な配置等は酷似しており、同じような目的の下に構築されたものと考えられるが、清水遺跡例は縄文時代中期末頃の遺構であり、今回の例とは時期的にも比較的近い。このような遺構は祭祀のための空間と考えるのが今のところ妥当であると思われる。祭祀の内容については不明であるが、集落様相からみて長期間存在した可能性は低いと思われる。

以上のように、配石遺構と大形木柱列とは、概ね時期が絞り込むことができた。縄文時代中期の集落内において、これら特殊な祭祀遺構は集落で居住域が展開する間、大形木柱列が構築され、再び居住域として再生した後に配石遺構が構築されるという時間的な順序が想定される。最終的には配石遺構のうち、列石に乱れが生じ始め、集石遺構へと移行する。まさにその過渡期には徐々に沖積作用が始まり、集落が埋没していったものと考えられる。

（３）土 器 の 分 析

中期の縄文土器を分類すると、概ね既存の編年観に沿って分類すると、量の多寡はあるものの大木８～10式までの土器がほぼ途切れることなく認められる。

大木８式は既存のａ・ｂに分けられるが、8a式に相当する土器は非常に少ない。出土した大木8b式の土器は、地文以外に隆沈線が施される例が多く、隆線は２本１対を基本としている。隆沈線は比較的丁寧にミガキやナデによって表面は平滑である。器形は体部に括れや膨らみを持つもの、体部に括れのないものの２大別できる。大木8b式の土器は比較的多く出土しているが、遺構外やその後の遺構の混入遺物が大半を占める。

大木９式も前半と後半に分け、大木9a式と9b式に分類した。前者は大木８b式の系譜を直接引き、隆沈線や隆沈線でなくとも沈線が大木８式段階の文様に近い特徴を有する。あえて違いを模索するならば、文様構成の単純化と刺突の使用が増加するようである。器形や器種構成も前段階から大きく変化が認められないが、大形深鉢においてキャリパー器形はほぼ認められない。その後の大木9b式段階は、沈線主流の文様構成となり、「U」の字形などに沈線で区画された内部と外部を磨消縄文によって区分されるものが主流となる。器形も単純な器形に収斂し、これまでのような口縁部加飾は極端に減退、体部や頸部の括れは大まかで緩やかになる。

大木10式も前半と後半に２分し、それぞれ大木10a式と10b式とした。前半の大木10a式は大木9b式の後続として、その型式変化を文様および器形に看取することができる。文様はアルファベット形に多様性が認められ、体部上半に区画文が展開する傾向が強くなる。大木10b式になると、一部区画に付随してヒレ状突起も発生する。器形は体部中位からやや下位に最大径を持つ器形に変容する。深鉢の器形が縦に延びるような形態変化である。後期門前式に近い文様構成や器形も認められる。太い沈線によって区画された無文部が体部上半に集中し、一部刺突と隆線が付与されるものも出現する。また、口縁部の加飾が再度盛んになりヒレ状突起は無文帯のうねりが口縁部の突起として型式変化し表

出するようである。器形は前段階から継続する器形のものと上部に向けて直線的に開く形態がみられ、これらの多くで先述した口縁部加飾が施される例が多い傾向である。

7　縄文時代早期末の様相

田鎖２期に相当する縄文時代早期末の遺構は、５棟からなる竪穴住居の存在から居住域として利用されていたと考えられる。調査から推測できる周辺の環境は、遺構面の標高がかなり低いことを考慮すれば、比較的地下水位が低位で安定していたものと推測される。

（１）竪穴住居の構造

縄文時代早期の竪穴住居は調査区西側の最下面で検出された。縄文時代中期の遺構面、さらに中掫火山灰よりも下位の面が生活面となっている。竪穴住居の時代は縄文時代早期末であり、土器型式で言えば赤御堂式の段階である。竪穴住居は全部で５棟確認できた。いずれも検出面からの深さは浅いものでも30cm以上であり、地面を大きく掘り込んで築造されたものと推測できる。床面には不規則無数の柱穴があることから、上屋構造は短期間のうちに幾度となく改変された結果であるとみられる。平面形態はいずれも長方形から楕円形に近く、比較的ロングハウスと呼び慣わされる縄文前期の大形住居に近い形態であった可能性が高い。６mを超える大形住居が多くを占めることから、この時代の住居構造の一端を示すものとして重要な成果である。床面では地床炉がみられる竪穴住居もあり、地床炉が基本であると考えられる。なお、床面の標高が４m台の住居が存在することは重要である。地盤の隆起や沈降を計算に入れなければ、この地域の縄文時代早期末頃は地下水位がかなり低かったことが推測される。縄文時代の気候変動を考えるうえでも非常に重要な調査データとなった。

（２）土 器 の 分 類

縄文時代早期の土器の大半は、比較的大形の竪穴住居から出土したものである。これら早期の土器は縄文が施文された尖底あるいは丸底の深鉢が主体である。その多くは破片であるが、器形や文様の特徴から縄文時代早期後葉～末葉に位置付けられる。岩手県では地域的にこの時期の資料に恵まれておらず、隣接する他地域、南の宮城県域あるいは北の青森県域の編年指標に準じている。特に、まとまりを欠いている岩手県沿岸地域では、八戸周辺で良好な資料群が存在するためこれらの指標を援用することが多い。今回出土した土器の主体は八戸市赤御堂貝塚の資料をもとに長年整備されてきた赤御堂式土器に相当する土器群であると考えられる。これは先に挙げた特徴に加えて、口縁部形態や縄文以外に付加される文様についても、ある程度赤御堂式土器との共通性を見出すことができる。しかし、異なる特徴も多く認められ、これら相違点には地域的な特徴を孕んでいる可能性が高い。岩手県内では珍しく遺構出土で比較的まとまった資料であることから、出土資料の分類および変遷案を簡単に提示したい。

前章の報文でも若干触れたが、今回の出土資料を分類するに当たって第一に口縁部形態に着目した。おもに口縁部の残存する個体を優先して選抜したため、数量的にも恵まれており属性を抽出するのに適している。今回は以下のとおり大きく３形態に分類した。口縁①端部のみが屈曲し、外反あるいは外傾する形態、口縁②大きく緩い曲線を描き彎曲する形態、口縁③直線的に外傾しながら外へ開く形態。これらを同一遺構出土のまとまりでみた場合、口縁①と口縁②の共伴事例が多く、口縁①と口縁③の共伴事例がほとんど認められない。次に器体上半部、おもに口縁部外面の文様帯について大

きく３分類した。なお、隆線の大半に原体圧痕が伴っていることから原体圧痕と隆線は非常に密接な関係があると推測した。同時に可能性のみで留めたいが、隆線の付加されるものは内面に縄文がみられる場合が多く、何らかの関連性が想定される。文様帯①幅の広い文様帯で、縄文は認められないが、区画内に貼り付けの隆線や原体圧痕が配されるもの、文様帯②幅の狭い文様帯で、縄文は認められないが、区画内に貼り付け隆線や原体圧痕が配されるもの、文様帯③縄文の無い区画が存在せず、口縁端部まで縄文が展開するもの、当然原体圧痕は無いが隆線は貼り付けられるものもある。文様帯と付加される文様との関係を考えると、文様帯は幅の広いものから狭いものに変化し、最終的に文様帯が消失する過程が想定できる。この文様帯の有無は、先に示した口縁部形態の別と大きく関わるようである。特に、無区画のものはナデ消し、貼り付け、押捺などの圧力を伴わないため直線的な形態となることが容易に想像できる。次に地文であるが、赤御堂式では貝殻や絡条体による条痕を伴う土器も一定量占めているようであるが、今回出土の土器群ではほぼ認められない。１点のみD566とした土器の上半外面には貝殻による条痕が横方向に認められるのみである。なお、この時期の土器では絡条体による地文のものはみられない。ただし、１点であるがD527のように絡条体圧痕の施された土器が存在するため、絡条体は手元に保有していたことが想像される。さて、これら諸属性を整理して、その特徴的なものを抽出し、変遷図を作成した。この変遷順序については、遺構の切り合いおよび、赤御堂式の変遷過程を意識したものである。図では田鎖最下層第１段階から田鎖最下層第４段階までの区分と変遷を提示した。田鎖最下層第１段階は幅広い口縁部文様帯に、屈曲する口縁部が短く屈曲するものが、古い属性であると考えた。なお、文様帯は幅広であるがゆえに多重の横方向の文様が付加される。次の第２段階は文様帯幅の狭いもので構成される。第１段階と比較して幅が狭いゆえに横方向の文様は少なくなり、多重をあまり採らない。多重となる場合でもその間隔が狭い。また、その装飾性が失われるため口縁部の極端な屈曲はみられず、口縁部形態とも連動する。第３段階は、縄文の無い明確な文様帯がみられないものである。ただし、口縁部に近い上部は体部と縄文の回転方向を変えている。口縁部は直線的に外傾するが、わずかに端部が屈曲するのみである。明確な文様帯がないゆえに隆線や原体圧痕といった装飾が施されない。最後の第４段階は、これらより特徴が異なるD566の１点である。出土遺構も他の早期遺構群からやや離れており、異なる時期の土器である可能性が考えられる。東北北部の早稲田５類段階、南部の梨木畑式段階に相当する可能性を指摘したい。さらに、土器の特徴はより砲弾形を呈する可能性が高いため梨木畑に近いものと想定される。

以上のように、縄文時代早期土器群を整理した変遷案は４段階に分けることができた。前３段階は概ね赤御堂式相当であるが、工藤竹久などが提唱する赤御堂式の古段階・中段階・新段階に、今回示した第１～３段階がそのまま当てはまるとは限らない。あくまでも今回の区分と変遷は、本遺跡出土のものを対象としたに過ぎないためである。しかし、大まかな変化の過程は適合すると思われる。

８　ま　と　め

繰り返しになるが、田鎖車堂前遺跡は縄文～近世に至る長い期間のうち何度もその姿を変え、存続した遺跡である。最後にまとめとして遺跡の変遷を踏まえながら、その特質を描き出すこととする。

この遺跡を評価するうえで遺跡を取り巻く自然環境の変化を無視することはできない。特に、分厚い沖積層の堆積が認められる田鎖６期（縄文時代後・晩期）は湖沼化を経験しており、居住には向かない時代である。この田鎖６期には地域全体の水量が多かった可能性が考えられる。すなわち、海水面の高さも高い状況が推測され、地球規模での気候変動と関連する可能性がある。このようなマイナ

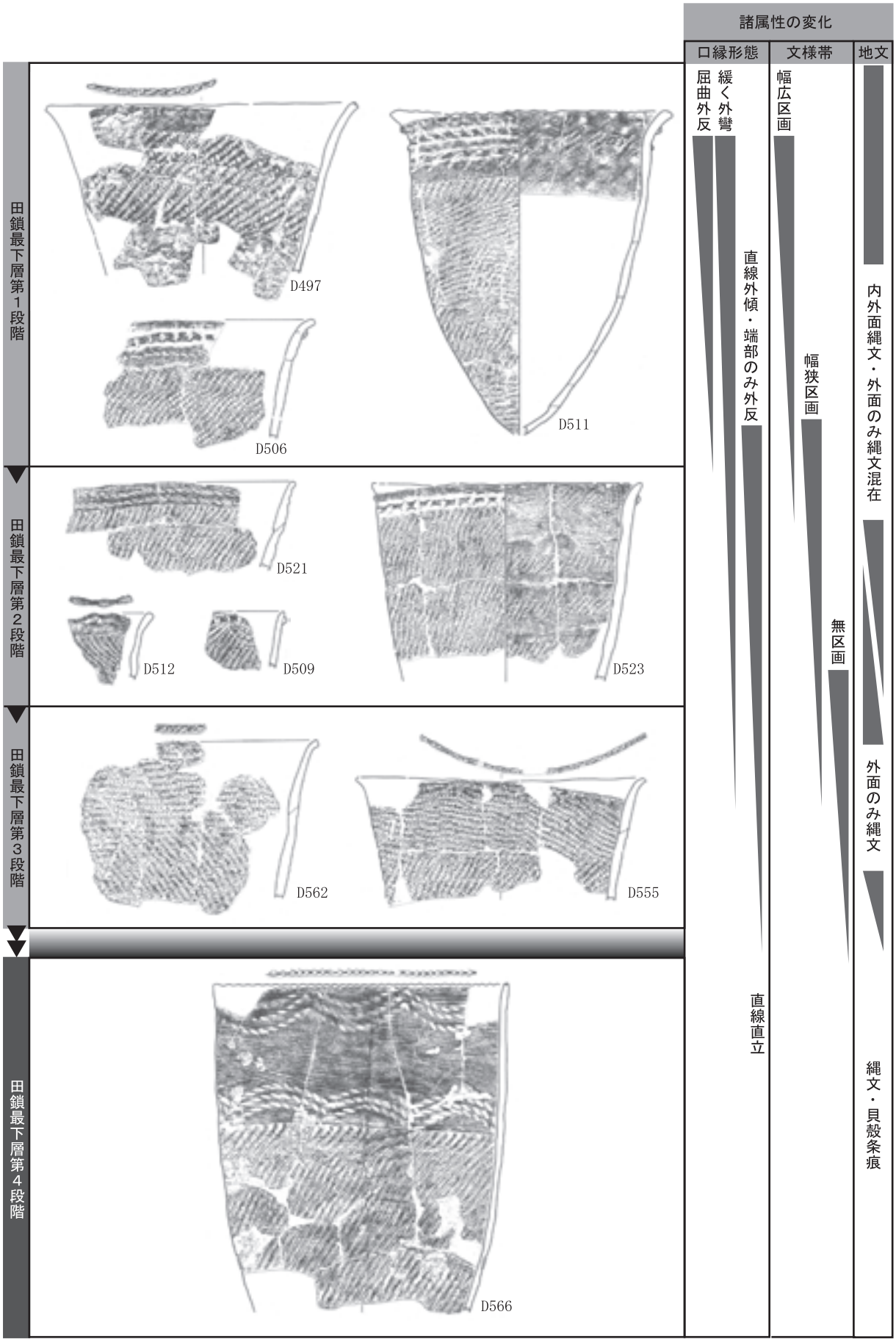

第409図　縄文時代早期の土器分類と変遷案

ス面の多い地形ではあるが、比較的乾燥した時代には、好んで集落が営まれることが今回の調査で明らかになった。特に、集落が拡大する縄文時代中期、平安時代などは好条件が整ったものとみられる。今回の調査により、岩手県沿岸部の数少ない沖積平野は、今後予想を超えるような調査成果が出るポテンシャルを内包しているものと考えられる。

各時代を通じて、各所との交流を窺うことができる遺跡である。では、どのような道筋を辿って田鎖の地に通じたのであろう。遠隔地と田鎖の地を結ぶその大動脈は、いつの時代も太平洋航路であると考えられる。特に、遠隔地からの搬入品が顕著な時代はこの太平洋航路の往来がより活発であったのかもしれない。古くは、弥生時代中期の段階が挙げられる。先に述べたように弥生時代中期においては、東北地方各地との交流が遺物から想定される。特に搬入品の出土量の多い仙台湾および阿武隈川流域といった東北地方南部太平洋側地域と密接な繋がりが想定される。これら地域は稲作文化圏であり、搬入土器とともに大陸系磨製石器が出土することも示唆的である。次に、古墳時代は遺物のみで考えるとより広域な地域との交流が推測される。古代は７・８世紀に東北地方南部太平洋側との交流がみられ、９世紀になり岩手県域に城柵が展開する頃になると、岩手県内陸地域との交流が活発化するように見受けられる。宮古地域を含め閉伊地域は古代鉄生産の一大拠点であるが、田鎖の集落は、鉄製品を豊富に有するが、平野部も尾根上も含め鉄生産に直接関わった形跡が認められない。長沢川を挟んで対岸の松山館跡では盛んに鉄生産がおこなわれており、構造は対極的である。そのコントラストは、「生活の場と生産の場の別」を示している可能性も考えられる。今後の検討課題である。

田鎖車堂前遺跡は、縄文時代中期・古代・12世紀においては、この地域の重要拠点として繁栄したことはこれまで繰り返し述べた。ここでは、その要因を求めてみようと思う。第一に交通の要衝である点である。ただし、この場合舟運を中心に据えないと理解できない。宮古湾から閉伊川を遡るルートが非常に重要な交通路であったことを示している。第二は交通とも関係するが、地形的優位性である。岩手県沿岸地域は起伏に富む地形が連続し、特に宮古以北は深い渓谷と断崖など交通の難所が多い。このような地形環境にあって比較的大きな河川下流域は沖積平野がわずかに広がる。湾や海岸線に接した低地を除くと岩手県沿岸地域随一の平野部である。海に接した平野部は津波の脅威にもさらされる地域であるが、田鎖のような平野部は河川の氾濫リスクはあるが、津波のリスクは低い。

田鎖車堂前遺跡は、これまで茫漠とした岩手県沿岸地方の歴史的空白を埋めるような成果が多く得られた。縄文時代から近世に至るまで、時代を超越して多くの人々が関わり、形成されたこの遺跡は、常に当地方の拠点として在り続けた。このことはこれまで述べてきたように、遺跡を取り巻く様々な好条件が重なった結果である。この好条件とは、田鎖の地が本来有している地域的特質とポテンシャルに他ならない。今回実施された田鎖地区の発掘調査成果は、今後岩手県沿岸地方の発掘調査および歴史研究が進展するために必要不可欠であると考える。

（福島）

引用・参考文献

【中世～近世】

入間田宣夫　2008　「中世東北の馬牧群」『牧の考古学』　高志書院
安田初雄　1959　「中世以前の東北の牧馬」『人文地理』第11巻５号　人文地理学会
宮古市教育委員会　2007　『遺跡から見る宮古の中世-閉伊川流域の城館跡-』第３回ふるさと博物館企画展図録
中世土器研究会編　1995　『概説　中世の土器・陶磁器』　真陽社
八重樫忠郎・高橋一樹編　2016　『中世武士と土器』　高志書院
鈴木康之　「中世土器の象徴性―「かりそめ」の器としてのかわらけ―」『日本考古学第14号』　日本考古学協会

中野晴久　2013　『中世常滑窯の研究』　愛知学院大学大学院博士論文
沢田由治　1974　『カラー　日本のやきもの　13　常滑』　同朋舎
飯村　均　2001　「やきものから見える価値観」『中世土器研究論集』中世土器研究会
藤澤良祐　2001　「瀬戸・美濃大窯編年の生産と流通」『戦国・織豊期の陶磁器流通と瀬戸・美濃大窯製品―東アジア的視点から―資料集』
工藤雅樹　2005　『平泉への道』　雄山閣
八木光則　2016　「平泉期の奥六郡」『考古学論究』第17号（坂詰秀一先生傘寿記念号）　立正大学考古学会
菅野成寛　2004　「奥六郡の関と津」『古代蝦夷と律令国家』　蝦夷研究会編
太宰府市教育委員会　『太宰府』
宮古市教育委員会　『磯鶏館山遺跡』
釜石市教育委員会　2013　「18.川原遺跡」『釜石市埋蔵文化財調査報告書第21集　釜石市遺跡詳細分布調査報告書３―釜石の古代・中世遺跡―』
（公財）かながわ考古学財団　2014　『かながわ考古学財団301集　下馬周辺遺跡』　（公財）かながわ考古学財団
茨城県・財団法人茨城県教育財団　1997　『茨城県教育財団文化財調査報告124集
主要地方道水戸茂木線道路改良工事地内埋蔵文化財調査報告書Ⅱ　仲郷遺跡』　茨城県教育財団
奈良市教育委員会　1989　「平城京左京二条四坊二坪の調査第157次」『奈良市埋蔵文化財調査報告書昭和63年度』
東北中世考古学会編　2001　『掘立柱建物と竪穴　中世遺構論の課題』　高志書院
津野　仁　2011　『日本古代の武器・武具と軍事』　吉川弘文館
津野　仁　2015　『日本古代の軍事武装と系譜』　吉川弘文館
金山順雄　2007　『甲冑小札研究ノート』　レーベック
金山順雄　2008　「発掘された小札探訪（三）丸子館跡出土大型鉄平札／大鎧・梅檀板の片山形冠板-岩手県・北上市」　甲冑武具研究第162集
日本甲冑武具研究保存会
金山順雄・津野仁・佐野良平　2016　「鎌倉下馬周辺遺跡出土鎧の検証と時代考察」　甲冑武具研究第194集　日本甲冑武具研究保存会
豊田勝彦　2012　「武蔵御嶽神社蔵の赤糸威大鎧-その構成部材から見えてくるもの-」『畠山重忠-横浜二俣川に散った武蔵武士-』
横浜市歴史博物館特別展図録　（公財）横浜市ふるさと歴史財団
永井久美男　1996　『日本出土銭総覧』　兵庫埋蔵銭調査会
高島幸男　1985　「遺跡出土の発火具（２）―火花式発火具―」『火の道具』　柏書房
北見一弘　2003　「刀子小考Ⅰ」『市原市文化財センター研究紀要Ⅳ』　財団法人市原市文化財センター
長野県教育委員会ほか　1985　『小山第Ⅱ遺跡』
佐藤浩司　2001　「豊前地域における中世墳墓の副葬品」『中世土器研究論集-中世土器研究会20周年記念論集-』」　中世土器研究会
財団法人北九州市教育文化事業団埋蔵文化財調査室　1987　『長野A遺跡３［Ⅲ・Ⅶ・Ⅷ区（１号溝）の調査］
-北九州縦貫自動車道関係文化財調査報告12-』
九州歴史資料館　2017　『福岡県文化財調査報告書第258集　福岡県営五ケ山ダム関係文化財調査報告書Ⅳ　五ケ山倉谷地区
（尼寺跡遺跡群３・４・６～８区）』
福岡県教育委員会　1997　『一般国道10号線椎田道路関係埋蔵文化財調査報告第９集　徳永川ノ上遺跡Ⅲ
福岡県京都郡豊津町大字徳永所在遺跡群の調査』
福岡県教育委員会　2011　『伊良原ダム関係埋蔵文化財調査報告-２-　伊良原Ⅱ　上伊良原榎木遺跡　上高屋台ノ原遺跡
福岡県文化財調査報告書第229集』
小野正敏・萩原三雄編　2006　『鎌倉時代の考古学』　高志書院
花巻市教育委員会編　1978　「奥南落穂集　閉伊郡ノ次第」『花巻市史（資料篇二）』　花巻市教育委員会

【古墳時代～古代】

田辺正三　1981　『須恵器大成』　角川書店
廣瀬時習　2015　「玉と玉生産からみた出雲」『古代出雲とヤマト王権-神話の国の考古学-』
大阪府立近つ飛鳥博物館平成27年度　春期特別展図録
大賀克彦　2010　「群集墳築造の二つの契機」『遠古登攀-東山昭登君追悼考古学論集-』　『遠古登攀』刊行会
佐藤敏幸　2010　「東北地方における７～８世紀の東海産須恵器の流通」『北杜-辻秀人先生還暦記念論集-』　辻秀人先生還暦記念論集刊行会
八木光則　2010　『古代蝦夷社会の成立』　同成社
辻　秀人ほか　2007　『古代東北・北海道におけるモノ・ヒト・文化交流』　科学研究費研究成果報告書
伊藤博幸　2017　「古代閇村に関する二、三の問題」『古代国家と北方世界』　同成社

【弥生時代】

石川日出志　2004　「弥生時代呼応期天王山式土器成立期における地域間関係」『駿台史学』第120号　駿台史学会
石川日出志　2005　『関東・東北弥生土器と北海道続縄文土器の広域編年』
石川日出志　2012　「弥生時代中期の男鹿半島と新潟平野の遺跡群」『古代学研究所紀要』第17号　明治大学古代学研究所
佐藤祐輔　2015　「各地の弥生土器及び併行期土器群の研究　７東北」『考古調査ハンドブック12　弥生土器』　ニューサイエンス社
日下和寿　2005　「枡形囲・桜井・十三塚式の北限」『岩手県における弥生前期から中期の諸問題-土器型式と地域間交流-』
岩手考古学会第34回研究大会資料集　岩手考古学会
田中耕作ほか　2018　『山草荷遺跡出土の弥生土器―新発田市指定有形文化財（考古資料）―』　新発田市教育委員会

【縄文時代】

小林達雄編　『総覧　縄文土器』　アムプロモーション
海峡土器編年研究会　2006　『縄文時代早期中葉土器群の再検討』　海峡土器編年研究会
芳賀英一　2015　「北の国から―まほろん収蔵アオトラ石製磨製石斧―」『福島県文化財センター白河館研究紀要2015』
公益財団法人福島県文化振興財団福島県文化財センター白河館
斎藤　岳　2016　「北日本の緑色磨切磨製石斧の石材名と製作技法・流通について」『研究紀要』第21号　青森県埋蔵文化財調査センター
林　謙作　1982「縄文早前期の土器　北海道南部・東北地方」『縄文土器大成』１　講談社
工藤竹久　1989「縄文尖底系土器様式」『縄文土器大観』１　小学館
平野　祐　2008「岩手県内縄文時代早期後葉から末葉［表裏状文施文土器類］土器の施文文様について―土器装飾と施文方法の再確認―」
『紀要ＸＸⅦ』（材）岩手県文化振興事業団埋蔵文化財センター
［公益財団法人　岩手県文化振興事業団埋蔵文化財センター発掘調査報告書］
1991　『第158集　上村貝塚発掘調査報告書』
2004　『第435集　九重沢遺跡発掘調査報告書』
2004　『第450集　島田Ⅱ遺跡第２～４次発掘調査報告書』
2008　『第522集　袈帯遺跡発掘調査報告書』
2008　『第511集　賽の神Ⅱ遺跡・賽の神遺跡・下大谷地Ⅰ遺跡・八木沢野来遺跡第１次発掘調査報告書』
2009　『第529集　木戸井内Ⅳ遺跡・隠里Ⅲ遺跡発掘調査報告書』
2010　『第552集　隠里Ⅷ遺跡発掘調査報告書』
2010　『第558集　松山大地田沢遺跡発掘調査報告書』
2014　『第625集　松山館跡発掘調査報告書』
2016　『第659集　木戸井内Ⅵ・磯鶏石崎遺跡』

附編　自然科学的分析・測定

1　田鎖車堂前遺跡土坑内土壌分析

（1）は　じ　め　に

遺構の堆積物の遺体群集や性状を調べることによって、堆積環境や周辺の植生、利用植物、堆積物の生成の由来などが推定復原できる。トイレ遺構等では、寄生虫卵密度、花粉群集組成、種実群集組成において特異性を示し、その遺体群集からヒトが食べた食物を直接的に探ることができる。

宮古市田鎖車堂前遺跡の発掘調査では、12世紀頃とされる直径60～80㎝、深さ40～100㎝の円筒状の土坑が複数検出され、トイレ跡の可能性が想定された。そこで、土坑の堆積物について寄生虫卵分析、花粉分析、種実同定、珪藻分析を合わせて行い、トイレ跡の可能性を検討することになった。

（2）試　　料

分析試料は、12世紀とみられる円筒状土坑（SP47）内の底部より採取された堆積物１点である。

（3）寄生虫卵分析

人、動物などに寄生する寄生虫の卵殻は堆積物中に残存しやすい。人が密度高く居住すると周囲の寄生虫卵の汚染度が高くなる。また、トイレ遺構等の糞便の堆積物では寄生虫卵密度が高く、他の堆積物と識別することができ、トイレ遺構を確認することも可能である。さらに、寄生虫の特有の生活史や感染経路から食物を探ることもできる。

方法

微化石分析法を基本に以下のように行った。

１）試料から１cm3を採量
２）0.5％リン酸三ナトリウム（12水）溶液を加え15分間湯煎
３）篩別により大きな砂粒や木片等を除去し、沈澱法を実施
４）25％フッ化水素酸を加え30分静置（２・３度混和）
５）水洗後サンプルを２分
６）サンプルの一方にアセトリシス処理を実施
７）両方のサンプルを染色後、グリセリンゼリーで封入しそれぞれについて標本を作製
８）検鏡

同定は、プレパラート作製後直ちに、生物顕微鏡によって300～1000倍で行った

所見

分析の結果、寄生虫卵および明らかな消化残渣は検出されなかった。このことから、当該土坑の堆積物は糞便の堆積ではなかったとみなされる。

（4）花　粉　分　析

花粉分析は、一般に低湿地の堆積物を対象とした比較的広域な植生・環境の復原に応用されており、遺跡調査においては遺構内の堆積物などを対象とした局地的な植生の推定も試みられている。花

粉などの植物遺体は、水成堆積物では保存状況が良好であるが、乾燥的な環境下の堆積物では分解されて残存していない場合もある。

方法

アセトリシス処理を施したサンプルの沈渣に石炭酸フクシンを加えて染色し、グリセリンゼリーで封入してプレパラート作製、検鏡・計数を行う。

検鏡は、生物顕微鏡によって300～1000倍で行う。花粉の同定は、島倉（1973）および中村（1980）をアトラスとして、所有の現生標本との対比で行う。結果は同定レベルによって、科、亜科、属、亜属、節および種の階級で分類し、複数の分類群にまたがるものはハイフン（－）で結んで示す。イネ属については、中村（1974，1977）を参考にして、現生標本の表面模様・大きさ・孔・表層断面の特徴と対比して同定しているが、個体変化や類似種もあることからイネ属型とする。また、この処理を施すとクスノキ科の花粉は検出されない。

表1　花粉分析結果

分類群		SP47
学名	和名	下層
Arboreal pollen	樹木花粉	
Betula	カバノキ属	1
Nonarboreal pollen	草本花粉	
Gramineae	イネ科	1
Chenopodiaceae-Amaranthaceae	アカザ科-ヒユ科	1
Haloragis-Myriophyllum	アリノトウグサ属-フサモ属	1
Fern spore	シダ植物胞子	
Monolate type spore	単条溝胞子	2
Arboreal pollen	樹木花粉	1
Arboreal・Nonarboreal pollen	樹木・草本花粉	0
Nonarboreal pollen	草本花粉	3
Total pollen	花粉総数	4
Pollen frequencies of 1cm³	試料1cm³中の花粉密度	2.4 ×10
Unknown pollen	未同定花粉	0
Fern spore	シダ植物胞子	2
Helminth eggs	寄生虫卵	(-)
Stone cell	石細胞	(-)
Digestion rimeins	明らかな消化残渣	(-)
Charcoal ・woods fragments	微細炭化物・微細木片	(++)

結果

1）分類群

出現した分類群は、樹木花粉１、草本花粉３、シダ植物胞子１形態の計５である。これらの学名と和名および粒数を表１に示し、出現した分類群は顕微鏡写真に示した。

〔樹木花粉〕カバノキ属

〔草本花粉〕イネ科、アカザ科－ヒユ科、
　　アリノトウグサ属－フサモ属

〔シダ植物胞子〕単条溝胞子

2）花粉群集の特徴

分析の結果、花粉はほとんど検出されず、カバノキ属、イネ科、アカザ科－ヒユ科、アリノトウグサ属－フサモ属がわずかに出現する。参考のために珪藻分析を行ったが（表２、図２）、密度は極めて低く、陸生珪藻など一般的によくみられる種がわずかに出現した。

表2　珪藻分析結果

分類群	SP47
	下層
貧塩性種（淡水生種）	
Amphora montana	1
Eunotia minor	1
Hantzschia amphioxys	6
Navicula ignota	1
Navicula mutica	2
Navicula pseudoacceptata	1
Neidium ampliatum	1
合　計	13
未同定	0
破片	4
試料１cm³中の殻数密度	2.6 ×10³
完形殻保存率（%）	76.5

所見

花粉、珪藻ともに密度が極めて低く、有機質遺体の分解される乾燥ないし乾湿を繰り返す堆積環境であったか、堆積速度が速かったとみなされる。わずかに出現する草本花粉は、人里植物で耕地雑草であり比較的乾燥した環境を好むもので、この土坑の周囲の植生を反映するものと考えられる。

（5）種　実　同　定

植物の種子や果実は比較的強靱なものが多く、堆積物中に残存する。そのため堆積物から種実を検出しその群集の構成や組成を調べることで、過去の植生や群落の構成要素を明らかにし古環境の推定を行うことが可能である。また出土した単体試料等を同定し、栽培植物や固有の植生環境を調べることができる。

方法

試料（堆積物）に以下の処理を施して、抽出および同定を行った。

１）試料500cm3に水を加え放置し、泥化

２）攪拌した後、沈んだ砂礫を除去しつつ、0.25㎜の篩で水洗選別

３）残渣を双眼実体顕微鏡下で観察し、種実の同定計数

同定は形態的特徴および現生標本との対比で行い、結果は同定レベルによって科、属、種の階級で示す。

結果

１）分類群

樹木１、草本５の計６分類群が同定された。学名、和名および粒数を表３に示し、主要な分類群を写真に示す。以下に同定根拠となる形態的特徴、写真に示したもののサイズを記載する。

表3　種実同定結果

分類群		部位	SP47 下層
学名	和名		
Arbor	樹木		
Juglans ailanthifolia Carr	オニグルミ	核(破片)	1
Herb	草本		
Setaria italica Beauv.	アワ	果実	3
Echinochloa utilis Ohwi et Yabuno	ヒエ	果実	4
Panicum miliaceum L.	キビ	果実	1
Scirpus	ホタルイ属	果実	1
Chenopodium	アカザ属	種子	1
Total	合計		11

(500㎤中0.25㎜篩)

〔樹木〕

オニグルミ　Juglans　ailanthifolia　Carr.　炭化核（破片）　クルミ科

黒色で破片である。表面全体に不規則な隆起、縫合線がある。

〔草本〕

アワ　Setaria　italica　Beauv.　炭化果実　イネ科　長さ×幅：1.17㎜×1.38㎜

炭化しているため黒色で楕円形を呈す。胚の部分がくぼむ。

ヒエ　Echinochloa　utilis　Ohwi　et　Yabuno　炭化果実　イネ科　長さ×幅：1.69㎜×1.42㎜、1.46㎜×1.39㎜

炭化しているため黒色で類円形を呈し、胚の部分がくぼむ。

キビ　Panicum　miliaceum　L.　炭化果実　イネ科　長さ×幅：1.88㎜×1.83㎜

炭化しているため黒色で円形を呈し、胚の部分がくぼむ。

ホタルイ属　Scirpus　炭化果実　カヤツリグサ科　長さ×幅：1.91㎜×1.47㎜

黒色で、やや光沢がある。広倒卵形を呈し、断面は両凸レンズ形である。表面には横方向の微細な隆起があり、基部に4～8本の針状の付属物を持つ。

アカザ属　Chenopodium　炭化種子　アカザ科　長さ×幅：0.10㎜×0.93㎜

黒色でやや光沢があり円形を呈し、片面の中央から周縁まで浅い溝が走る。

２）種実群集の特徴

樹木種実のオニグルミ破片１、草本種実のアワ３、ヒエ４、キビ１、ホタルイ属１、アカザ属１が

検出された。アワ、ヒエ、キビは火を受け炭化している。

所見

樹木種実のオニグルミ、草本種実のアワ、ヒエ、キビは栽培植物であり食用にもなる。ホタルイ属は湿地から浅い水域（深さ１ｍまで）に生育する水生植物であり、アカザ属は畑や集落のやや乾燥した人為地に生育する。

（６）考察とまとめ

田鎖車堂前遺跡で検出された円筒状土坑（SP47）の堆積物を対象に、寄生虫卵分析、花粉分析、種実同定、珪藻分析を行いトイレ跡の可能性について検討した。分析の結果、寄生虫卵は検出されず、花粉、種実、珪藻は極めて低い密度であった。このことから、試料となった堆積物は、分解の行われる比較的乾燥した環境および堆積速度の速い環境で生成されたものとみなされる。花粉ではわずかにカバノキ属、イネ科、アカザ科－ヒユ科、アリノトウグサ属－フサモ属が検出されたが、周囲の植生を反映したものとみなされる。珪藻も低密度で、常時水が溜まる状態ではなかったようである。種実では、とくに炭化したアワ、ヒエ、キビが検出され、火を受け炭化したものが投棄または落ち込んだと考えられる。

以上のことから、円筒状土坑（SP47）内の堆積物は遺構埋積時のものと推定され、トイレ遺構である可能性を積極的に肯定することはできない。なお、炭化したアワ、ヒエ、キビは、当時の畑作の様相と食生活を知る貴重な資料である。

（株式会社　古環境研究所）

引用・参考文献

金原正明・金原正子　2013　植生と農耕における土壌層分析の実証的研究」『日本文化財科学会第30回大会研究発表会要旨集』112-113頁

Peter J.Warnock and Karl J.Reinhard　1992　「Methods for Extraxting Pollen and Parasite Eggs from Latrine Soils」『Jounal of Archaeological Science』19　231-245頁

金子清俊・谷口博一　1987　「線形動物・扁形動物」『医動物学　新版臨床検査講座』８　歯薬出版９-55頁

金原正明・金原正子　1992　「花粉分析および寄生虫」『藤原京跡の便所遺構－藤原京７条１坊－』奈良国立文化財研究所　14-15頁

金原正明　1999　「寄生虫　考古学と動物学」『考古学と自然科学』２　同成社　151-158頁

金原正明　1993　「花粉分析法による古環境復原」『新版古代の日本第10巻古代資料研究の方法』角川書店248-262頁

島倉巳三郎　1973　『日本植物の花粉形態』大阪市立自然科学博物館収蔵目録第５集　60頁

中村純　1967　『花粉分析』　古今書院　82-102頁

中村純　1974　「イネ科花粉について、とくにイネ（Oryza sativa）を中心として」『第四紀研究』13　187-193頁

中村純　1980　「日本産花粉の標徴」『大阪自然史博物館収蔵目録第13集』 91頁

南木睦彦　1992　「低湿地遺跡の種実」『月刊考古学ジャーナル』No.355　ニューサイエンス社　18-22頁

田鎖車堂前遺跡

花粉写真

1　カバノキ属

2　イネ科

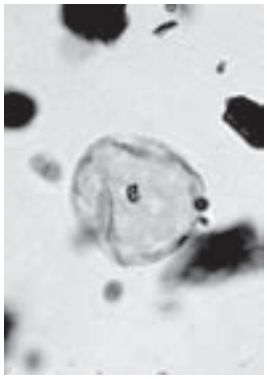

3　アカザ科-ヒユ科

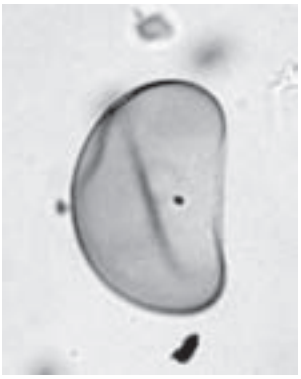

4　シダ植物単条溝胞子

10 μm

珪藻写真

1　*Navicula pseudoacceptata*

2　*Hantzschia amphioxys*

3　*Hantzschia amphioxys*

4　*Amphora montana*

5　*Navicula mutica*

10 μm

田鎖車堂前遺跡の種実

1　オニグルミ破片　1.0mm

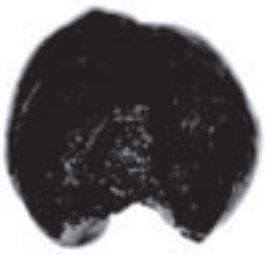

2　アワ果実　0.5mm

3　アワ果実　0.5mm

4　ヒエ果実　0.5mm

5　ヒエ果実　0.5mm

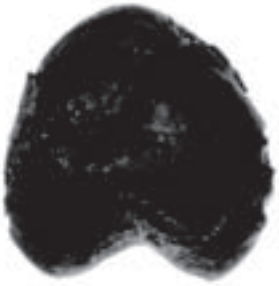

6　キビ果実　0.5mm

7　ホタルイ属果実　0.5mm

8　アカザ属種子　0.5mm

図１
花粉
ダイアグラム

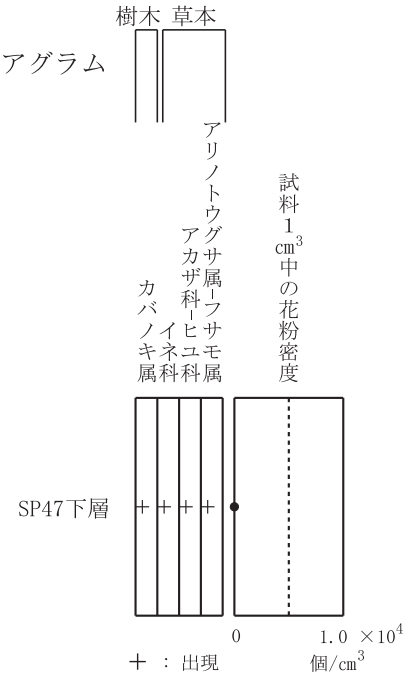

図２
主要珪藻
ダイアグラム

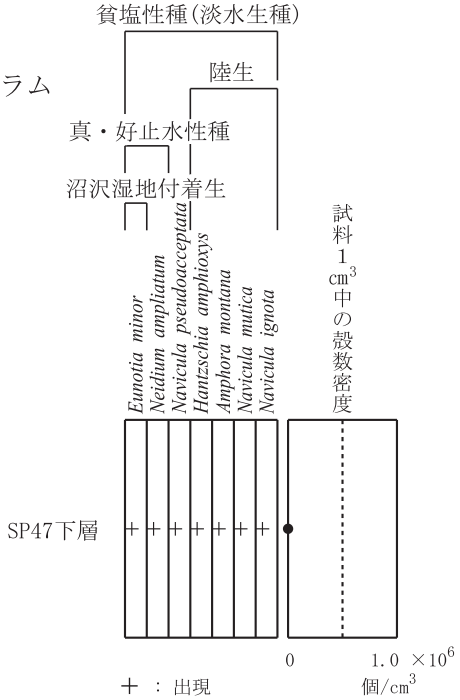

2　田鎖車堂前遺跡火山灰同定

（1）は　じ　め　に

東北地方の三陸沿岸地域の地層や土壌の中には、十和田、岩手、秋田駒ヶ岳、焼石、鳴子など東北地方の火山のほか、洞爺、浅間、御岳、三瓶、阿蘇、姶良、鬼界など遠方の火山に由来するテフラ（火山砕屑物，いわゆる火山灰）が数多く認められる。とくに、後期更新世以降に降灰したそれらの多くについては、層相や年代さらに岩石記載的特徴がテフラ・カタログ（町田・新井，1992，2003，2011など）に収録されており、考古遺跡などで調査分析を行って年代や層位が明らかな指標テフラを検出することで、地形や地層の形成年代さらには考古遺物・遺構の層位や年代などに関する情報を得られるようになっている。

宮古市田鎖車堂前遺跡の発掘調査でも、テフラを含む可能性のある土層が検出されたことから、テフラ分析（テフラ検出分析・テフラ組成分析・火山ガラスの屈折率測定）を行って、指標テフラを検出し、土層の層位を明らかにすることになった。分析対象試料は、発掘調査担当者により採取・送付された、試料SI212-P1-1である。

（2）テフラ検出分析

分析試料は、12世紀とみられる円筒状土坑（SP47）内の底部より採取された堆積物１点である。

分析試料と分析方法

試料SI212-P1-1について、含まれるテフラ粒子の量や特徴を定性的に明らかにするために、テフラ検出分析を実施した。分析の手順は次のとおりである。

１）試料を観察して試料８gを秤量。
２）超音波洗浄により泥分を除去。
３）恒温乾燥機により80°Cで恒温乾燥。
４）実体顕微鏡下でテフラ粒子の量や特徴を観察。

分析結果

テフラ検出分析の結果を表１に示す。試料SI212-P1-1には、ごくわずかに、無色透明の繊維束状軽石型ガラスが含まれている。不透明鉱物以外の重鉱物としては、斜方輝石、角閃石、黒雲母が認められる。

（3）テフラ組成分析（火山ガラス比分析・重鉱物組成分析）

分析試料と分析方法

テフラ検出分析により、テフラの詳細分析の上でおもな対象となる火山ガラスや鉱物の含有率が低いことが明らかになったことから、さらに4.5gの試料と追加で洗浄処理し、火山ガラス比分析と重鉱物組成分析を合わせたテフラ組成分析を行った。分析の手順は次のとおりである。

１）テフラ検出分析済みの試料と追加で洗浄・乾燥した試料を合わせて、分析篩により、>1/4mm、1/4～1/8mm、1/8～1/16mm、<1/16mmの粒子に篩別。
２）偏光顕微鏡下で1/4～1/8mmの250粒子を観察して、火山ガラスの色調形態別含有率、軽鉱物と重鉱物の含有率をそれぞれ求める（火山ガラス比分析）。
３）偏光顕微鏡下で1/4～1/8mmの重鉱物250粒子を観察して、重鉱物組成を明らかにする（重鉱物組

成分析）。

分析結果

テフラ組成分析の結果をダイヤグラムにして図１に、火山ガラス比分析と重鉱物組成分析の結果の内訳をそれぞれ表１と表２に示した。試料SI212-P1-1に含まれる火山ガラスの含有率は非常に低く（0.8%）、分厚い中間型ガラスと繊維束状軽石型ガラス（各0.4%）が認められる。軽鉱物と重鉱物の含有率は、それぞれ32.8%と14.4%である。

不透明鉱物以外の重鉱物としては、含有率が高い順に角閃石（6.8%）斜方輝石（4.0%）黒雲母（1.6%）単斜輝石（0.4%）が認められる。

（４）屈折率測定（火山ガラス）

測定試料と測定方法

試料SI212-P1-1に含まれるテフラと指標テフラとの同定精度を向上させるために火山ガラス（ｎ）の屈折率測定を行った。測定方法は、温度変化型屈折率法（壇原，1993）で、測定には温度変化型屈折率測定装置を使用した。測定対象は、1/8～1/16mm粒子中の火山ガラスである。

測定結果

屈折率の測定結果を表４に示す。この表には、三陸沿岸地域の後期更新世後半以降の代表的な指標テフラの火山ガラスの屈折率特性も合わせて示した。

試料SI212-P1-1に含まれる火山ガラス（４粒子）の屈折率（n）は、1.501-1.506である。その内訳は、1.5014、1.5030、1.5035、1.5061である。

（５）考　　察

試料SI212-P1-1に含まれるテフラ粒子の含有率は低いものの、火山ガラスの色調や形態、さらにその屈折率特性から、その多くはAD915年に十和田火山から噴出した十和田ａ火山灰（To-a，大池，1972，町田ほか，1981，町田・新井，1992，2003，2011）に由来すると考えられる。重鉱物として、斜方輝石や単斜輝石が認められることも、この同定を支持すると考えられる。したがって、試料SI212-P1-1が採取された堆積物は、To-a降灰後に形成されたと推定される。

To-aは東北地方北部から福島市域にかけて考古遺跡で検出されており、新潟市域でも降灰している可能性が指摘されるが（早田，未公表資料）、意外に三陸沿岸地域での検出例は多くないらしい（丸山浩治岩手県立博物館学芸員談話）。その点で、今回のTo-aの検出・同定例は重要といえる。今回の分析対象はTo-aが二次的に混入して形成された堆積物のようであるが、To-aが給源火山から南方域を中心に検出される特殊な分布形態をもつことから、その原因の解明のためにも、テフラ層が検出された際には、現地での一次堆積層の確認、ユニットごとの詳細な記載、ユニットごとの高純度の試料採取が重要となる。

（６）ま　　と　　め

宮古市田鎖車堂前遺跡で採取された試料SI212-P1-1を対象に、テフラ分析（テフラ検出分析・テフラ組成分析・火山ガラスの屈折率測定）を実施した。その結果、試料中に含まれるテフラ粒子は、十和田ａ火山灰（To-a，AD915年）の可能性が高いことが明らかになった。

（株式会社 火山灰考古学研究所）

引用・参考文献

壇 原　　徹　1993　「温度変化型屈折率測定法」『第四紀研究試料分析法２』 日本第四紀学会編149-158頁

町 田　　洋　1992　『火山灰アトラス』　東京大学出版会　276頁
新 井　房 夫

町 田　　洋　2003　『新編火山灰アトラス』　東京大学出版会　336頁
新 井　房 夫

町 田　　洋　2011　『新編火山灰アトラス（第２刷）』　東京大学出版会　336頁
新 井 房　夫

町 田　　洋　1981　「日本海を渡ってきたテフラ」　『科学』51　562-569頁
新 井　房 夫
森 脇　　広

大 池　昭 二　1972　「十和田火山東麓における完新世テフラの編年」　『第四紀研究』11　232-233頁

表１　テフラ検出分析結果

試料（採取地点）	軽石・スコリア			火山ガラス			重鉱物
	量	色調	最大径	量	形態	色調	（不透明鉱物以外）
SI212-P1-1				(*)	pm（fb）	無色透明	（opx，am，bi）

****：とくに多い，***：多い，**：中程度，*：少ない，bw：バブル型，md：中間型，pm：軽石型，sc：スコリア型，sp：スポンジ状，fb：繊維束状，ol：カンラン石，opx：斜方輝石，cpx：単斜輝石，am：角閃石，bi：黒雲母．()：量が少ないことを示す．

表２　火山ガラス比分析結果

試料（採取地点）	火山ガラス						軽鉱物	重鉱物	その他	合計
	bw（cl）	bw（pb）	bw（br）	md	pm（sp）	pm（fb）				
SI212-P1-1	0	0	0	1	1	1	82	36	130	250

bw：バブル型，md：中間型，pm：軽石型，sc：スコリア型，cl：無色透明，pb：淡褐色，br：褐色，sp：スポンジ状，fb：繊維束状．数字は粒子数．

表３　重鉱物組成分析結果

試料（採取地点）	ol	opx	cpx	am	bi	opq	その他	合計
SI212-P1-1	0	1	1	1	82	36	130	250

ol：カンラン石，opx：斜方輝石，cpx：単斜輝石，am：角閃石，bi：黒雲母，ｏｐｑ：不透明鉱物（黒色で光沢をもつもの）．数字は粒子数．

表４　屈折率測定結果

地点・試料・指標テフラ	火山ガラス		文献
	屈折率（n）	測定点数	
田鎖車堂前遺跡・SI212-P1-1	1.501-1.506	4	本報告
岩手県域の指標テフラ（後期更新世以降）			
十和田ａ（To-a，岩手・秋田）	1.500-1.508		町田・新井（2011）
十和田ｂ（To-b）	1.496-1.508		町田・新井（2011）
十和田中掫（To-Cu，青森）	1.510-1.514		町田・新井（2011）
十和田中掫（To-Cu，岩手・秋田）	1.508-1.512		町田・新井（2011）
十和田南部（To-Nb）	1.512-1.517		町田・新井（2011）
秋田駒柳沢（Ak-Y）	未詳		町田・新井（2011）
肘折尾花沢（Hj-O）	1.499-1.504		町田・新井（2011）
秋田駒小岩井（Ak-K）	未詳		町田・新井（2011）
十和田八戸（To-H）	1.505-1.509		町田・新井（2011）
浅間板鼻黄色（As-YP）	1.501-1.505		町田・新井（2011）
鳴子潟沼上原（Nk-U）	1.492-1.500		町田・新井（2011）
姶良 Tn（AT）	1.498-1.501		町田・新井（2011）
十和田大不動（To-Of）	1.505-1.511		町田・新井（2011）
西岩手雪浦・生出（Iw-Y，Od）	1.508-1.508		町田・新井（2011）
鳴子柳沢（Nr-Y）	1.500-1.503		町田・新井（2011）
焼石山形（Yk-Y）	1.501-1.503		町田・新井（2011）
焼石村崎野（Yk-M）	1.503-1.508		町田・新井（2011）
十和田川口（Kw）	未詳		町田・新井（2011）
阿蘇４（Aso-4）	1.506-1.510		町田・新井（2011）
鳴子荷坂（Nr-N）	1.500-1.502		町田・新井（2011）
肘折北原（Hj-Kth）	1.499-1.502		町田・新井（2011）
三瓶木次（SK）	1.496-1.498		町田・新井（2011）
洞爺（Toya）	1.494-1.498		町田・新井（2011）

本報告における屈折率の測定は，温度変化型屈折率測定法（壇原，1993）による．
テフラ・カタログ（町田・新井，2011）の屈折率測定は，
温度一定型屈折率測定法（新井，1972，1993）による．

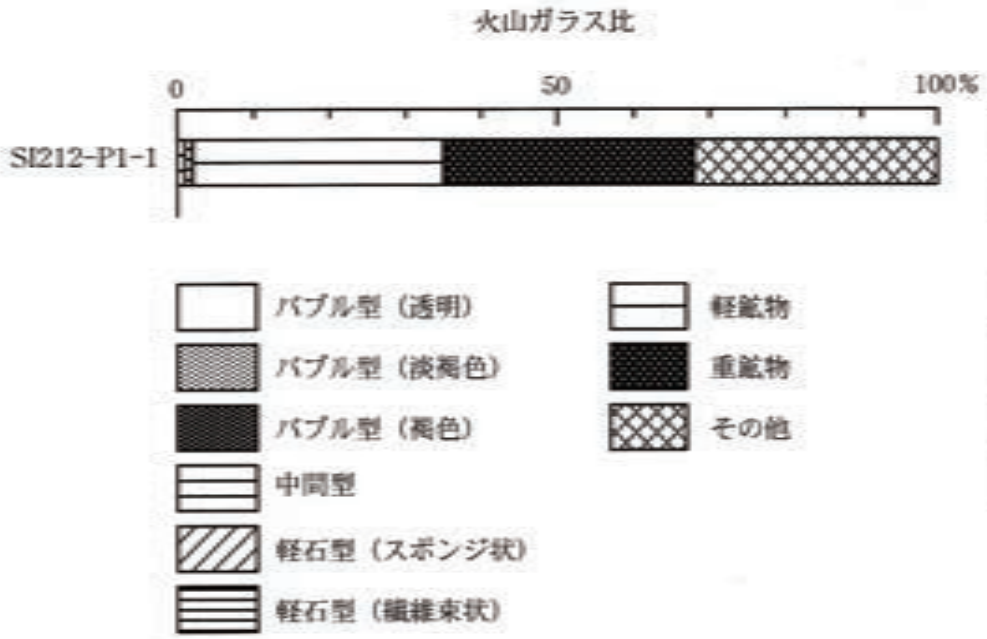

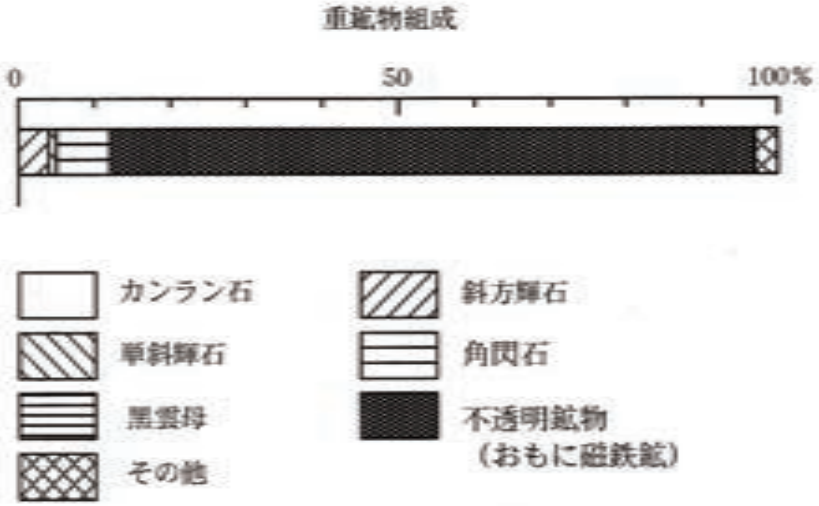

図１　田鎖車堂前遺跡のテフラ組成ダイヤグラム

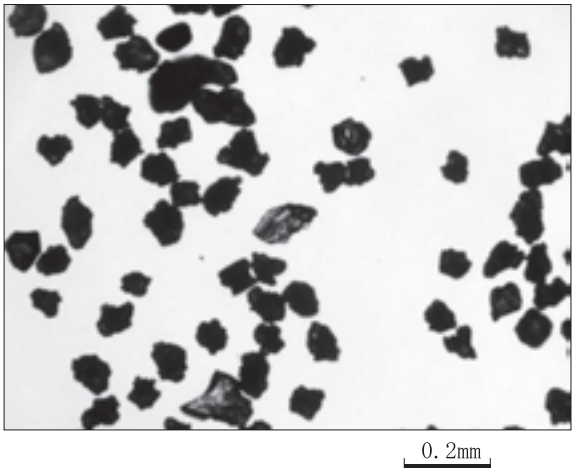

写真１　試料SI212-P1-1
中央：繊維束状軽石型ガラス.

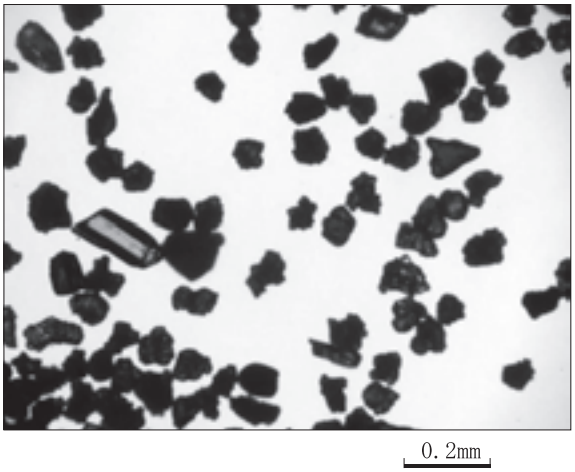

写真２　試料SI212-P1-1
左　（長柱状有色鉱物）：斜方輝石.
左下（短柱状有色鉱物）：単斜輝石.
右上（平板状有色鉱物）：黒雲母.

鎖車堂前遺跡テフラ分析写真図版

３　田鎖車堂前遺跡における放射性炭素年代（AMS測定）

（１）測定対象試料

田鎖車堂前遺跡は、岩手県宮古市田鎖第11地割字車堂前に所在する。測定対象試料は、遺構や遺物包含層から出土した土器付着炭化物、木炭、木片の合計22点である（表1）。土器付着炭化物のうち、TSK-1は土師器甕の内面から採取され、コゲと考えられている。また、TSK-13～15、17が体部内面、TSK-16が口縁直下内面から試料が採取された。TSK-13～16は縄文土器、TSK-17は弥生土器の付着物である。木炭TSK-18は、竪穴住居跡埋土下位から出土した銅椀内から採取された。木炭TSK-2は溝、木炭TSK-3、5～12は竪穴建物跡、木炭TSK-4は掘立柱建物跡柱穴、木炭TSK-19、木片TSK-20、21は居館を囲む堀、木炭TSK-22は竪穴状遺構から出土した。

（２）測定の意義

試料が採取された遺構や遺物の年代を明らかにする。

（３）化学処理工程

１）メス・ピンセットを使い、根、土等の付着物を取り除く。
２）酸-アルカリ-酸（AAA：Acid Alkali Acid）処理により不純物を化学的に取り除く。その後、超純水で中性になるまで希釈し、乾燥させる。AAA処理における酸処理では、通常1mol/ℓ（1M）の塩酸（HCl）を用いる。アルカリ処理では水酸化ナトリウム（NaOH）水溶液を用い、0.001Mから1Mまで徐々に濃度を上げながら処理を行う。アルカリ濃度が1Mに達した時には「AAA」、1M未満の場合は「AaA」と表1に記載する。
３）試料を燃焼させ、二酸化炭素（CO_2）を発生させる。

４）真空ラインで二酸化炭素を精製する。
５）精製した二酸化炭素を、鉄を触媒として水素で還元し、グラファイト（C）を生成させる。
６）グラファイトを内径1mmのカソードにハンドプレス機で詰め、それをホイールにはめ込み、測定装置に装着する。

（４）測 定 方 法

加速器をベースとした14C-AMS専用装置（NEC社製）を使用し、^{14}Cの計数、^{13}C濃度（^{13}C/^{12}C）、^{14}C濃度（^{14}C/^{12}C）の測定を行う。測定では、米国国立標準局（NIST）から提供されたシュウ酸（HOxⅡ）を標準試料とする。この標準試料とバックグラウンド試料の測定も同時に実施する。

（５）算 出 方 法

１）δ^{13}Cは、試料炭素の^{13}C濃度（^{13}C/^{12}C）を測定し、基準試料からのずれを千分偏差（‰）で表した値である（表1）。AMS装置による測定値を用い、表中に「AMS」と注記する。
２）^{14}C年代（Libby　Age：yrBP）は、過去の大気中^{14}C濃度が一定であったと仮定して測定され、1950年を基準年（0yrBP）として遡る年代である。年代値の算出には、Libbyの半減期（5568年）を使用する（Stuiver and Polach 1977）。^{14}C年代はδ^{13}Cによって同位体効果を補正する必要がある。補正した値を表1に、補正していない値を参考値として表2に示した。^{14}C年代と誤差は、下1桁を丸めて10年単位で表示される。また、^{14}C年代の誤差（±1σ）は、試料の^{14}C年代がその誤差範囲に入る確率が68.2％であることを意味する。
３）pMC（percent Modern Carbon)は、標準現代炭素に対する試料炭素の^{14}C濃度の割合である。pMCが小さい（^{14}Cが少ない）ほど古い年代を示し、pMCが100以上（^{14}Cの量が標準現代炭素と同等以上）の場合Modernとする。この値もδ^{13}Cによって補正する必要があるため、補正した値を表1に、補正していない値を参考値として表2に示した。
４）暦年較正年代とは、年代が既知の試料の^{14}C濃度をもとに描かれた較正曲線と照らし合わせ、過去の^{14}C濃度変化などを補正し、実年代に近づけた値である。暦年較正年代は、^{14}C年代に対応する較正曲線上の暦年代範囲であり、1標準偏差（1σ＝68.2％）あるいは2標準偏差（2σ＝95.4％）で表示される。グラフの縦軸が^{14}C年代、横軸が暦年較正年代を表す。暦年較正プログラムに入力される値は、δ^{13}C補正を行い、下1桁を丸めない^{13}C年代値である。なお、較正曲線および較正プログラムは、データの蓄積によって更新される。また、プログラムの種類によっても結果が異なるため、年代の活用にあたってはその種類とバージョンを確認する必要がある。ここでは、暦年較正年代の計算に、IntCal13データベース（Reimer et al. 2013）を用い、OxCalv4.2およびv4.3較正プログラム（Bronk Ramsey 2009）を使用した（IAAA-142785～142788、152651～152658はv4.2、IAAA-181141～181150はv4.3を使用）。暦年較正年代については、特定のデータベース、プログラムに依存する点を考慮し、プログラムに入力する値とともに参考値として表2に示した。暦年較正年代は、^{14}C年代に基づいて較正（calibrate）された年代値であることを明示するために「cal BC/AD」または「cal BP」という単位で表される。

（６）測　定　結　果

測定結果を表1、2に示す。
土師器付着炭化物TSK-1の^{14}C年代は1130±20yrBP、暦年較正年代（1σ）は、TSK-1が888～965cal

ADの間に2つの範囲で示される。この試料のδ^{13}Cは-22.61±0.27‰で、C3植物やそれを食べる哺乳類の範囲の中ではかなり高く、海生生物に近い値である（赤澤ほか1993）。このため、試料に海洋由来の炭素が含まれ、海洋リザーバー効果によって実際より古い年代値が示されている可能性がある。なお、AMSによるδ^{13}Cはあまり正確でないとされ、参考値と見なす必要がある。

縄文土器付着炭化物4点（TSK-13～16）のうち、TSK-16を除く3点の^{14}C年代は、7450±30yrBP（TSK-14）から7330±30yrBP（TSK-13）の狭い範囲にまとまる。暦年較正年代（1σ）は、この3点の中で最も古いTSK-14が6383～6259cal BCの間に2つの範囲、最も新しいTSK-13が6235～6102cal BCの間に4つの範囲で示され、縄文時代早期後葉頃に相当する。TSK-16の^{14}C年代は4250±30yrBP、暦年較正年代（1σ）は2902～2877cal　BCの範囲で示され、縄文時代中期中葉頃に相当する（小林2017、小林編2008）。

弥生土器付着炭化物TSK-17の^{14}C年代は2520±20yrBP、暦年較正年代（1σ）は774～561cal　BCの間に4つの範囲で示される。縄文時代晩期後葉頃に相当する値で（小林2017、小林編2008）、土器の型式より古い結果となった。この試料のδ^{13}Cは-21.05±0.22‰で、C3植物やそれを食べる哺乳類よりも高く、海生生物に近い値である（赤澤ほか1993）。このため、TSK-1と同様に、海洋リザーバー効果の影響を考慮する必要がある。

木炭、木片試料（TSK-2～12、18～22）の^{14}C年代は、1440±20yrBP（TSK-7）から280±20yrBP（TSK-22）の間にある。暦年較正年代（1σ）は、最も古いTSK-7が606～645cal　ADの範囲、最も新しいTSK-22が1528～1651cal　ADの間に2つの範囲で示される。かなり年代幅があるが、8～10世紀頃と13～14世紀頃の試料が比較的多い。

試料の炭素含有率はすべて50％を超える適正な値で、化学処理、測定上の問題は認められない

（株式会社 加速器分析研究所）

引用・参考文献

赤澤　威・米田　穣・吉田邦夫　1993　北村縄文人骨の同位体食性分析，中央自動車道長野線埋蔵文化財発掘調査報告書11　―明科町内―北村遺跡　本文編（（財）長野県埋蔵文化財センター発掘調査報告書14），長野県教育委員会，（財）長野県埋蔵文化財センター，445-468

Bronk Ramsey,C.　2009　Bayesian analysis of radiocarbon dates, Radiocarbon 51(1), 337-360

小林謙一　2017　縄文時代の実年代 ―土器型式編年と炭素14年代―，同成社

小林達雄編　2008　総覧縄文土器，総覧縄文土器刊行委員会，アム・プロモーション

Reimer,P.J.et al.　2013　IntCal13 and Marine13 radiocarbon age calibration curves, 0-50,000 years cal BP, Radiocarbon 55(4), 1869-1887

Stuiver, M. and Polach, H.A.　1977　Discussion: Reporting of 14C data, Radiocarbon 19(3), 355-363

表1　放射性炭素年代測定結果（δ13C補正値）（１）

測定番号	試料名	採取場所	試料名	処理方法	δ13C (‰) (AMS)	δ13C補正あり	
						Libby Age (yrBP)	pMC (%)
IAAA-142785	TSK-1	SI09　煙道埋土	土器付着炭化物(コゲ)	AaA	-22.61±0.27	1,130±20	86.83±0.24
IAAA-142786	TSK-2	SD01　埋土下層	木炭	AAA	-23.06±0.26	930±20	89.06±0.24
IAAA-142787	TSK-3	SI02　床面	木炭	AAA	-21.50±0.30	730±20	91.31±0.24
IAAA-142788	TSK-4	SP463　埋土	木炭	AAA	-22.24±0.26	1,300±20	85.05±0.23
IAAA-152651	TSK-5	SI202　カマド内	木炭	AAA	-25.37±0.26	1,140±30	86.81±0.27
IAAA-152652	TSK-6	SI203　床面	木炭	AAA	-26.09±0.29	1,200±20	86.17±0.27
IAAA-152653	TSK-7	SI205　床面	木炭	AAA	-27.21±0.28	1,440±20	83.64±0.26
IAAA-152654	TSK-8	SI208　壁際埋土	木炭	AAA	-26.07±0.31	860±30	89.85±0.29
IAAA-152655	TSK-9	SI212　埋土最上層	木炭	AAA	-20.87±0.30	1,180±20	86.30±0.26
IAAA-152656	TSK-10	SI222　埋土下層	木炭	AAA	-24.43±0.33	1,220±20	85.95±0.25
IAAA-152657	TSK-11	SI223　西側カマド覆土	木炭	AAA	-24.45±0.22	1,200±30	86.13±0.27
IAAA-152658	TSK-12	SI233　カマド覆土	木炭	AAA	-26.43±0.29	1,170±20	86.42±0.27
IAAA-181141	TSK-13	ⅡA4b　層位：Ⅶ層	土器付着炭化物	AaA	-25.54±0.23	7,330±30	40.14±0.16
IAAA-181142	TSK-14	ⅡZ10j　Ⅶc層	土器付着炭化物	AaA	-25.74±0.22	7,450±30	39.54±0.15
IAAA-181143	TSK-15	SI753　東端埋土下層	土器付着炭化物	AaA	-26.55±0.23	7,410±30	39.77±0.15
IAAA-181144	TSK-16	ⅢZ1h　Ⅵ層	土器付着炭化物	AaA	-24.30±0.22	4,250±30	58.94±0.20

表1　放射性炭素年代測定結果（δ13C補正値）（２）

測定番号	試料名	採取場所	試料名	処理方法	δ13C (‰) (AMS)	δ13C補正あり	
						Libby Age (yrBP)	pMC (%)
IAAA-181145	TSK-17	ⅡZ6f　Ⅴ　　層	土器付着炭化物	AaA	-21.05±0.22	2,520±20	73.11±0.22
IAAA-181146	TSK-18	SI427　埋土下位	木炭	AAA	-24.95±0.24	1,330±20	84.71±0.24
IAAA-181147	TSK-19	SD402　底面付近	木炭	AAA	-26.49±0.22	630±20	92.40±0.24
IAAA-181148	TSK-20	SD402底面小溝　埋土中	木片	AAA	-25.23±0.22	620±20	92.61±0.26
IAAA-181149	TSK-21	SD207堀 木柱　堀底面	木片	AAA	-25.24±0.20	730±20	91.34±0.27
IAAA-181150	TSK-22	SX407北半　埋土	木炭	AAA	-28.57±0.24	280±20	96.54±0.26

表2　放射性炭素年代測定結果（δ^{13}C未補正値、暦年較正用^{14}C年代、較正年代）（１）

測定番号	δ^{13}C補正あり		暦年較正用 (yrBP)	1σ暦年代範囲	2σ暦年代範囲
	Age (yrBP)	pMC (%)			
IAAA-142785	1,090±20	87.26±0.24	1,134±22	888calAD - 903calAD (16.4%) 919calAD - 965calAD (51.8%)	778calAD - 790calAD (2.2%) 828calAD - 840calAD (1.3%) 865calAD - 984calAD (91.9%)
IAAA-142786	900±20	89.41±0.24	930±21	1041calAD - 1057calAD (12.3%) 1076calAD - 1108calAD (25.8%) 1117calAD - 1154calAD (30.0%)	1035calAD - 1157calAD (95.4%)
IAAA-142787	670±20	91.96±0.24	730±21	1268calAD - 1283calAD (68.2%)	1258calAD - 1290calAD (95.4%)
IAAA-142788	1,260±20	85.53±0.23	1,300±22	669calAD - 710calAD (46.6%) 746calAD - 764calAD (21.6%)	663calAD - 723calAD (64.3%) 740calAD - 768calAD (31.1%)
IAAA-152651	1,140±20	86.75±0.27	1,136±25	886calAD - 906calAD (18.7%) 915calAD - 968calAD (49.5%)	777calAD - 791calAD (3.3%) 807calAD - 842calAD (5.2%) 861calAD - 983calAD (86.8%)
IAAA-152652	1,210±20	85.98±0.26	1,195±24	788calAD - 871calAD (68.2%)	732calAD - 735calAD (0.5%) 769calAD - 892calAD (94.9%)
IAAA-152653	1,470±20	83.26±0.25	1,435±24	606calAD - 645calAD (68.2%)	580calAD - 654calAD (95.4%)
IAAA-152654	880±30	89.65±0.29	859±26	1165calAD - 1214calAD (68.2%)	1052calAD - 1081calAD (6.5%) 1151calAD - 1254calAD (88.9%)
IAAA-152655	1,120±20	87.03±0.26	1,184±24	778calAD - 793calAD (12.3%) 802calAD - 845calAD (33.1%) 855calAD - 884calAD (22.8%)	770calAD - 895calAD (93.0%) 928calAD - 941calAD (2.4%)
IAAA-152656	1,210±20	86.05±0.24	1,216±23	770calAD - 779calAD (7.6%) 789calAD - 868calAD (60.6%)	715calAD - 744calAD (11.4%) 765calAD - 887calAD (84.0%)
IAAA-152657	1,190±20	86.23±0.27	1,199±25	775calAD - 778calAD (2.4%) 789calAD - 869calAD (65.8%)	726calAD - 738calAD (2.5%) 767calAD - 891calAD (92.9%)

表2　放射性炭素年代測定結果（δ^{13}C未補正値、暦年較正用14C年代、較正年代）（２）

測定番号	δ^{13}C補正あり		暦年較正用 (yrBP)	1σ暦年代範囲	2σ暦年代範囲
	Age (yrBP)	pMC (%)			
IAAA-152658	1,200±20	86.16±0.26	1,172±24	778calAD - 792calAD (12.3%) 804calAD - 843calAD (28.7%) 859calAD - 891calAD (27.2%)	772calAD - 900calAD (87.2%) 922calAD - 948calAD (8.2%)
IAAA-181141	7,340±30	40.10±0.16	7,332±31	6235calBC - 6204calBC (26.8%) 6192calBC - 6183calBC (4.9%) 6171calBC - 6157calBC (7.6%) 6145calBC - 6102calBC (28.8%)	6246calBC - 6082calBC (95.4%)
IAAA-181142	7,470±30	39.48±0.15	7,452±30	6383calBC - 6342calBC (28.9%) 6314calBC - 6259calBC (39.3%)	6399calBC - 6242calBC (95.4%)
IAAA-181143	7,430±30	39.64±0.15	7,407±29	6354calBC - 6294calBC (42.6%) 6266calBC - 6234calBC (25.6%)	6373calBC - 6228calBC (95.4%)
IAAA-181144	4,240±30	59.02±0.20	4,246±27	2902calBC - 2877calBC (68.2%)	2912calBC - 2865calBC (81.9%) 2806calBC - 2760calBC (13.5%)
IAAA-181145	2,450±20	73.70±0.22	2,515±23	774calBC - 748calBC (17.1%) 684calBC - 667calBC (11.3%) 641calBC - 588calBC (31.0%) 579calBC - 561calBC (8.8%)	790calBC - 732calBC (26.7%) 691calBC - 660calBC (15.4%) 650calBC - 544calBC (53.3%)
IAAA-181146	1,330±20	84.72±0.24	1,332±22	657calAD - 684calAD (68.2%)	651calAD - 711calAD (86.3%) 746calAD - 764calAD (9.1%)
IAAA-181147	660±20	92.12±0.24	634±21	1296calAD - 1315calAD (25.4%) 1356calAD - 1389calAD (42.8%)	1288calAD - 1325calAD (38.4%) 1344calAD - 1394calAD (57.0%)
IAAA-181148	620±20	92.56±0.25	617±22	1300calAD - 1324calAD (27.9%) 1345calAD - 1369calAD (26.9%) 1381calAD - 1393calAD (13.4%)	1295calAD - 1399calAD (95.4%)
IAAA-181149	730±20	91.29±0.27	727±23	1267calAD - 1285calAD (68.2%)	1256calAD - 1295calAD (95.4%)
IAAA-181150	340±20	95.84±0.25	282±21	1528calAD - 1553calAD (35.2%) 1633calAD - 1651calAD (33.0%)	1521calAD - 1592calAD (53.3%) 1620calAD - 1662calAD (42.1%)

［参考値］

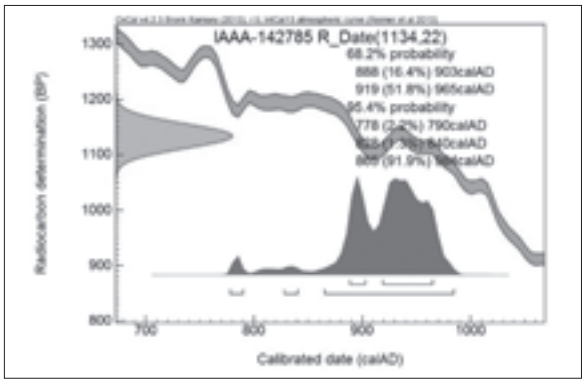
IAAA-142785 R_Date(1134,22)
68.2% probability
888 (16.4%) 903calAD
919 (51.8%) 965calAD
95.4% probability
778 (2.2%) 790calAD
Radiocarbon determination (BP)
Calibrated date (calAD)

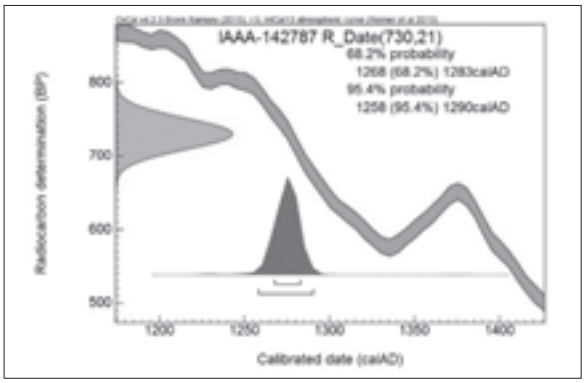
IAAA-142787 R_Date(730,21)
68.2% probability
1268 (68.2%) 1283calAD
95.4% probability
1258 (95.4%) 1290calAD
Radiocarbon determination (BP)
Calibrated date (calAD)

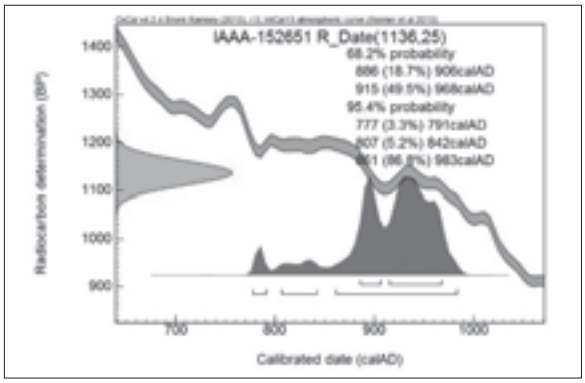
IAAA-152651 R_Date(1136,25)
68.2% probability
886 (18.7%) 906calAD
915 (49.5%) 968calAD
95.4% probability
777 (3.3%) 791calAD
807 (5.2%) 842calAD
Radiocarbon determination (BP)
Calibrated date (calAD)

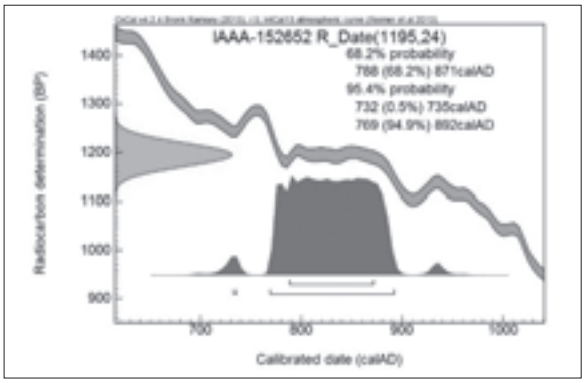
IAAA-152652 R_Date(1195,24)
68.2% probability
788 (68.2%) 871calAD
95.4% probability
732 (0.5%) 735calAD
769 (94.9%) 892calAD
Radiocarbon determination (BP)
Calibrated date (calAD)

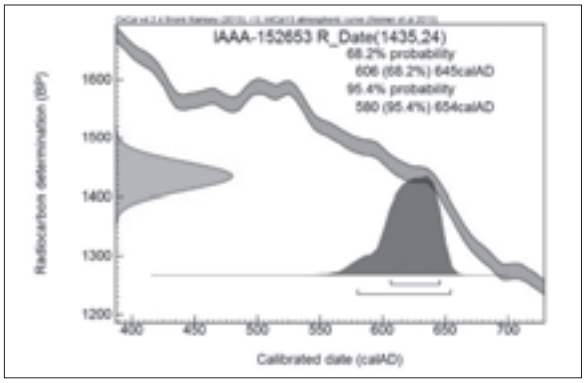
IAAA-152653 R_Date(1435,24)
68.2% probability
606 (68.2%) 645calAD
95.4% probability
580 (95.4%) 654calAD
Radiocarbon determination (BP)
Calibrated date (calAD)

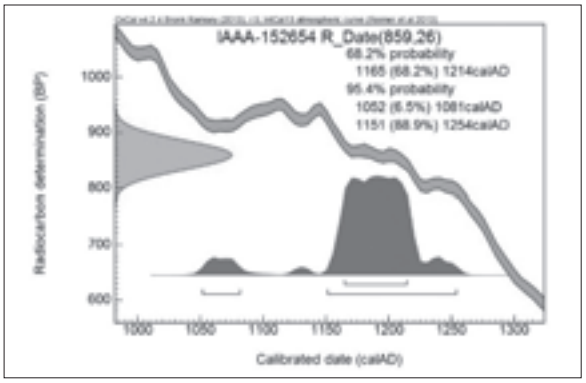
IAAA-152654 R_Date(859,26)
68.2% probability
1165 (68.2%) 1214calAD
95.4% probability
1052 (6.5%) 1081calAD
1151 (88.9%) 1254calAD
Radiocarbon determination (BP)
Calibrated date (calAD)

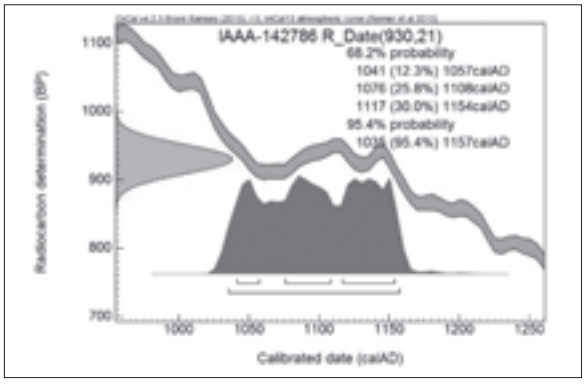
IAAA-142786 R_Date(930,21)
68.2% probability
1041 (12.3%) 1057calAD
1076 (25.8%) 1108calAD
1117 (30.0%) 1154calAD
95.4% probability
1038 (95.4%) 1157calAD
Radiocarbon determination (BP)
Calibrated date (calAD)

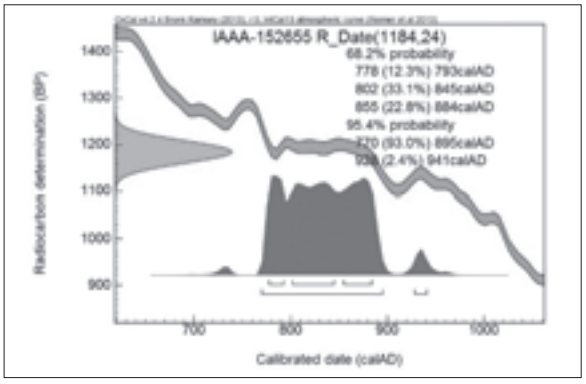
IAAA-152655 R_Date(1184,24)
68.2% probability
778 (12.3%) 793calAD
802 (33.1%) 845calAD
855 (22.8%) 884calAD
95.4% probability
770 (93.0%) 895calAD
938 (2.4%) 941calAD
Radiocarbon determination (BP)
Calibrated date (calAD)

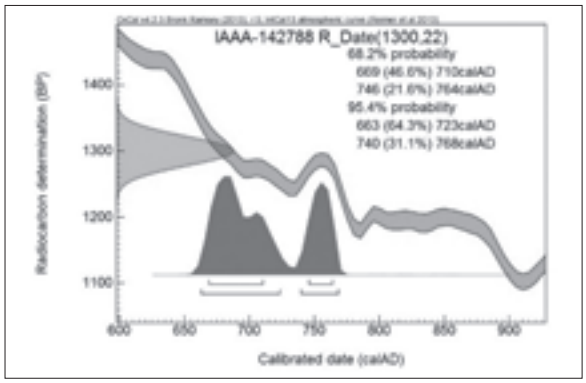
IAAA-142788 R_Date(1300,22)
68.2% probability
669 (46.6%) 710calAD
746 (21.6%) 764calAD
95.4% probability
663 (64.3%) 723calAD
740 (31.1%) 768calAD
Radiocarbon determination (BP)
Calibrated date (calAD)

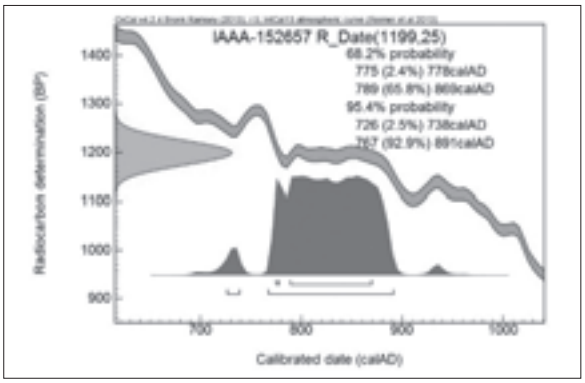
IAAA-152657 R_Date(1199,25)
68.2% probability
775 (2.4%) 778calAD
789 (65.8%) 869calAD
95.4% probability
726 (2.5%) 738calAD
767 (92.9%) 891calAD
Radiocarbon determination (BP)
Calibrated date (calAD)

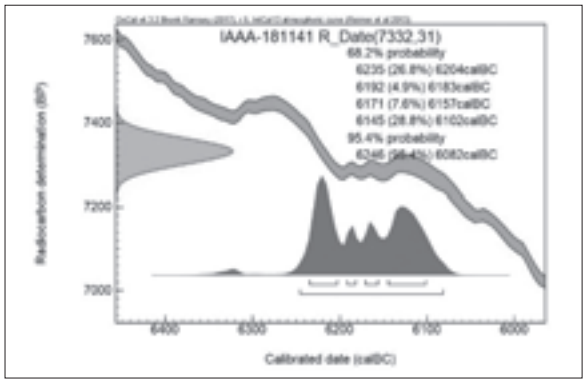
IAAA-181141 R_Date(7332,31)
68.2% probability
6235 (26.8%) 6204calBC
6192 (4.9%) 6183calBC
6171 (7.6%) 6157calBC
6145 (28.8%) 6102calBC
95.4% probability
6246 (95.4%) 6082calBC
Radiocarbon determination (BP)
Calibrated date (calBC)

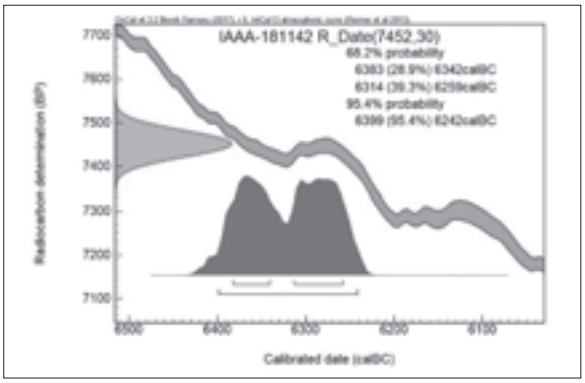
IAAA-181142 R_Date(7452,30)
68.2% probability
6383 (28.9%) 6342calBC
6314 (39.3%) 6259calBC
95.4% probability
6389 (95.4%) 6242calBC
Radiocarbon determination (BP)
Calibrated date (calBC)

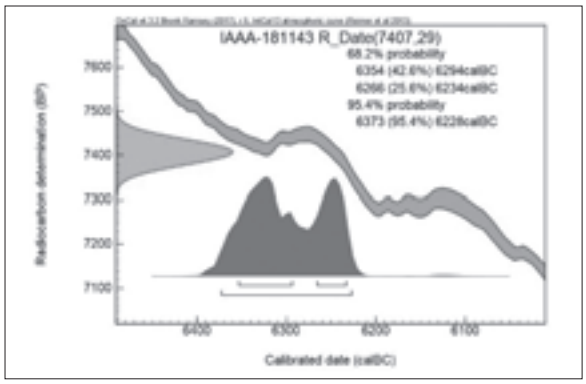
IAAA-181143 R_Date(7407,29)
68.2% probability
6354 (42.6%) 6294calBC
6266 (25.6%) 6234calBC
95.4% probability
6373 (95.4%) 6228calBC
Radiocarbon determination (BP)
Calibrated date (calBC)

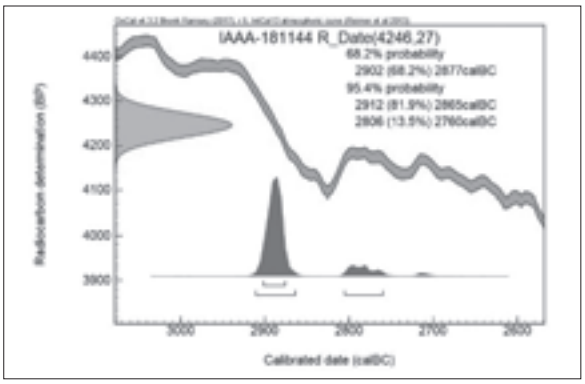
IAAA-181144 R_Date(4246,27)
68.2% probability
2902 (68.2%) 2877calBC
95.4% probability
2912 (81.9%) 2865calBC
2806 (13.5%) 2760calBC
Radiocarbon determination (BP)
Calibrated date (calBC)

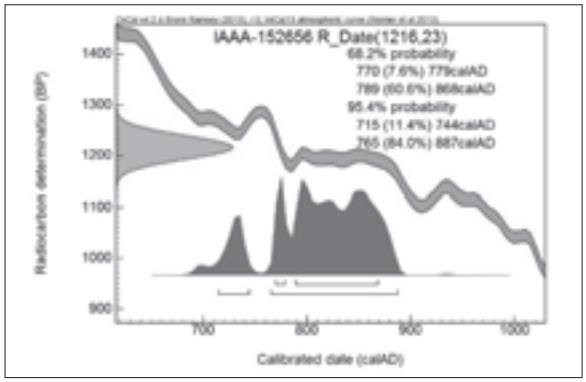
IAAA-152656 R_Date(1216,23)
68.2% probability
770 (7.6%) 779calAD
789 (60.6%) 868calAD
95.4% probability
715 (11.4%) 744calAD
765 (84.0%) 887calAD
Radiocarbon determination (BP)
Calibrated date (calAD)

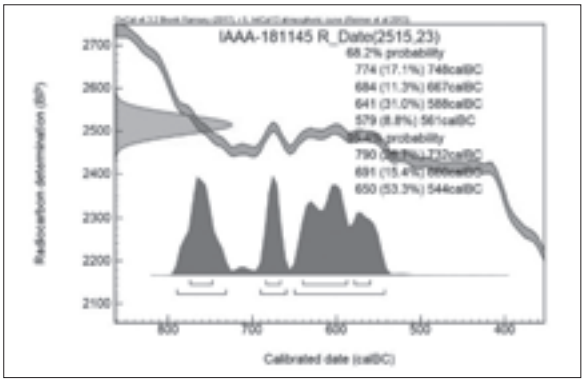
IAAA-181145 R_Date(2515,23)
68.2% probability
774 (17.1%) 748calBC
684 (11.3%) 667calBC
641 (31.0%) 588calBC
579 (8.8%) 561calBC
650 (53.3%) 544calBC
Radiocarbon determination (BP)
Calibrated date (calBC)

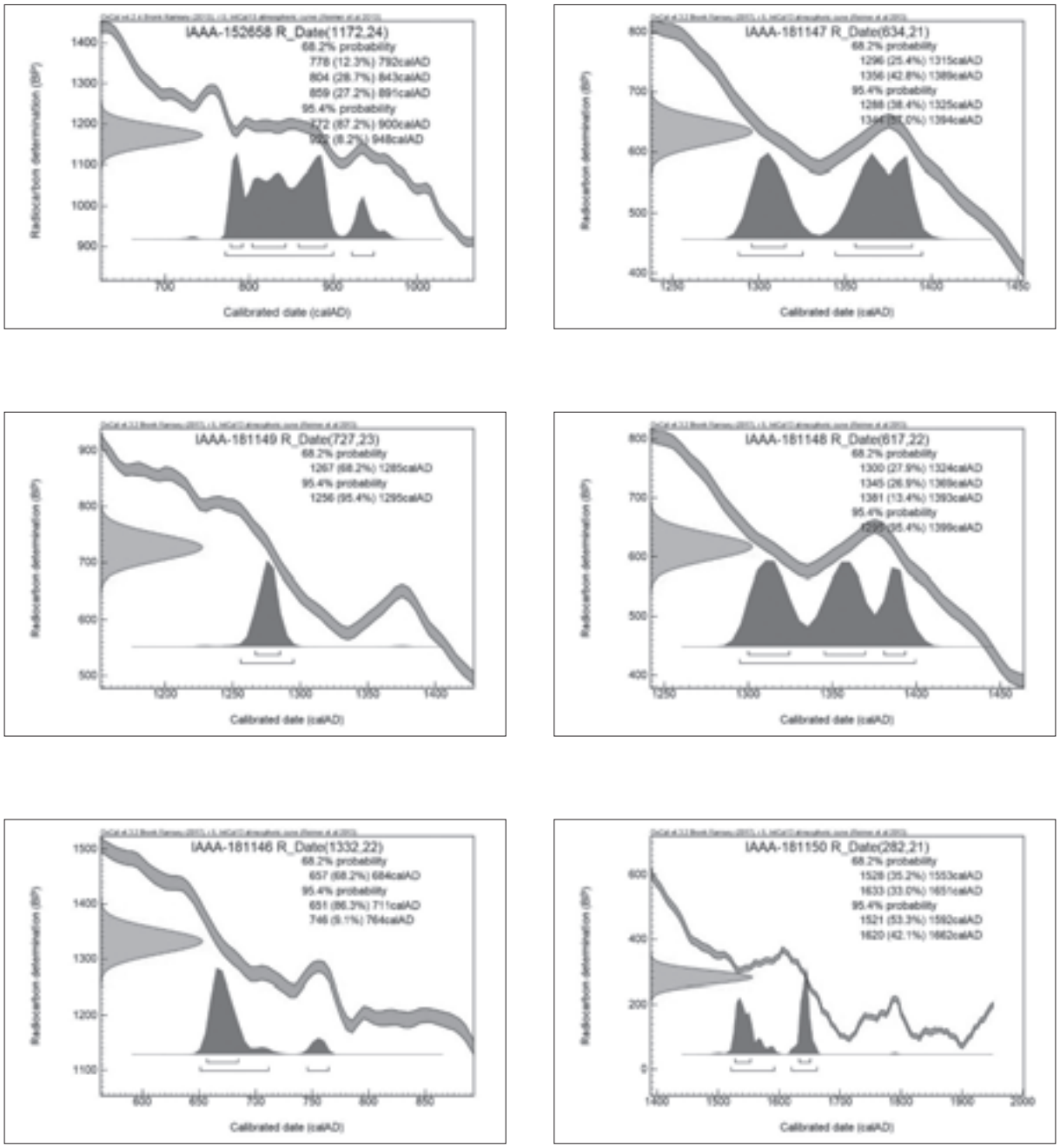

図１　暦年較正年代グラフ（参考）